

**SISTEM INFORMASI GANGGUAN *OVERTCURRENT* DAN  
*GROUND FAULT* PADA JARINGAN DISTRIBUSI LISTRIK  
VIA SMS**

**SKRIPSI**

**KONSENTRASI TEKNIK ELEKTRONIKA**

**Diajukan Untuk Memenuhi Persyaratan**

**Memperoleh Gelar Sarjana Teknik**



**Disusun oleh :**

**DIMAS ADWINNANTYA**

**NIM. 0910632002-63**

**KEMENTERIAN PENDIDIKAN DAN KEBUDAYAAN**

**UNIVERSITAS BRAWIJAYA**

**FAKULTAS TEKNIK**

**MALANG**

**2012**

LEMBAR PERSETUJUAN

SISTEM INFORMASI GANGGUAN *OVERTCURRENT* DAN  
*GROUND FAULT* PADA JARINGAN DISTRIBUSI LISTRIK  
VIA SMS

SKRIPSI

KONSENTRASI TEKNIK ELEKTRONIKA

Diajukan Untuk Memenuhi Persyaratan

Memperoleh Gelar Sarjana Teknik



Disusun oleh :

DIMAS ADWINNANTYA

NIM. 0910632002-63

Telah diperiksa dan disetujui oleh:

Pembimbing I

Pembimbing II

Moch.Dhofir Ir., Drs., MT

19600701 199002 1 001

Mochammad Rif'an, ST.,MT

NIP : 19710301 200012 1 001

## LEMBAR PENGESAHAN

### SISTEM INFORMASI GANGGUAN *OVERCURRENT* DAN *GROUND FAULT* PADA JARINGAN DISTRIBUSI LISTRIK VIA SMS

#### SKRIPSI

#### KONSENTRASI TEKNIK ELEKTRONIKA

*Diajukan Untuk Memenuhi Persyaratan*

*Memperoleh Gelar Sarjana Teknik*

**Disusun oleh :**

**DIMAS ADWINNANTYA**

**NIM. 0910632002-63**

Skripsi ini telah diuji dan dinyatakan lulus pada

Tanggal 31 Juli 2012

**Dosen Penguji**

**Ir. Nurussa'adah, MT.**

**NIP. 19680706 199203 2 001**

**Ir. Ponco Siwindarto, M.Eng.Sc.**

**NIP. 19590304 198903 1 001**

**Ir. M. Julius St., MS.**  
**NIP. 19540720 198203 1 002**

Mengetahui,  
Ketua Jurusan Teknik Elektro

**Sholeh Hadi Pramono,Dr., Ir.,MS.**  
**NIP. 19580728 198701 1 001**

## ABSTRAK

**Dimas Adwinnantya, 2012 (0910632002).** Skripsi, Jurusan Teknik Elektro, Fakultas Teknik, Universitas Brawijaya. *Sistem Informasi Gangguan Overcurrent Dan Ground Fault Pada Jaringan Distribusi Listrik Via SMS.*

Dosen Pembimbing : Moch.Dhofir Ir., Drs., MT dan Moch. Rif'an, ST.,MT.

Skripsi ini menguraikan hasil penelitian tentang sistem informasi gangguan *overcurrent* dan *ground fault* pada jaringan distribusi listrik via SMS. Jaringan distribusi listrik PLN dengan sistem radial rawan terjadi gangguan *overcurrent* dan *ground fault*. Prosedur pengiriman informasi yang panjang menjadikan penanganan gangguan berjalan lama. Dalam penelitian ini dirancang dan dibuat suatu alat yang dapat mengirimkan informasi gangguan dengan cepat berdasarkan kerja rele pengaman yang ada di Gardu Induk kepada petugas yang berwenang melalui SMS. Dengan pangiriman informasi yang cepat, gangguan lebih cepat ditangani sehingga meningkatkan keandalan jaringan distribusi listrik.

Studi literatur dilakukan untuk mendapatkan berbagai teori dan data pendukung dalam perancangan alat. Dengan data dan teori yang didapatkan dapat ditentukan spesifikasi alat yang mempermudah perancangan alat. Perancangan dan pembuatan diawali dengan pembuatan simulator rele *overcurrent* dan *ground fault*, kemudian pengolah data keluaran dari rele simulator dan pengontrol modem sebagai media komunikasi jarak jauh. Tiap blok alat ini diuji untuk mengetahui kinerja perancangan. Kemudian dilakukan pengujian alat secara keseluruhan untuk memastikan sistem dapat mengirimkan informasi gangguan dengan baik.

Hasil penelitian ini berupa alat yang dapat menentukan jenis gangguan *overcurrent* atau *ground fault* dan mengirimkam informasi ini melalui SMS ke dua nomor *hanpdhone*. Mikrokontroler AT89S8252 digunakan sebagai pengolah data gangguan dari rele simulator dan pengontrol modem sebagai media pengirim SMS. Komunikasi serial antara mikrokontroler dan modem menggunakan *baudrate* 9600bps. Respon waktu total dari sistem informasi gangguan *overcurrent* dan *ground fault* adalah jumlah dari waktu tunda perangkat simulator ketika terjadi gangguan dijumlah dengan waktu yang dibutuhkan untuk mengirim informasi kepada petugas yang berwenang. Waktu tunda rata-rata ketika terjadi gangguan *overcurrent* dengan arus uji rele 3,75 ampere dan arus setting 3,5 ampere adalah 158,33 sekon dan arus uji rele 4,75 ampere dan arus setting 4 ampere adalah 67,33 sekon. Waktu tunda rata-rata ketika terjadi gangguan *ground fault* dengan arus uji rele 2 ampere dan arus setting 1,75 ampere adalah 134,33 sekon dan arus uji rele 4 ampere dan arus setting 2,5 ampere adalah 27,33 sekon. Waktu rata-rata untuk pengiriman informasi adalah 14,33 sekon

**Kata kunci :** *Overcurrent, Ground Fault, Mikrokontroler AT89S8252, Modem*



## PENGANTAR

Puji syukur kehadirat Allah SWT atas rahmat, hidayah, ridho, nikmat, dan karunia-Nya serta kekuatan-Nya sehingga skripsi yang berjudul “*Sistem Informasi Gangguan Overcurrent Danground Fault Pada Jaringan Distribusi Listrik Via Sms*” dapat diselesaikan dengan lancar.

Penyusunan skripsi ini diajukan untuk memenuhi sebagian persyaratan memperoleh gelar Sarjana Teknik di jurusan Teknik Elektro Fakultas Teknik Universitas Brawijaya. Selama penyelesaian skripsi ini didukung oleh berbagai pihak, untuk itu ucapan terima kasih disampaikan kepada:

- 1) Bapak Dr., Ir., Sholeh Hadi Pramono, MS. selaku Ketua Jurusan Teknik Elektro,
- 2) Bapak M. Aziz Muslim, ST., MT., Ph.D. selaku Sekretaris Jurusan Teknik Elektro,
- 3) Bapak Ir. Moch. Julius St., MT. selaku Ketua Kelompok Dosen Keahlian Program Studi Paket B (Teknik Elektronika) Jurusan Teknik Elektro,
- 4) Bapak Moch.Dhofir Ir., Drs. MT. sebagai pembimbing I yang telah banyak memberikan pengarahan dan bantuan dalam menyelesaikan skripsi ini,
- 5) Bapak Moch. Rif'an, ST., MT. sebagai pembimbing II yang telah banyak memberikan masukan dan bantuan dalam menyelesaikan skripsi ini,
- 6) Orang tuaku tercinta, terima kasih atas doa, kasih sayang, perhatian, serta dukungan yang tak ternilai yang telah diberikan,
- 7) Semua pihak yang tidak dapat penulis sebutkan satu per satu.

Dalam penyusunan skripsi ini disadari masih ada ketidaksempurnaan, sehingga diharapkan kritik dan saran dari pembaca untuk dapat memperbaiki segala kekurangan di dalam skripsi ini. Akhirnya, semoga skripsi ini dapat memberikan manfaat dan berguna bagi pembaca.

Malang, 31 Agustus 2012

Penulis



**DAFTAR ISI**

Halaman

<b>HALAMAN JUDUL</b> .....	i
<b>LEMBAR PERSETUJUAN</b> .....	ii
<b>LEMBAR PENGESAHAN</b> .....	iii
<b>ABSTRAK</b> .....	iv
<b>PENGANTAR</b> .....	v
<b>DAFTAR ISI</b> .....	vi
<b>DAFTAR TABEL</b> .....	x
<b>DAFTAR GAMBAR</b> .....	xi

**BAB I PENDAHULUAN**

1.1. Latar Belakang .....	1
1.2 Perumusan Masalah .....	2
1.3 Batasan Masalah.....	3
1.4 Tujuan .....	3
1.5 Sistematika Penulisan .....	4

**BAB II TINJAUAN PUSTAKA**

2.1.Jaringan Distribusi Listrik.....	5
2.2. <i>Thermal Overcurrent Relay</i> .....	9
2.3.Kontaktor.....	11
2.4.Mikrokontroler AT89S8252.....	13
2.4.1. Arsitektur MCU AT89S8252 .....	13
2.4.2. Susunan Pin-pin AT89S8252 .....	14



2.4.3. Pekwatu AT89S8252 .....	16
2.4.4. Rangkaian Reset AT89S8252.....	17
2.5.LCD ( <i>Liquid Crystal Display</i> ).....	19
2.6.Keypad .....	21
2.7.Komunikasi Serial.....	22
2.8.Modem WAVECOM.....	24
2.9.2.8.1 <i>AT-Command</i> .....	25

### BAB III METODE PENELITIAN

3.1 Studi Literatur .....	27
3.2 Penentuan Spesifikasi Alat.....	28
3.3 Perencanaan Alat.....	28
3.4 Pembuatan Alat .....	29
3.5 Pengujian Alat.....	30
3.5.1 Pengujian Simulator <i>Overcurrent Relay</i> .....	30
3.5.1.1 Tujuan Pengujian .....	30
3.5.1.2 Prosedur Pengujian.....	30
3.5.1.3 Peralatan Pengujian .....	32
3.5.2 Pengujian Simulator <i>Ground Fault Relay</i> .....	32
3.5.2.1 Tujuan Pengujian .....	32
3.5.2.2 Prosedur Pengujian.....	33
3.5.2..3 Peralatan Pengujian .....	34
3.5.3 Pengujian <i>Keypad</i> .....	34



3.5.3.1 Tujuan Pengujian .....	34
3.5.3.2 Prosedur Pengujian.....	35
3.5.3.3 Peralatan Pengujian .....	35
3.5.4 AntarmukaModul LCD .....	36
3.5.4.1 Tujuan Pengujian .....	36
3.5.4.2 Prosedur Pengujian.....	36
3.5.4.3 Peralatan Pengujian .....	36
3.5.5 Pengujian Modem.....	36
3.5.5.1 Tujuan Pengujian .....	36
3.5.5.2 Prosedur Pengujian.....	36
3.5.5.3 Peralatan Pengujian .....	37
3.5.6 Pengujian Sistem Secara Keseluruhan .....	37
3.5.6.1 Tujuan Pengujian .....	37
3.5.6.2 Prosedur Pengujian.....	37
3.5.6.3 Peralatan Pengujian .....	38

#### BAB IV PERENCANAAN DAN PEMBUATAN

4.1 Spesifikasi Alat .....	39
4.2 Perencanaan Sistem.....	40
4.3 Prinsip Kerja Sistem .....	41
4.4 Perancangan Perangkat Keras .....	42
4.4.1 Perancangan Simulator <i>Overcurrent Relay</i> .....	42
4.4.2 Perancangan Simulator <i>Ground Fault Relay</i> .....	44



4.4.3 Mikrokontroler AT89S8252.....	46
4.4.3.1. Perancangan Rangkaian Osilator.....	48
4.4.3.2. Perancangan Rangkaian Reset.....	49
4.4.4 Perancangan Antarmuka Keypad.....	50
4.4.5 Perancangan Antarmuka Modul LCD.....	52
4.4.6 Perancangan Antarmuka Modem.....	53
4.5 Perancangan Perangkat Lunak ( <i>Software</i> ).....	54

## BAB V PENGUJIAN DAN PEMBAHASAN

5.1 Hasil Pengujian Simulator <i>Overcurrent Relay</i> .....	56
5.2 Hasil Pengujian Simulator <i>Ground Fault Relay</i> .....	57
5.3 Hasil Pengujian Antarmuka Keypad.....	59
5.4 Hasil Pengujian Modul LCD.....	61
5.5 Hasil Pengujian Antarmuka Modem.....	62
5.6 Hasil Pengujian Sistem Keseluruhan.....	64

## BAB VI PENUTUP

6.1 Kesimpulan .....	66
6.2 Saran.....	67

## DAFTAR PUSTAKA

## LAMPIRAN



**DAFTAR TABEL**

Tabel 2.1	Konfigurasi Pin LCD .....	20
Tabel 2.2	Konfigurasi Pin DB 15 WAVECOM M1306B .....	25
Tabel 2.3	<i>AT-Command</i> WAVECOM M1306B.....	26
Tabel 4.1	Keterangan Output Pin Keypad .....	51
Tabel 5.1	Hasil Uji Simulator <i>Overcurrent Relay</i> .....	56
Tabel 5.2	Hasil Pengujian Simulator <i>Ground Fault Relay</i> .....	58
Tabel 5.3	Data Hasil Pengujian Kombinasi Keluaran Logika Keypad .....	60
Tabel 5.4	Pengujian Respon Modem WAVECOM Terhadap Instruksi <i>AT- Command</i> dengan Beberapa Nilai <i>Baudrate</i> Berbeda.....	62
Tabel 5.5	Hasil Pengujian Rata-Rata Kecepatan Pengiriman SMS (Provider Kartu INDOSAT).....	64



**DAFTAR GAMBAR**

Gambar 2.1	Diagram Blok Sistem Tenaga Listrik dan Wewenang Kerja .....	6
Gambar 2.2	Diagram Blok Proses Distribusi Sistem Radial .....	7
Gambar 2.3	Gambar Skema Pemasangan Rele OCR Pada Gardu Induk.....	8
Gambar 2.4	Gambar <i>Single Line</i> Saluran Penyulang Pada Gardu Induk Sengkaling.....	9
Gambar 2.5	Gambar 2.5 Gambar Pelengkungan Bimeta.....	10
Gambar 2.6	Gambar <i>Thermal Overcurrent Relay</i> .....	11
Gambar 2.7	Diagram Konstruksi Kontaktor Magnet.....	12
Gambar 2.8	Gambar Kontaktor Mitsubishi SN-10 .....	12
Gambar 2.9	Diagram Blok Arsitektur AT89S8252 .....	14
Gambar 2.10	Susunan Pin AT89S8252.....	15
Gambar 2.11	Gambar Skema Osilator AT89S8252.....	17
Gambar 2.12	Rangkaian <i>Power ON Reset</i> .....	18
Gambar 2.13	Gambar LCD Tipe LMB162A.....	21
Gambar 2.14	Keypad 3X4 .....	21
Gambar 2.15	IC MAX232 .....	22
Gambar 2.16	Start Bit,Stop Bit Dalam Komunikasi Serial .....	23
Gambar 2.17	WAVECOM M1306B.....	24
Gambar 3.1	<i>Flowchart</i> Pengumpulan Data Literatur.....	27
Gambar 3.2	<i>Flowchart</i> Penentuan Spesifikasi Alat .....	28
Gambar 3.3	Diagram Alir Perencanaan Alat.....	29
Gambar 3.4	<i>Flowchart</i> Pembuatan Alat.....	30
Gambar 3.5	Rangkaian Pengujian Simulator <i>Overcurrent Relay</i> .....	32
Gambar 3.6	Rangkaian Pengujian Simulator <i>Ground Fault Relay</i> .....	34
Gambar 3.7	Rangkaian Pengujian Kombinasi Output Keypad .....	35



Gambar 3.8 Diagram Blok Pengujian Antarmuka Keypad .....	35
Gambar 4.1 Diagram Blok Sistem Keseluruhan.....	40
Gambar 4.2 Rangkaian Simulator <i>Overcurrent</i> .....	43
Gambar 4.3 Rangkaian Ekivalen Simulator <i>Overcurrent</i> .....	43
Gambar 4.4 Rangkaian Simulator <i>Ground Fault</i> .....	45
Gambar 4.5 Rangkaian Ekivalen Simulator <i>Ground Fault</i> .....	45
Gambar 4.6 Rangkaian Mikrokontroler AT89S8252.....	48
Gambar 4.7 Rangkaian Osilator AT89S8252.....	49
Gambar 4.8 Gambar Rangkaian <i>Reset</i> AT89S8252.....	49
Gambar 4.9 Urutan Pin Pada Keypad 3x4 Untuk Data Tabel 4.1 .....	51
Gambar 4.10 Rangkaian Antarmuka <i>Keypad</i> .....	52
Gambar 4.11 Atarmuka Modul LCD LMB162A .....	53
Gambar 4.12 Antarmuka Mikrokontroler AT89S8252 dengan MODEM menggunakan RS232(IC MAX232) .....	53
Gambar 4.11 Diagram Alir Program.....	55
Gambar 5.1 Grafik Hasil Uji Simulator <i>Overcurrent Relay</i> .....	57
Gambar 5.2 Grafik Pengujian Simulator <i>Ground Fault Relay</i> .....	59
Gambar 5.4 Foto Hasil Pengujian <i>Keypad</i> .....	61



Gambar 5.5 Foto Hasil Pengujian *Antarmuka LCD* ..... 61

Gambar 5.6 Foto Hasil Pengujian *Antarmuka Modem Wavecom* ..... 63

Gambar 5.7 Pengiriman SMS Informasi Trip OCR-GFR ..... 64



## BAB I

### PENDAHULUAN

#### 1.1 Latar Belakang

Dewasa ini pemakaian peralatan elektronik meningkat pesat, sehingga perlu didukung dengan pasokan energi listrik yang memadai. Di Indonesia kegiatan pembangkitan, penyaluran dan distribusi listrik dikelola oleh Perusahaan Listrik Negara (PT. PLN). Dalam kegiatan pendistribusian energi listrik PT. PLN dituntut untuk dapat menjaga serta senantiasa meningkatkan keandalan sistem distribusi listrik. Namun dalam proses penyaluran energi ke pelanggan ada beberapa gangguan yang seringkali terjadi, khususnya pada saluran distribusi, sehingga kontinuitas penyaluran tenaga listrik akan terputus akibat adanya pemadaman aliran listrik. Penanganan gangguan akan lama apabila informasi gangguan tidak disampaikan secara cepat.

Salah satu gangguan yang terjadi pada jaringan distribusi saluran udara (*Overhead Lines*) di wilayah PT.PLN APJ Malang UPJ Batu adalah gangguan akibat arus lebih atau gangguan hubung singkat 1 fasa ke tanah yang dapat disebabkan pohon tumbang, isolator aus, layang-layang ataupun hal lainnya. Ketika terjadi gangguan maka rele-rele pengaman yang ada di Gardu Induk akan bekerja membuka pemutus tenaga yang menyebabkan padamnya listrik pada penyulang. Pihak Gardu Induk akan menginformasikan terjadinya gangguan ini kepada Unit Pengatur Daya (UPD), dari pihak UPD akan menginformasikan kepada Area Pelayanan dan Jaringan (APJ) dan pihak APJ memerintahkan Unit Pelayanan dan Jaringan (UPJ) untuk segera mengatasi gangguan yang terjadi. Dari uraian di atas, dapat kita ketahui bahwa prosedur untuk mengatasi gangguan yang terjadi pada satu saluran penyulang distribusi cukup panjang. Rantai komando yang panjang ini menjadi salah satu penyebab penanganan berjalan lama, sehingga konsumen akan dirugikan.

Saat ini PT. PLN mentargetkan untuk dapat mencapai standart internasional pemadaman listrik, yaitu pemadaman maksimal dalam satu tahun



tidak lebih dari sembilan kali dengan masing-masing pemadaman listrik berdurasi maksimal dua jam. Indikator pencapaian target ini dapat diukur melalui *System Average Interruption Duration Index* (SAIDI) dan *System Average Interruption Frequency Index* (SAIFI). SAIDI adalah index lama pemutusan/pemadaman rata-rata yang dialami konsumen dari seluruh jumlah pelanggan dalam satu kurun waktu tertentu. SAIFI adalah indeks frekuensi pemadaman rata-rata yang dialami konsumen dari jumlah keseluruhan konsumen dalam kurun waktu tertentu. Jika angka kedua indeks ini semakin kecil, maka keandalan sistem tersebut semakin bagus.

Berdasarkan latar belakang di atas, maka dalam skripsi ini penulis merancang desain dan simulasi sistem informasi gangguan distribusi listrik akibat *overcurrent* atau *ground fault* dengan media modem menggunakan fasilitas SMS (*Short Message Service*). Dengan adanya alat ini petugas lapang ataupun pejabat yang berwenang segera mengetahui adanya gangguan dan dapat melakukan tindakan yang diperlukan secepatnya, sehingga dapat menekan angka SAIFI dan SAIDI. Pengiriman informasi ini bersifat penunjang dari prosedur yang sudah ada, sehingga tindakan prosedural yang telah ditetapkan tetap berjalan sebagaimana mestinya.

## 1.2 Perumusan Masalah

Mengacu pada permasalahan yang diuraikan pada latar belakang, maka rumusan masalah dapat ditentukan pada:

- 1) Bagaimana simulator sistem proteksi gangguan arus lebih (*overcurrent*) dan atau gangguan tanah (*ground fault*) yang menghasilkan sinyal keluaran yang dapat dimanfaatkan sebagai input dari perangkat komunikasi jarak jauh
- 2) Bagaimana rancangan sistem komunikasi jarak jauh yang dapat mengirimkan informasi gangguan kepada pihak yang berwenang (petugas PLN)
- 3) Bagaimana respon waktu dari peralatan simulator gangguan *overcurrent* dan *ground fault* ketika terjadi gangguan

### 1.3 Batasan Masalah

Untuk mengarahkan pembahasan agar sesuai dengan tujuannya, maka ditentukan ruang lingkup pembahasan sebagai berikut:

- 1) Menitikberatkan pada pengiriman informasi adanya gangguan *overcurrent* dan *ground fault* pada distribusi listrik dengan memanfaatkan keluaran logika rele pengaman pada gardu induk.
- 2) Mikrokontroller sebagai pengolah data keluaran dari indikator arus lebih (*Overcurrent Relay*) dan gangguan satu fasa ke tanah (*Ground Fault Relay*) pada gardu induk.
- 3) Keypad digunakan sebagai media *entry password*, nomor telepon seluler tujuan pengiriman SMS .
- 4) LCD digunakan sebagai media tampilan nomor seluler tujuan .
- 5) Modem sebagai media pengirim informasi berupa SMS.
- 6) Tidak membahas tentang sistem internal dari modem.
- 7) Tidak membahas rangkaian *power supply* dan sistem proteksi jaringan distribusi listrik.
- 8) Pengiriman SMS menggunakan kartu provider yang ada di Indonesia (Telkomsel,Indosat,XL).

### 1.4. Tujuan

Tujuan penyusunan skripsi ini adalah merancang alat yang mensimulasikan pengiriman informasi gangguan *overcurrent* atau *ground fault* pada jaringan distribusi PLN yang disebabkan arus lebih ataupun gangguan satu fasa ke tanah dengan media modem menggunakan fasilitas SMS (*Short Message Service*) dengan memanfaatkan data keluaran logika rele pengaman pada gardu induk PLN yang disusun dalam bentuk simulator.



## 1.5 Sistematika Penulisan

Sistematika penulisan yang digunakan dalam penyusunan laporan tugas akhir ini adalah sebagai berikut:

### BAB I PENDAHULUAN

Berisi tentang uraian latar belakang, tujuan, batasan masalah, rumusan masalah, manfaat serta sistematika penulisan.

### BAB II TINJAUAN PUSTAKA

Membahas teori yang berisi penjelasan tentang jaringan distribusi listrik, rele *thermal*, kontaktor, mikrokontroler, LCD dan keypad.

### BAB III METODE PENELITIAN

Membahas tentang metode yang digunakan dalam penyusunan skripsi ini

### BAB IV PERANCANGAN RANGKAIAN

Berisi perancangan dan perealisasian sistem yang meliputi spesifikasi, perencanaan blok diagram, prinsip kerja, perencanaan *hardware* dan *software* dan simulasi sistem.

### BAB V PENGUJIAN DAN ANALISIS

Membahas tentang proses pengujian dan analisis data yang diperoleh dari sistem yang telah dibuat.

### BAB VI KESIMPULAN DAN SARAN

Memuat kesimpulan dan saran-saran untuk pengembangan lebih lanjut dari sistem yang telah dibuat



## BAB II

### TINJAUAN PUSTAKA

Dalam bab ini diuraikan beberapa teori pendukung yang bermanfaat untuk merancang dan merealisasikan Sistem Informasi Gangguan Distribusi Listrik Via SMS. Teori-teori penunjang yang dijelaskan dalam bab ini meliputi Jaringan Distribusi Listrik, Rele *Thermal*, Kontaktor, Mikrokontroller AT89S8252, LCD (*Liquid Crystal Display*), Keypad dan Modem.

#### 2.1 Jaringan Distribusi Listrik

Sistem distribusi merupakan cara atau kegiatan yang meliputi pengaturan, pembagian, pemindahan dan penyaluran energi listrik kepada konsumen. Sistem Distribusi dibagi menjadi tiga bagian utama, yaitu:

##### a) Gardu Induk Distribusi

Gardu induk distribusi merupakan gardu yang bertugas membagi energi listrik dalam beberapa penyulang (*feeder*) dari 150 kV / 70 kV menjadi 20 kV, serta terdapat rele-rele pengaman. Fungsi rele-rele pengaman adalah menentukan dengan segera pemutusan / penutupan pelayanan penyaluran setiap elemen sistem tenaga listrik bila mendapatkan gangguan atau kondisi kerja yang abnormal, yang dapat mengakibatkan kerusakan pada peralatan atau mempengaruhi sistem yang masih beroperasi normal serta mengetahui letak dan jenis gangguan, sehingga dari pengaman ini dapat dipakai untuk melokalisir gangguan serta pedoman perbaikan peralatan yang rusak. Beberapa jenis rele yang ada pada gardu induk distribusi antara lain:

- OCR (*Over Current Relay*)

Rele arus lebih bekerja membuka atau menutup kontaknya jika arus yang melewati rele melebihi nilai yang ditentukan. Rele ini berfungsi

melindungi jaringan distribusi jika terjadi gangguan arus lebih pada penyulang.

- **GFR (Ground Fault Relay).**

Rеле *ground fault* bekerja membuka atau menutup kontaknya ketika konduktor pada jaringan distribusi mengalami kontak dengan tanah (gangguan tanah).

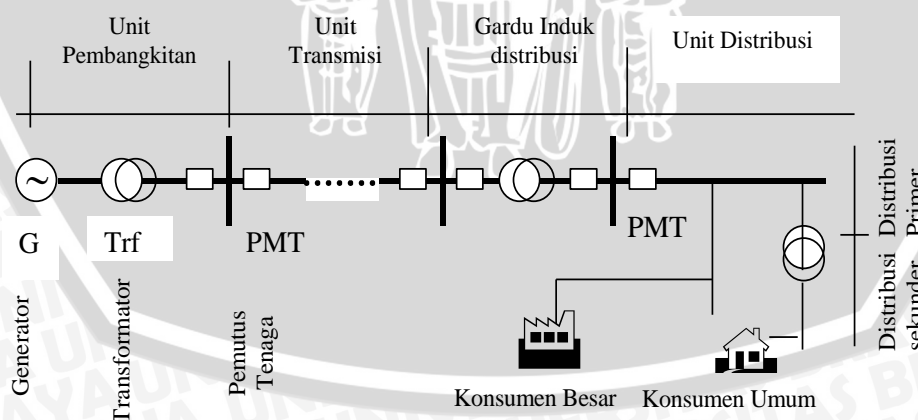
b) Distribusi Primer,

Distribusi primer adalah pendistribusian dari keluaran (*outgoing*) penyulang. Tenaga listrik disalurkan melalui distribusi primer dengan tegangan sebesar 20 kV menuju ke pusat-pusat beban melalui SUTM (Saluran Udara Tegangan Menengah) dan SKTM (Saluran Kabel Tegangan Menengah)

c) Distribusi Sekunder,

Terdiri dari dua jenis, yaitu Saluran Udara Tegangan Rendah (SUTR) dan Saluran Kabel Tegangan Rendah (SKTR). Tegangan yang berada pada saluran ini diturunkan dari distribusi primer melalui transformator distribusi menjadi 380/220V.

Diagram blok proses pembangkitan tenaga listrik sampai pendistribusian ditunjukkan dalam Gambar 2.1:

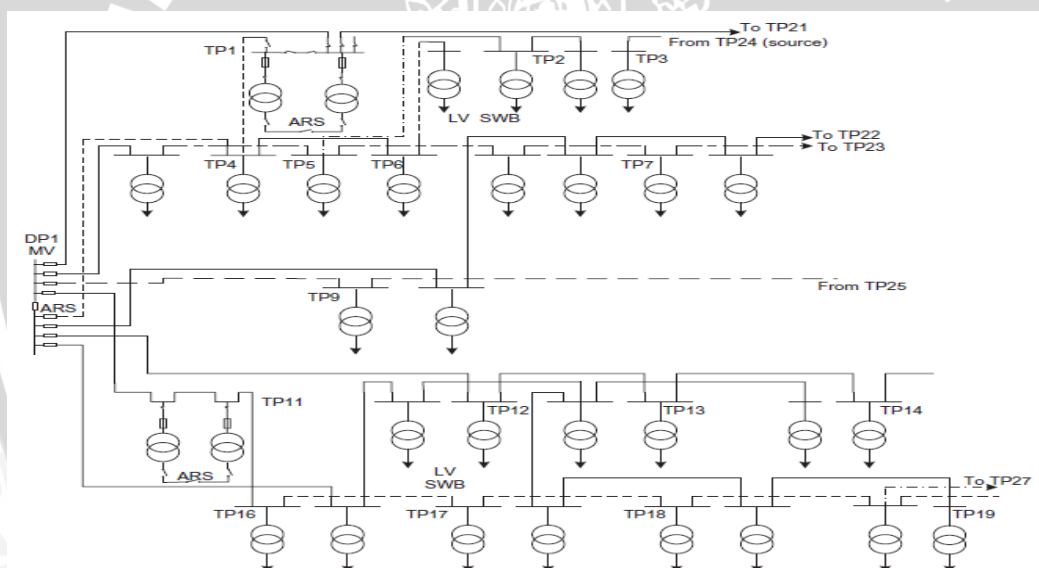


Gambar 2.1 Diagram Blok Sistem Tenaga Listrik dan Wewenang Kerja

Sumber: PT. PLN (Persero) APJ Malang UPJ Batu Distribusi Jawa Timur

Dalam proses pendistribusian energi listrik ke konsumen PT. PLN APJ Malang UPJ Batu menggunakan sistem radial,yaitu dari gardu induk distribusi dibagi menjadi beberapa penyulang. Dari penyulang ini tegangan akan diturunkan di trafo tiang, kemudian didistribusikan kepada konsumen. Diagram blok proses distribusi sistem radial ditunjukkan dalam Gambar 2.2.

Dalam proses pendistribusian energi listrik, sering kali terjadi gangguan yang dapat menyebabkan terjadinya pemadaman listrik. Pemicu gangguan ini dapat terjadi karena petir, isolator rusak, pohon tumbang, layang-layang dan sebagainya. Untuk jaringan distribusi 20 kV gangguan yang sering terjadi adalah *overcurrent* dan *groundfault*. Ketika terjadi gangguan ini maka rele-rele proteksi pada gardu induk akan bekerja sehingga PMT (*Pemutus Tenaga*) penyulang terbuka. Skema rele pengaman dalam Gardu Induk ditunjukkan dalam Gambar 2.3



Gambar 2.2 Diagram Blok Proses Distribusi Sistem Radial

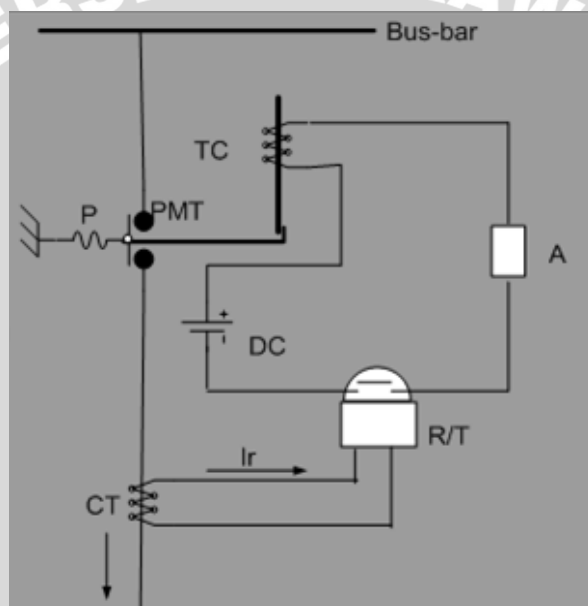
Keterangan:

DP	DistributionPoint	TP	Transformer Point
ARS	Automatic Reserve Switching	SWB	Switchboard

Sumber : Electric Distribution Systems, Abdelhay A. Salam, O.P. Malik

Gambar 2.3 merupakan skema pemasangan rele OCR pada gardu induk, ketika terjadi gangguan pada konduktor penyulang dan arus melebihi harga

operasi dari rele (*setting* rele) maka CT (Current Transformer) merasakan perubahan arus, sehingga menyebabkan rele bekerja, *Auxillary contact* pada rele akan tertutup sehingga *Tripping Coil* mendapat aliran arus dari sumber AC/DC, kemudian *Tripping Coil* bekerja membuka PMT (Pemutus Tenaga) sehingga penyulang mengalami pemadaman. Jika gangguan telah diperbaiki, rele dapat di-*reset* sehingga PMT tertutup kembali sehingga distribusi listrik normal kembali. Logika rele-rele proteksi dan kerja kontak bantu (*auxillary contact*) ini dapat dimanfaatkan sebagai tanda telah terjadi gangguan pada penyulang distribusi, sehingga jenis gangguan segera diketahui dan perbaikan serta lokalisir gangguan dapat dilakukan dengan cepat.



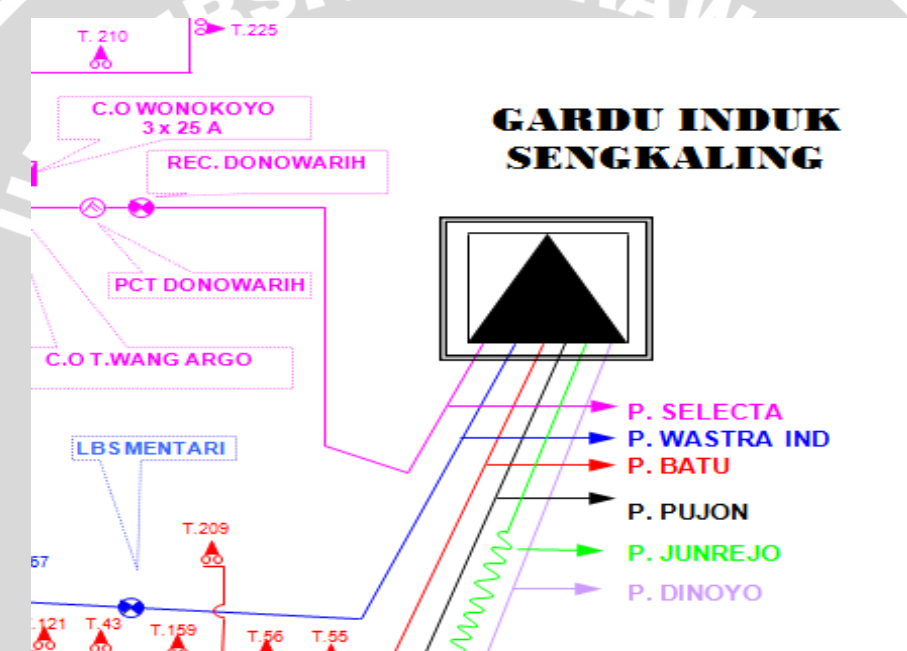
Gambar 2.3 Gambar Skema Pemasangan Rele OCR Pada Gardu Induk

Sumber: UPJ Batu PT. PLN (Persero) APJ Malang Distribusi Jawa Timur

Kegiatan distribusi listrik di PT.PLN APJ Malang UPJ Batu bertanggung jawab atas 5 penyulang dari Gardu Induk Sengkaling, yaitu :

1. Penyulang Pujon
2. Penyulang Wastra Indah
3. Penyulang Selecta
4. Penyulang Batu
5. Penyulang Junrejo

*Single line* saluran penyulang pada gardu induk sengkaling dapat dilihat dalam Gambar 2.4. Dengan memberikan alamat yang berbeda pada setiap penyulang, serta mengkombinasikannya dengan logika kerja keluaran rele proteksi, dapat dijadikan sebagai data acuan untuk menentukan jenis gangguan serta mengirimkan informasi ketika terjadi gangguan. Bila informasi adanya gangguan diterima pihak yang berwenang dengan cepat maka perbaikan dapat segera dilakukan. Hal ini dapat menekan lamanya durasi pemadaman akibat gangguan yang terjadi. Dengan semakin kecil angka durasi pemadaman maka keandalan suatu sistem distribusi lebih bagus.



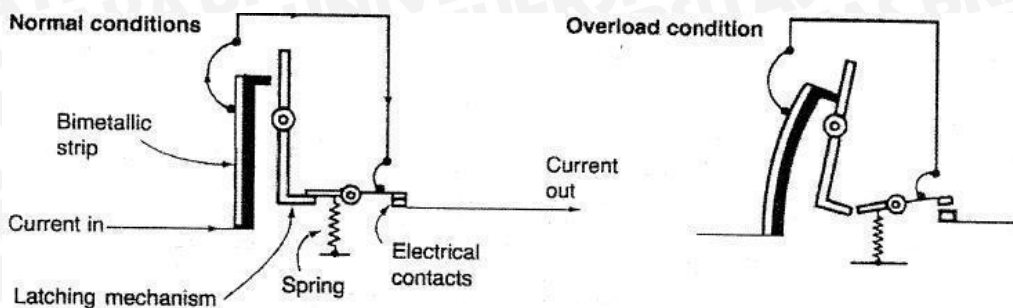
Gambar 2.4 Gambar *Single Line* Saluran Penyulang Pada Gardu Induk Sengkaling

Sumber: UPJ Batu PT. PLN (Persero) APJ Malang Distribusi Jawa Timur

## 2.2 Thermal Overcurrent Relay

Rele *thermal* adalah rele yang bekerja berdasarkan efek *thermal* dari arus listrik. Arus listrik mengalir melalui bimetal yang terdapat dalam rele ini, panas yang ditimbulkan oleh aliran arus listrik pada elemen-elemen bimetal menyebabkan pelengkungan bimetal yang menggerakkan kontak-kontak bantu

mekanis. Visualisasi pelengkungan bimetal pada rele *thermal* ditunjukkan dalam Gambar 2.5



Gambar 2.5 Gambar Pelengkungan Bimetall

Sumber: <http://www.electrical-forensics.com/BiMetal/Bimetal.html>

Batas arus kerja rele dapat diseting dengan mengatur arus batas pada rele *thermal*. Jika batas arus kerja rele diatur pada 2,5 ampere, maka rele akan bekerja ketika ada arus yang melewati rele dengan nominal diatas 5 ampere. Dengan menggunakan bimetal sebagai pembatas arus mengakibatkan rele tidak dapat bereaksi secara cepat untuk membuka kontaknya ketika terjadi kenaikan arus. Sehingga dalam pemakaian rele ini kita harus memperhatikan karakteristik bimetal rele yang menunjukkan kecepatan bimetal mengalami pelengkungan akibat pemanasan arus, karena hal ini akan mempengaruhi kecepatan rele untuk merespons perubahan arus dan membuka kontak bantu rele.

Pada rele ini dilengkapi dengan *auxillary contact* yaitu kontak bantu yang bekerja membuka atau menutup berdasarkan kerja rele. Ada dua macam kontak yang digunakan yaitu *normally open* (NO) dan *normally close* (NC). Bila nilai arus yang mengalir pada elemen bimetal berada di bawah nilai *setting*, kontak bantu NO terbuka sedangkan kontak bantu NC tertutup. Pada saat rele dilewati arus yang melebihi nilai *setting* maka bimetal akan mengalami pelengkungan akibat pemanasan arus sehingga setelah beberapa saat kontak bantu NC akan terbuka sedangkan kontak bantu NO akan tertutup. Beberapa contoh *Thermal Overcurrent Relay* ditunjukkan dalam Gambar 2.6



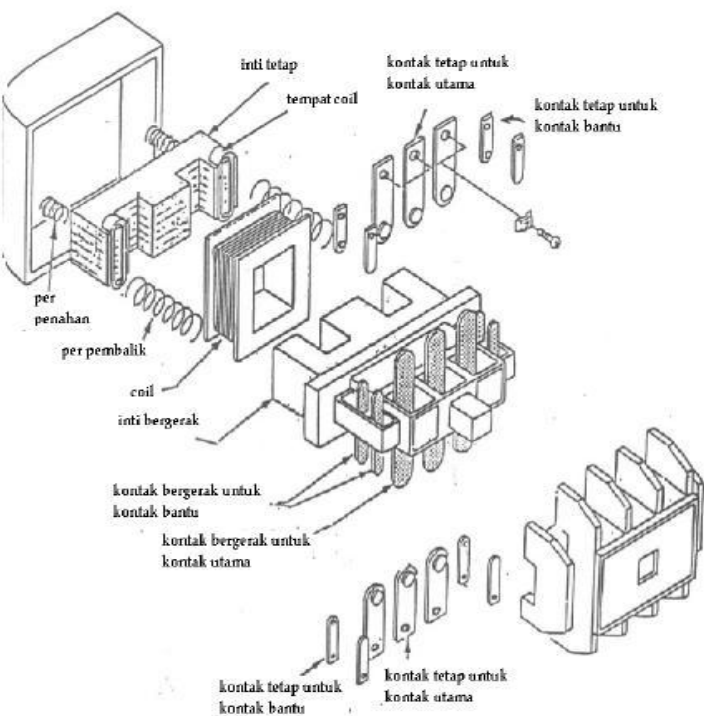
Gambar 2.6 Gambar Thermal Overcurrent Relay

Sumber: <http://indonetwork.co.id/SanctusCahayaTeknik/3050044/thermal-overload-relay.htm>

### 2.3 Kontaktor

Kontaktor magnetis adalah sakelar yang bekerja berdasarkan kemagnetan. “*The National Electrical Manufacture Association*” mendefinisikan kontaktor magnetis sebagai alat yang digerakkan secara magnetis untuk menyambung atau membuka berulang-ulang rangkaian daya listrik” (Frank D. Petruzzella, 1996:405).

Sebuah kontaktor terdiri dari lilitan (*coil*), beberapa kontak *Normally Open* (NO) dan *Normally Close* (NC). Pada saat satu kontaktor normal, NO akan membuka dan pada saat kontaktor bekerja, NO akan menutup. Sedangkan kontak NC sebaliknya yaitu ketika dalam keadaan normal kontak NC akan menutup dan dalam keadaan bekerja kontak NC akan membuka. *Coil* adalah lilitan yang ketika diberi tegangan akan terjadi magnetisasi dan menarik kontak-kontaknya sehingga terjadi perubahan atau bekerja.. Bila pada kontak A1 dan A2 kontaktor diberi tegangan, maka magnet akan menarik jangkar sehingga kontak-kontak bergerak yang berhubungan dengan jangkar tersebut ikut tertarik. Tegangan yang harus dipasangkan dapat tegangan bolak-balik (AC) maupun tegangan searah (DC), tergantung dari bagaimana magnet tersebut dirancang. Konstruksi kontaktor magnetis ditunjukkan dalam Gambar 2.7 dan contoh kontaktor tipe Mitsubishi SN-10 ditunjukkan dalam Gambar 2.8.



Gambar 2.7 Gambar Konstruksi Kontaktor Magnet

Sumber : <http://jonielektro.blogspot.com/2011/01/saklar-elektro-mekanik-kontaktor-magnet.html>



Gambar 2.8 Gambar Kontaktor Mitsubishi SN-10

Sumber : <http://electricalautomation.wordpress.com/2011/10/28/magnetic-contactor-sn-mitsubishi-electric>

## 2.4 Mikrokontroller AT89S8252

AT89S8252 merupakan salah satu mikrokontroler dari buatan ATMEL keluarga MCS-51 yang mempunyai 8K byte *downloadable flash programmable*, 2K byte EEPROM, 32 pin masukan keluaran dimana tiap pin tersebut dapat diprogram secara paralel dan tersendiri. IC ini kompatibel dengan standar industri 80C51 dalam hal pin keluaran dan instruksinya.

Fasilitas *downloadable memory* mengakibatkan memory program pada *system* dapat diprogram ulang, baik melalui interface serial atau dari memory programmer. Penggabungan CPU 8 bit dengan *downloadable flash* menjadi sebuah chip menjadikan atmel AT89S8252 ini menjadi sebuah mikrokomputer yang menyediakan fleksibelitas yang tinggi serta keefektifan dalam hal pengaplikasian.

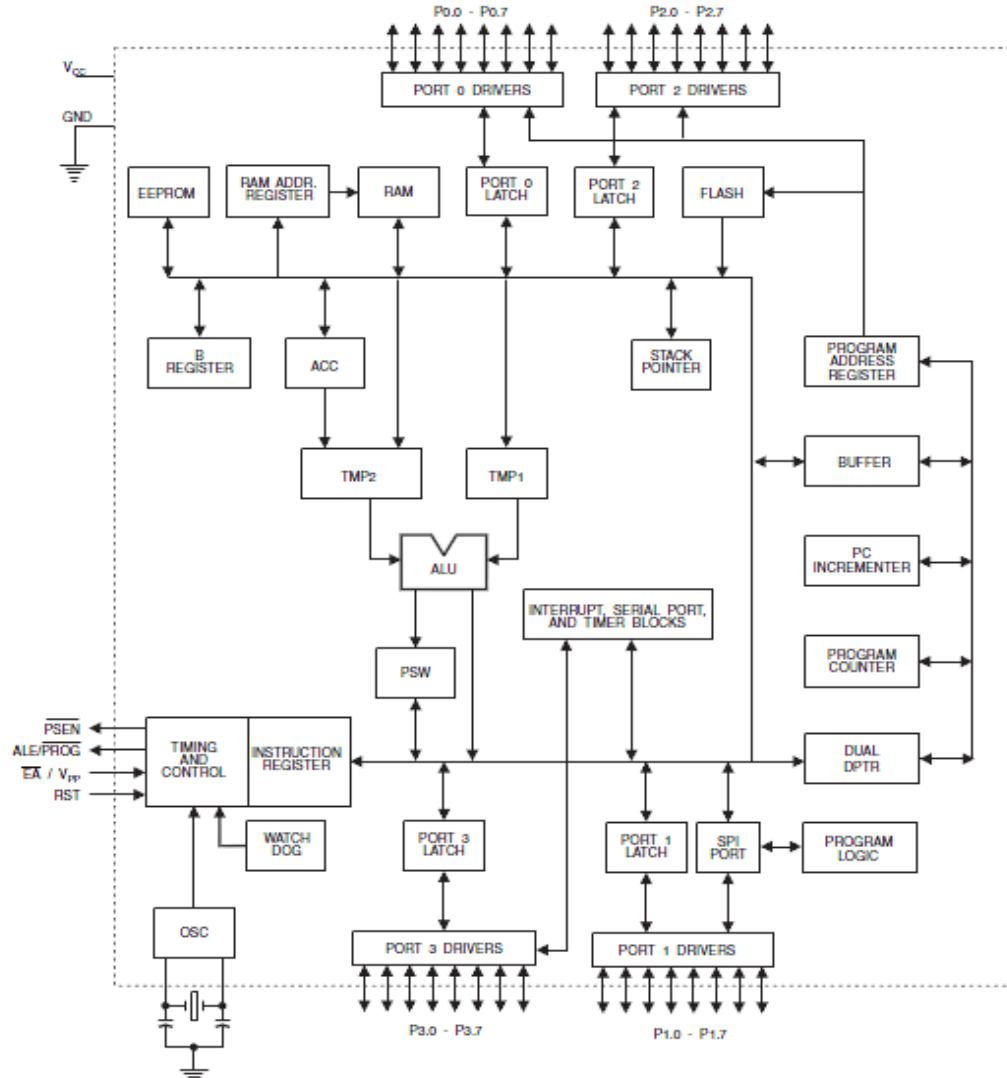
Mikrokontroler AT89S8252 sebagai suatu sistem kontrol bila dibandingkan dengan mikroprosesor memiliki kemampuan dan segi ekonomis yang bisa diandalkan karena dalam mikrokontroler sudah terdapat EEPROM dan RAM sedangkan di dalam mikroprosesor tidak terdapat keduanya. Secara umum konfigurasi yang dimiliki mikrokontroler AT89S8252 adalah sebagai berikut:

- 1) Merupakan keluarga MCS 51 menggunakan teknologi dari Atmel,
- 2) Memiliki memori baca-tulis (RAM) sebesar 256 byte,
- 3) EEPROM sebesar 2 kbyte,
- 4) Saluran I/O sebanyak 32 buah,
- 5) *Downloadable flash* sebesar 8 kbyte,
- 6) *Full duplex serial port*,
- 7) Osilator terletak di dalam IC,
- 8) Mampu beroperasi mencapai 24 MHz.

### 2.4.1 Arsitektur MCU AT89S8252

Mikrokontroller AT89S8252 terdiri dari sebuah *central prosessing unit* (CPU), dua jenis memori yaitu memori data (RAM) dan memori program (ROM), port masukan/keluaran dengan *programmable* pin secara *independent* dan register-register mode, status, internal *timer* dan *counter*, *serial communication*

serta logika *random* yang diperlukan oleh berbagai fungsi *peripheral*. Arsitektur MCU AT89S8252 ditunjukkan dalam Gambar 2.9.



Gambar 2.9 Diagram Blok Arsitektur AT89S8252

Sumber : ATMEL AT89S8252, 2003:3

#### 2.4.2 Susunan Pin-pin AT89S8252

Konfigurasi pin-pin MCU AT89S8252 digolongkan menjadi sumber tegangan, pin isolator, pin kontrol, pin I/O dan pin untuk interupsi luar. Konfigurasi pin AT89S8252 ditunjukkan dalam Gambar 2.10



(T2) P1.0	1	40	VCC
(T2 EX) P1.1	2	39	P0.0 (AD0)
P1.2	3	38	P0.1 (AD1)
P1.3	4	37	P0.2 (AD2)
(SS) P1.4	5	36	P0.3 (AD3)
(MOSI) P1.5	6	35	P0.4 (AD4)
(MISO) P1.6	7	34	P0.5 (AD5)
(SCK) P1.7	8	33	P0.6 (AD6)
RST	9	32	P0.7 (AD7)
(RXD) P3.0	10	31	E <sub>A</sub> /VPP
(TXD) P3.1	11	30	ALE/PROG
(INT0) P3.2	12	29	PSEN
(INT1) P3.3	13	28	P2.7 (A15)
(T0) P3.4	14	27	P2.6 (A14)
(T1) P3.5	15	26	P2.5 (A13)
(WR) P3.6	16	25	P2.4 (A12)
(RD) P3.7	17	24	P2.3 (A11)
XTAL2	18	23	P2.2 (A10)
XTAL1	19	22	P2.1 (A9)
GND	20	21	P2.0 (A8)

Gambar 2.10 Susunan Pin AT89S8252

Sumber : ATMELO AT89S8252,2003 : 2

Fungsi pin-pin MCU AT89S8252 adalah sebagai berikut:

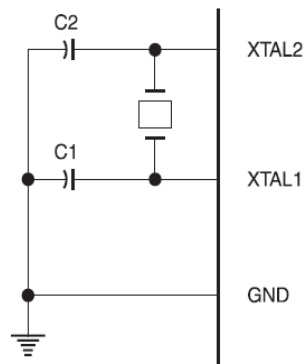
- 1) Port 1 (Pin 1-8), merupakan saluran masukan/keluaran dua arah.
- 2) Pin 9 RST, merupakan saluran dua masukan untuk me-reset mikrokontroler dengan cara memberi masukan logika tinggi.
- 3) Port 3 (Pin 10-17), merupakan saluran masukan/keluaran dua arah dan mempunyai fungsi khusus. Fungsi khusus meliputi TXD (*Transmit Data*), RXD (*Receive Data*),  $\overline{INT0}$  (*Interrupt 0*),  $\overline{INT1}$  (*Interrupt 1*), T0 (*Timer 0*), T1 (*Timer 1*),  $\overline{WR}$  (*Write*),  $\overline{RD}$  (*Read*).
- 4) Pin 18 dan 19 (XTAL<sub>1</sub> dan XTAL<sub>2</sub>), merupakan saluran untuk mengatur pewaktuan sistem. Untuk pewaktuan dapat dapat menggunakan pewaktuan internal maupun eksternal.
- 5) Pin 20 V<sub>SS</sub>, merupakan hubungan ke *ground* dari rangkaian.
- 6) Port 2 (Pin 21-28), merupakan saluran masukan/keluaran dua arah.

- 7) Pin 29 PSEN (*Program Store Enable*), merupakan sinyal baca untuk mengaktifkan memori program eksternal.
- 8) Pin 30 ALE / PROG (*Address Latch Enable*), merupakan pulsa yang berfungsi untuk menahan alamat rendah (A0-A7) dalam *port 0*, selama proses baca/tulis memori eksternal. Frekuensi ALE adalah  $\frac{1}{6}$  kali frekuensi osilator, dan dapat digunakan sebagai pewaktu. Pin ini juga berfungsi sebagai saluran program selama dilakukan pemrograman jika menggunakan memori program internal.
- 9) Pin 31 EA / VPP (*External Access Enable*), untuk mengatur penggunaan memori program eksternal dan internal. Pin ini harus dihubungkan dengan *ground* bila menggunakan memori program eksternal dan dihubungkan dengan VPP sebesar 12 volt jika menggunakan memori program eksternal.
- 10) *Port 0* (Pin 32-39), merupakan saluran masukan/keluaran *open drain*.
- 11) Pin 40 V<sub>CC</sub>, merupakan saluran masukan untuk catu daya positif sebesar 5 volt DC dengan toleransi lebih kurang 10%.

#### 2.4.3 Pewaktu AT89S8252

Mikrokontroler AT89S52 memiliki osilator internal (*on chip oscillator*) yang dapat digunakan sebagai sumber *clock* bagi MCU. Untuk menggunakan osilator internal diperlukan sebuah kristal antara pin XTAL 1 dan pin XTAL 2 serta dua buah kapasitor ke *ground*. Komponen kristal dapat digunakan frekuensi dari 0 sampai 24 MHz, sedangkan untuk kapasitor dapat bernilai  $30 \text{ pF} \pm 10 \text{ pF}$ . Rangkaian osilator eksternal ditunjukkan dalam Gambar 2.11



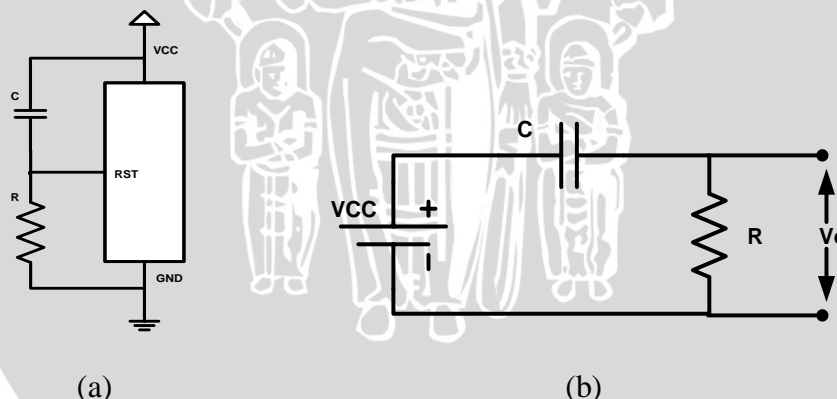


Gambar 2.11 Gambar Skema Osilator AT89S8252

Sumber : ATMEL AT89S8252,2003 : 21

#### 2.4.4 Rangkaian Reset AT89S8252

Rangkaian *power on reset* diperlukan untuk *mereset* mikrokontroler secara otomatis setiap catu daya dinyalakan atau dengan memberikan logika tinggi pada pin RST selama 2 siklus mesin. Ketika catu daya diaktifkan, rangkaian *power on reset* menahan logika tinggi pin RST dengan jangka waktu yang ditentukan oleh lamanya pengisian muatan C, yang nilai jangka waktunya dihitung dalam Persamaan (2-1). Rangkaian *power on reset* ditunjukkan dalam Gambar 2.12 (a).

Gambar 2.12 (a) Rangkian *power on reset* (b) Rangkaian ekivalen *power on reset*

Sumber : ATMEL AT89S8252,2003 : 5

Dari Gambar 2.12, nilai tegangan yang masuk pin RST dapat dihitung dengan persamaan rangkaian pembagi tegangan, yaitu :

$$\begin{aligned}
 V_o(s) &= \frac{R}{R + \frac{1}{Cs}} \bullet V_i(s) = \frac{RCs}{RCs + 1} \bullet Vi(s) \\
 &= \frac{RCs}{RCs + 1} \bullet Vi(s)
 \end{aligned} \tag{2-1}$$

Dengan :

$V_o$  = Tegangan yang masuk pin RST (V)

$V_i$  = Tegangan Masukan/VCC (V)

R = Nilai Resistansi Resistor ( $\Omega$ )

C = Nilai Kapasitif Kapasitor (F)

Dengan menggunakan Persamaan (2.1) dan nilai  $V_i$  adalah tegangan VCC

mikrokontroller yaitu 5 Volt ditransformasi dalam fungsi *Laplace* menjadi  $\frac{5}{s}$ ,

maka  $V_o$  dalam fungsi waktu adalah :

$$\begin{aligned}
 V_o &= \frac{RCs}{RCs + 1} \bullet \frac{5}{s} \\
 &= 5 \bullet \left( \frac{1}{s + \frac{1}{RC}} \right) \\
 V_o &= 5 \bullet e^{-\left(\frac{t}{RC}\right)}
 \end{aligned} \tag{2-2}$$

Untuk mengetahui persamaan waktu reset dapat dihitung dengan menjabarkan Persamaan (2-2) menjadi:

$$V_o = 5 \bullet e^{-\left(\frac{t}{RC}\right)}$$



$$\frac{5}{Vo(t)} = e^{-\left(\frac{t}{RC}\right)}$$

$$\ln\left(\frac{5}{V_0}\right) = \frac{t}{RC}$$

$$t = R \bullet C \bullet \left( \ln \frac{5}{V_0} \right) \text{ atau } t = R \bullet C \bullet \frac{\left( \ln \frac{5}{V_0} \right)}{\log e} \quad (2-3)$$

Dengan menggunakan nilai  $V_o$  adalah tegangan input minimal ( $V_{IH}$ ) pada pin RST (ATMEL 2003,31) sebesar 0,7 VCC dan Persamaan (2-3), dapat dihitung nilai waktu reset, yaitu :

$$V_o = 0,7 \bullet VCC = 0,7 \times 5 = 3,5 \text{ volt}$$

$$t = R \bullet C \bullet \frac{\left( \log \frac{5}{3,5} \right)}{\log e}$$

$$t = 0,357 \bullet R \bullet C$$

(2-4)

Dari Persamaan (2-4) dapat diketahui bahwa nilai reset dipengaruhi oleh nilai R dan C.

## 2.5. LCD (*Liquid Crystal Display*)

LCD (*Liquid Crystal Display*) digunakan sebagai *display* informasi dari mikrokontroler. Untuk tampilan dalam penelitian ini, digunakan LCD Tampilan jenis ini tersusun dari dot matriks dan dikontrol oleh ROM / RAM generator karakter dan RAM data display. Semua fungsi display dikontrol dengan instruksi dan LCD dapat dengan mudah diantarmukakan (*interface*) dengan mikrokontroler unit.

Karakteristik dari LCD antara lain 16 x 2 karakter dengan 5 x 7 dot matriks, ROM generator karakter dengan 192 tipe karakter, RAM generator karakter



dengan 8 type karakter (untuk program write), 80 x 8 bit RAM data display dengan 80 karakter maksimal, Dapat diantarmukakan (*interface*) dengan MCU 4 atau 8 bit, RAM data dan RAM generator karakter dapat dibaca dari MCU, Rangkaian oscilator terpadu, Catu daya tunggal  $\pm 5$  Volt, Reset otomatis. Bentuk fisik LCD ditunjukkan dalam Gambar 2.13

Untuk menampilkan karakter yang ada dilakukan dengan cara memberikan kode karakter untuk tiap – tiap karakter yang diinginkan pada bus data dan dengan menggunakan sinyal kontrol E, RS dan *R/W*. Untuk konfigurasi pin-pin pada LCD LMB162A ditunjukkan dalam Tabel 2.1.

Tabel 2.1 Konfigurasi Pin LCD

No	Nama Pin	Dekripsi
1	VCC	+5 V
2	Ground	0V
3	VEE	Tegangan kontras LCD
4	RS	Register Select. 0: register perintah 1: register data
5	R/W	1: read, 0: write
6	E	Enable clock LCD
7	D0	Data Bus 0
8	D1	Data Bus 1
9	D2	Data Bus 2
10	D3	Data Bus 3
11	D4	Data Bus 4
12	D5	Data Bus 5
13	D6	Data Bus 6
14	D7	Data Bus 7
15	Anoda	Tegangan positif backlight
16	Katoda	Tegangan negatif backlight

Sumber :Data Sheet LCD LMB162A, 2012 : 3



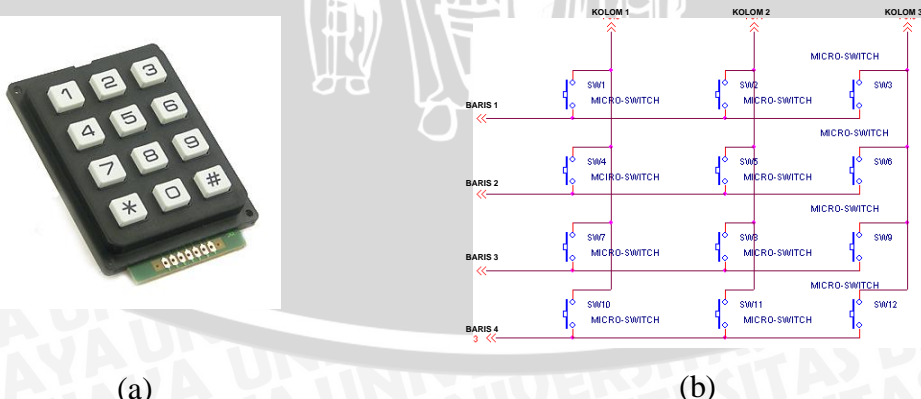


Gambar 2.13 Gambar LCD Tipe LMB162A

Sumber : <http://www.ecvv.com/product/2663556.html>

## 2.6 Keypad

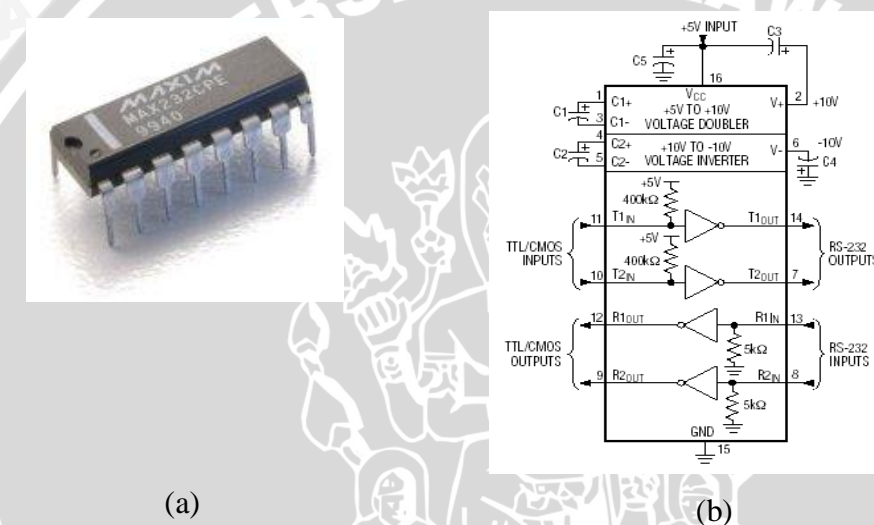
*Keypad* merupakan media yang digunakan untuk memasukkan data. *Keypad* ini berfungsi untuk menterjemahkan penekanan pada salah satu tombol ke dalam bentuk biner. Sehingga sejumlah jalur yang akan masuk ke rangkaian berikutnya dapat diperkecil. *Keypad* matrik ini bekerja dengan menggunakan prinsip *scanning* pada baris dan kolom. *Keypad* ini berfungsi untuk menterjemahkan penekanan pada salah satu tombol kedalam bentuk biner. Sehingga jumlah jalur yang masuk ke rangkaian berikutnya dapat diperkecil. *Keypad* matrik ini bekerja dengan menggunakan prinsip scanning pada baris dan kolom. Jika terdeteksi adanya persambungan antara baris dan kolom yang valid, software akan mendekodekan baris dan kolom mana yang menyambung menjadi data biner. Bentuk fisik *keypad* ditunjukkan dalam Gambar 2.14(a) dan rangkaian setara *keypad* ditunjukkan dalam Gambar 2.14 (b)



Gambar 2.14(a) Keypad 3x4 (b) Rangkaian Setara Keypad  
Sumber : <http://www.embed4u.com>

## 2.7 Komunikasi Serial

Komunikasi serial merupakan komunikasi dimana data dikirim per bit. Cara ini lebih lambat dibandingkan komunikasi parallel dimana data dapat dikirim secara serentak. Mouse, dan scanner adalah contoh komunikasi serial. Pada tugas akhir ini, komunikasi serial terjadi antara modem dan mikrokontroller AT89S8252 melewati RS-232. Satu di antara beberapa standar untuk komunikasi serial adalah MAX232. MAX232 digunakan untuk komunikasi dari modem ke mikrokontroller AT89S8252 secara serial. MAX232 ini berfungsi sebagai pengubah level tegangan Transistor Transistor Logic (TTL). Gambar 2.15(a) memperlihatkan MAX232 dan Gambar 2.15 (b) konfigurasi pin MAX232



Gambar 2.15 (a) IC MAX 232 (b) Konfigurasi Pin IC MAX 232

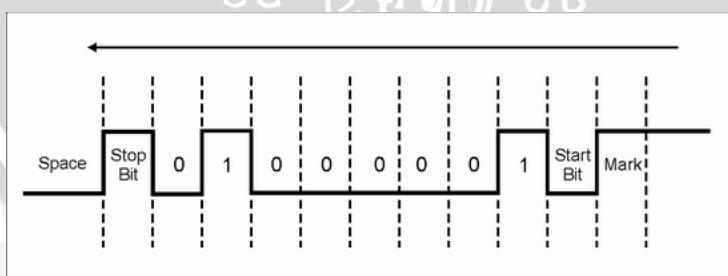
Sumber : MAXIM, 2010 :17

RS232 merupakan kependekan dari *Recommended Standart Number 232*. Level Tegangan dari RS232 adalah +3 sampai +15 volt untuk logika “0” sedangkan -3 sampai -15 volt untuk logika “1”. Level tegangan ini berbeda dengan level tegangan logika dari mikrokontroler yang bertipe TTL/CMOS dengan *supply* 5 V yang memiliki keluaran untuk logika tinggi minimal 2,4 volt dan logika rendah maksimal 0,4 volt, sehingga dibutuhkan IC MAX 232 yang berfungsi sebagai penyetara level tegangan logika. IC MAX 232 memiliki empat bagian yaitu dual charge pump, konverter tegangan, RS 232 driver dan RS 232

receiver. Dual charge pump mengubah tegangan masukan +5V menjadi  $\pm 10V$  (tak terbebani) pada RS 232 driver. Konverter pertama menggunakan kapasitor C1 untuk menggandakan tegangan +5V menjadi +10V di C3 pada keluaran V+. Konverter kedua menggunakan kapasitor C2 untuk membalik +10V menjadi -10V di C4 pada keluaran V-. Keluaran RS 232 driver berayun dari  $\pm 8V$  ketika dibebani dengan  $5k\Omega$  (nominal) dengan Vcc sebesar 5V. Pull up resistor yang tersambung dengan Vcc menyebabkan keluaran driver yang tidak digunakan pada kondisi rendah.

Daerah tegangan antara -3 Volt hingga +3 Volt adalah *invalid* level, yaitu daerah yang tidak memiliki *logic* sehingga daerah tersebut harus dihindari. Suatu saluran data RS 232 yang memberi keadaan ini berarti ada kesalahan. Demikian pula saluran daerah lebih negatif dari -15 volt dan daerah lebih positif dari +15 Volt. Pada saat pengiriman data, sebelum mengirim data bit 0 harus diawali dengan *start* bit terlebih dahulu kemudian baru mengirim bit 0. Setelah mengirim bit 7 masih harus diakhiri dengan *stop* bit.

Komunikasi MAX232 dilakukan secara asinkron (*asynchronous*), yaitu komunikasi serial yang tidak memiliki clock bersama antara pengirim dan penerima, masing-masing dari pengirim maupun penerima memiliki clock sendiri. Yang dikirimkan dari pengirim ke penerima adalah data dengan *baudrate* tertentu yang ditetapkan sebelum komunikasi berlangsung. Setiap *word* atau *byte* disinkronkan dengan start bit, stop bit dan *clock* internal masing-masing pengirim atau penerima. Visualisasi start dan stop bit pada pengiriman sebuah data dapat dilihat dalam Gambar 2.16.



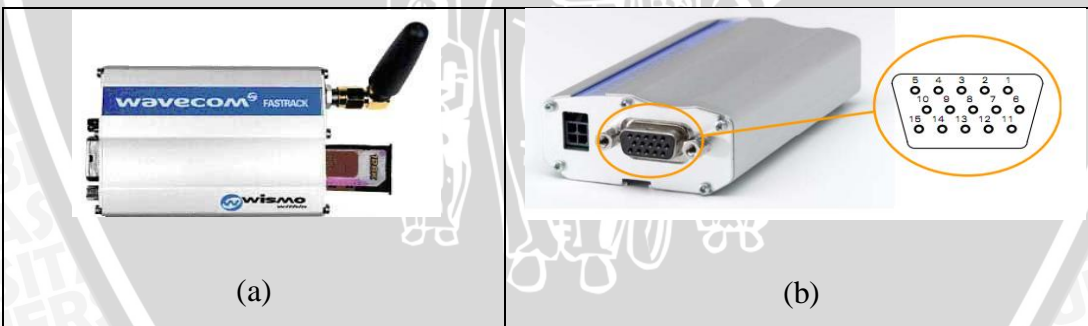
Gambar 2.16 Start Bit, Stop Bit Dalam Komunikasi Serial

Sumber : <http://www.musbikhin.com>

Saat keadaan *idle*, jalur RS-232 ditandai dengan mark state atau Logika high. Pengiriman data selalu diawali dengan start bit yang berlogika 0 atau *low*, berikutnya data dikirimkan bit demi bit mulai dari *Least Significant Bit (LSB)* atau bit ke-0. Pengiriman setiap *byte* diakhiri dengan stop bit yang berlogika *high*. Jika tidak ada lagi data yang ingin dikirim, maka jalur transmisi ini akan dibiarkan dalam keadaan *high*.

## 2.8 Modem WAVECOM

Modem berasal dari kata modulator demodulator. Perangkat keras ini digunakan untuk mengubah sinyal digital menjadi sinyal analog sehingga data dapat dikirimkan melalui saluran telepon atau saluran lainnya. Data yang berbentuk sinyal digital yang dikirim kepada modem akan diubah menjadi sinyal analog. Sinyal analog tersebut dapat dikirimkan melalui beberapa media telekomunikasi seperti telepon dan radio. Setelah diterima di modem tujuan, sinyal analog tersebut diubah menjadi sinyal digital kembali. Salah satu jenis modem yang memiliki open *AT-Command* dan port serial adalah WAVECOM seri M1306B yang dapat ditunjukkan dalam Gambar 2.17(a) dan pin *out port* serial modem ditunjukkan dalam Gambar 2.17(b). Konfigurasi dari setiap pin DB 15 WAVECOM M1306B ditunjukkan dalam Tabel 2.2.



Gambar 2.17(a) WAVECOM M1306B (b) Susunan Pin DB 15 pada

WAVECOM M1306B

Sumber : WAVECOM M1306B User Guide,2005 : 20

Tabel 2.2 Konfigurasi pin DB 15 WAVECOM M1306B

Pin	Signal (CCIT / EIA)	I/O	Tipe I/O		Keterangan			
1	CDCD/CT109	O	Standard 232	RS	RS 232	Data	Carrier Detect	
2	CTXD/CT103	I	Standard 232	RS	RS 232	Transmit	Serial Data	
3	BOOT	I	CMOS		Boot			
4	CMIC2P	I	Analog		Microphone	Positive Line		
5	CMIC2N	I	Analog		Microphone	Negative Line		
6	CRXD/CT104	O	Standard 232	RS	RS 232	Receive	Serial Data	
7	CDSR/CT107	O	Standard 232	RS	RS 232	Data Set Ready		
8	CDTR/CT108-2	I	Standard 232	RS	RS 232	Data Terminal Ready		
9	GND	-	GND		Ground			
10	CSPK2P	O						
11	CCTS/CT106	O	Standard 232	RS	Standard RS 232	Clear to Send		
12	CRTS/CT105	I	Standard 232	RS	Standard RS 232	Request to Send		
13	CRI/CT125	O	Standard 232	RS	Standard RS 232	Ring Indikator		
14	RESET	I/O	Schmitt		Modem	Reset	(Aktif Low)	
15	CSPK2N	O	Analog					

Sumber: Fastrack Modem M1306B User Guide, 2005: 20

### 2.8.1 AT-Command

*AT-Command* adalah perintah yang dapat diberikan kepada *handphone* atau modem GSM/CDMA untuk melakukan sesuatu hal, seperti mengirim dan menerima SMS. Dengan memprogram pemberian perintah *AT-Command* di dalam computer atau mikrokontroller maka perangkat tersebut akan dapat melakukan instruksi perintah kirim, kirim SMS atau instruksi lainnya berdasarkan fungsi dari setiap *AT-Command*. Antar perangkat *handpone* atau modem GSM/CDMA dapat memiliki *AT-Command* yang berbeda-beda, namun masih mempunyai kesamaan, untuk itu kita harus memperhatikan data teknis yang berkaitan dengan aplikasi *AT-Command* dari produsen perangkat yang

bersangkutan. Modem WAVECOM M1306B dapat diprogram menggunakan *AT-Command* versi V25ter dan GSM 07.05 dan 07.07. *AT-Command* modem WAVECOM yang digunakan dalam SMS *gateway* ditunjukkan dalam Tabel 2.3.

Tabel 2.3 *AT-Command* WAVECOM M1306B

COMMAND	Keterangan
AT+CMGS= “nomor tujuan”	Mengirim pesan ke nomor tujuan
AT+CMGF	
AT+CMGF=0 → <i>PDU mode</i>	Menentukan format pesan yang tersedia dalam format PDU dan Text
AT+CMGF=1 → <i>text mode</i>	
AT+IPR=?	Mengetahui <i>default baudrate</i> modem
AT+IPR=	Merubah nilai <i>baudrate</i> modem
AT&W	Menyimpan konfigurasi modem

Sumber: AT Command Interface Guide-WAVECOM



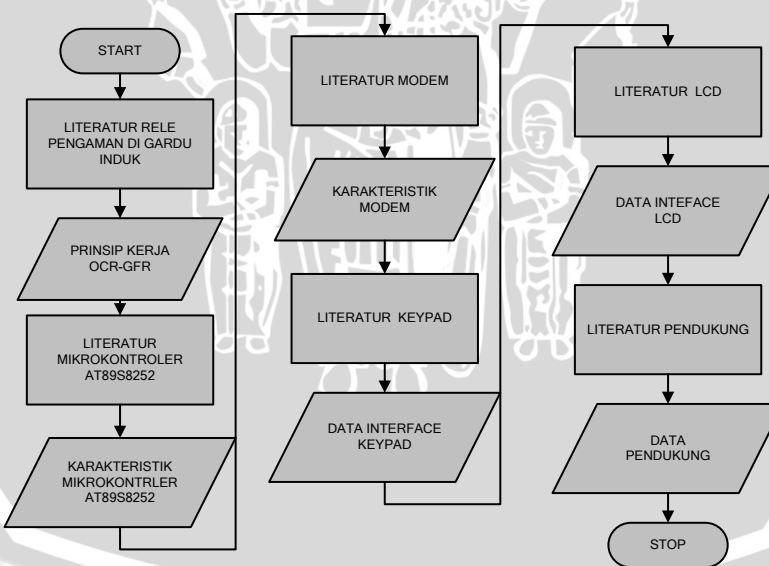
## BAB III

### METODOLOGI PENELITIAN

Kajian yang dilakukan dalam skripsi ini adalah perancangan dan pembuatan sistem informasi gangguan *overcurrent* dan *ground fault* pada jaringan distribusi listrik via SMS. Metode yang digunakan untuk merealisasikan alat yang akan dibuat secara umum adalah Studi Literatur, Penentuan Spesifikasi Alat, Perancangan Alat, Pembuatan Alat, Pengujian Alat dan Analisis.

#### 3.1 Studi Literatur

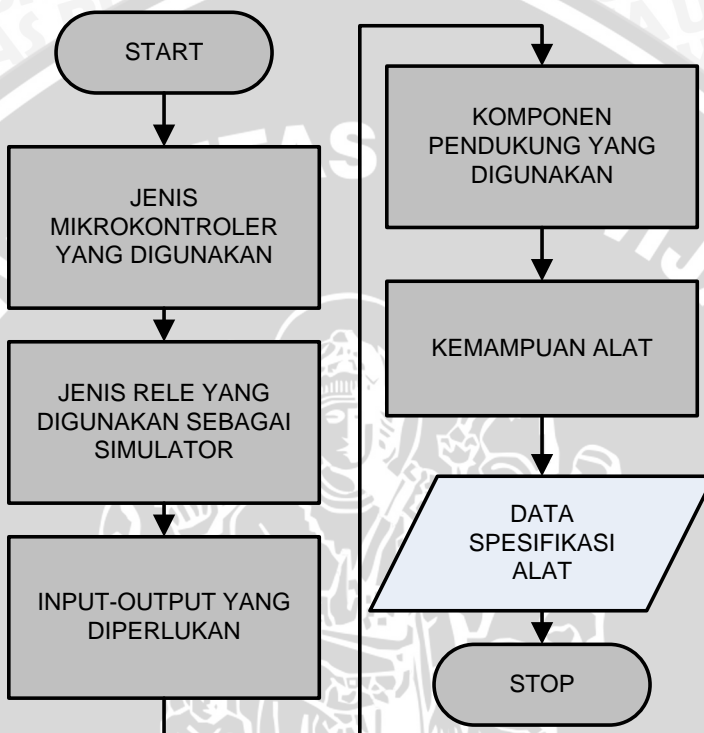
Studi literatur dilakukan untuk mendapatkan pengetahuan dasar tentang segala sesuatu yang mendukung perancangan serta pembuatan alat ini. Pembuatan alat ini menggunakan referensi dari pihak yang berkaitan (PT. PLN APJ Malang UPJ Batu), buku-buku maupun artikel dari internet untuk mengetahui karakteristik komponen, prinsip kerja serta teori yang menunjang. *Flowchart* untuk mendapatkan data-data literature dalam penggerjaan skripsi ini ditunjukkan dalam Gambar 3.1.



Gambar 3.1 *Flowchart* Pengumpulan Data Literatur

### 3.2 Penentuan Spesifikasi Alat

Setelah mempelajari berbagai literatur yang menunjang dan dari permasalahan yang ada ditentukan spesifikasi alat yang akan dirancang. Penentuan spesifikasi alat dilakukan untuk memudahkan melakukan perancangan dan pembuatan alat serta memberikan informasi tentang kemampuan alat. *Flowchart* proses penentuan spesifikasi alat ditujukan dalam Gambar 3.2.

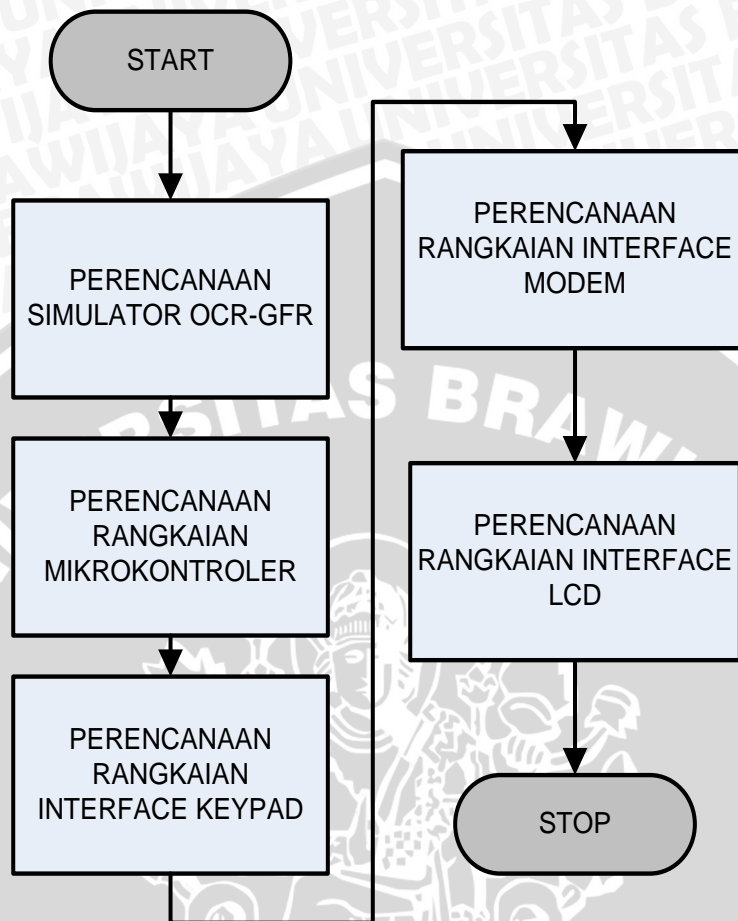


Gambar 3.2 *Flowchart* Penentuan Spesifikasi Alat

### 3.3 Perencanaan Alat

Berdasarkan studi literatur, tahap selanjutnya adalah perencanaan alat. Dalam perencanaan ini langkah-langkah yang dilakukan meliputi penyusunan diagram blok sistem untuk mempermudah pemahaman tentang alur kerja dari alat yang akan dibuat, pembuatan skema rangkaian dan perhitungan besaran-besaran listriknya. Selanjutnya dilakukan perhitungan dan perencanaan tiap-tiap blok rangkaian dengan mengacu pada data dari buku data komponen elektronikanya. Dari data tersebut dilakukan analisis dan perhitungan untuk mencapai hasil optimal dari komponen yang digunakan, yang akan disesuaikan dengan komponen

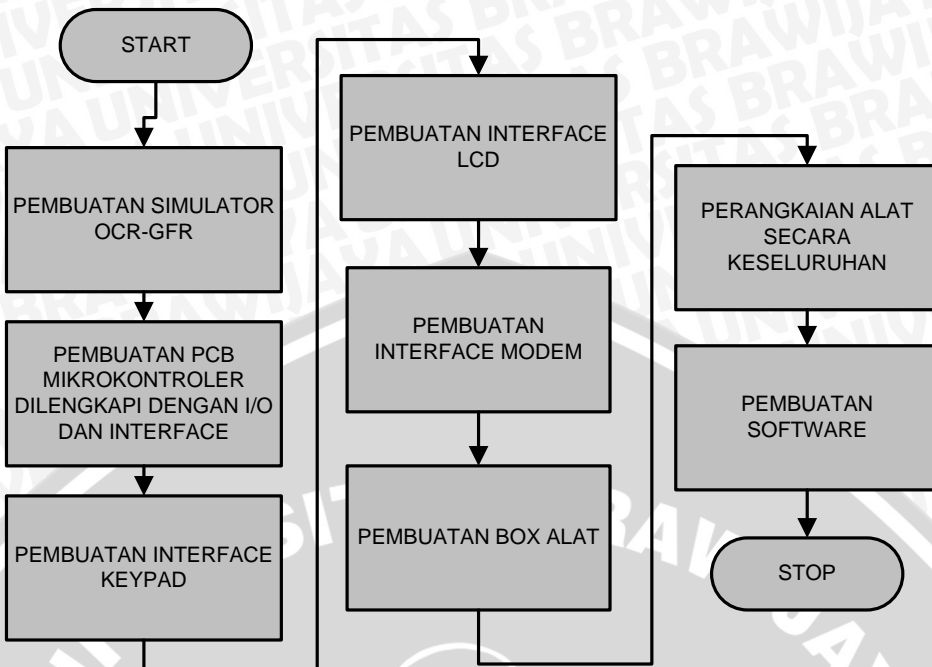
yang ada dipasaran. Diagram alir perencanaan penggeraan penelitian ini ditunjukkan dalam Gambar 3.3.



Gambar 3.3 Diagram Alir Perencanaan Alat

### 3.4 Pembuatan Alat

Pembuatan alat dilakukan berdasarkan perencanaan dari masing-masing blok. Tahap pembuatan alat ini diawali dengan merancang tata letak komponen melalui perangkat lunak *Protel Advanced Schematic 3.20 EDA/Client* dan *Protel Advanced PCB Design 2.5*, pembuatan papan rangkaian tercetak, perakitan komponen, pembuatan rangkaian simulator OCR-GFR, serta pembuatan *software*. Diagram alir proses pembuatan alat ditunjukkan dalam Gambar 3.4.



Gambar 3.4 *Flowchart* Pembuatan Alat

### 3.5 Pengujian Alat

Untuk mengetahui tingkat keberhasilan sistem dan kesesuaian dengan perencanaan maka dilakukan pengujian rangkaian. Pengujian dilakukan pada masing-masing blok secara keseluruhan.

#### 3.5.1 Pengujian Rangkaian Simulator *Overcurrent Relay*

##### 3.5.1.1 Tujuan Pengujian

Tujuan pengujian simulator *overcurrent relay* ini adalah untuk menganalisis apakah simulator rangkaian *overcurrent relay* akan memberikan respon ketika arus yang melewati rele melebihi nilai setting rele, serta waktu tunda kerja rele *overcurrent*.

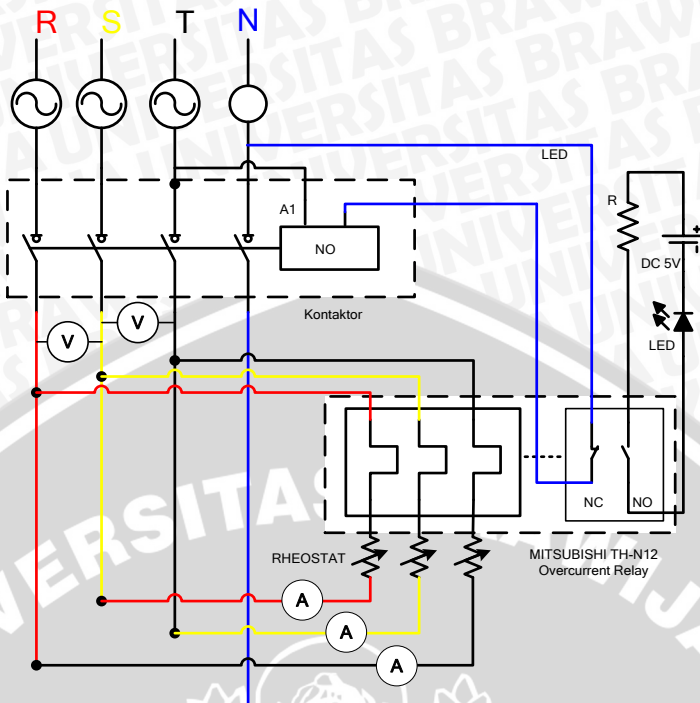
##### 3.5.1.2 Prosedur Pengujian

Prosedur pengujian yang dilakukan pada saat pengujian adalah menyiapkan rangkaian simulator *overcurrent relay* sesuai pada Gambar 3.5. Selanjutnya menyetting arus setting rele, dengan nilai-nilai yang tertera dalam suatu tabel. Untuk memastikan besar tegangan antar phase dari sumber maka

perlu dilakukan pengukuran menggunakan voltmeter. Persiapan *rheostat* yang akan digunakan sebagai beban dilakukan dengan mengatur nilai resistansi pada nilai yang tertinggi sehingga nilai arus yang mengalir pada rele kecil. Kemudian sumber tiga phase dihubungkan ke rangkaian simulator *overcurrent*, dengan MCB sumber tiga phase dalam keadaan terbuka.

Apabila persiapan telah selesai, maka pengecekan terhadap rangkaian yang akan diuji perlu dilakukan sekali lagi, untuk memastikan setiap bagian telah terhubung dengan benar. Saklar MCB dirubah menjadi keadaan tertutup, yang artinya sumber 3 phase telah mencatu rangkaian yang akan diuji. Untuk memperoleh nilai arus uji rele, dilakukan dengan menggeser *slider* pada *rheostat* sehingga nilai arus akan berubah seiring dengan perubahan nilai resistansi. Besar nilai arus uji rele ditunjukkan dalam suatu tabel.

Ketika amperemeter telah menunjukkan nilai arus uji rele yang sesuai, sumber tegangan *diturn-off*. Kemudian secara bersamaan, *stop watch* dan sumber tegangan *diturn-on*. Setelah beberapa saat rele akan bekerja, yang ditandai dengan perubahan keadaan *auxxilay contact relay* (*normally open* menjadi *normally close* sedangkan *normally close* menjadi *normally open*) dan lampu LED akan menyala. Segera matikan *stop watch* bila rele telah bekerja. Hasil waktu pengujian yang tertera pada *stopwatch* dicatat pada suatu tabel. Dengan prosedur yang sama seperti dijelaskan diatas, pengujian untuk beberapa nilai arus uji yang lain dapat dilakukan. Hasil pengujian ini merupakan karakteristik respon rele terhadap perubahan arus yang melewatkannya. Pada saat melakukan pengujian ini, rangkaian rele mendapat catu dari sumber bertegangan 380 Volt AC, sehingga perlu berhati-hati dalam setiap melakukan tindakan.



Gambar 3.5 Rangkaian Pengujian Simulator Overcurrent Relay

### 3.5.1.3 Peralatan Pengujian

Peralatan yang digunakan untuk pengujian simulator *overcurrent relay* adalah:

1. Rangkaian simulator *overcurrent relay*
2. Sumber 3 phase
3. Rheostat  $60\ \Omega$ , 5A
4. Catu daya 5 volt
5. Amperemeter (Kaise Electric Works Ltd, SK-5000A, Acc 2%)
6. Voltmeter (Sanwa CD800 a)
7. Kabel jumper
8. Stop watch

## 3.5.2 Pengujian Rangkaian Simulator *Ground Fault Relay*

### 3.5.2.1 Tujuan Pengujian

Tujuan pengujian simulator *ground fault relay* ini adalah untuk mengetahui apakah simulator rangkaian *ground fault relay* akan bekerja arus

yang melewati rele melebihi nilai setting rele, serta respon rele terhadap perubahan arus.

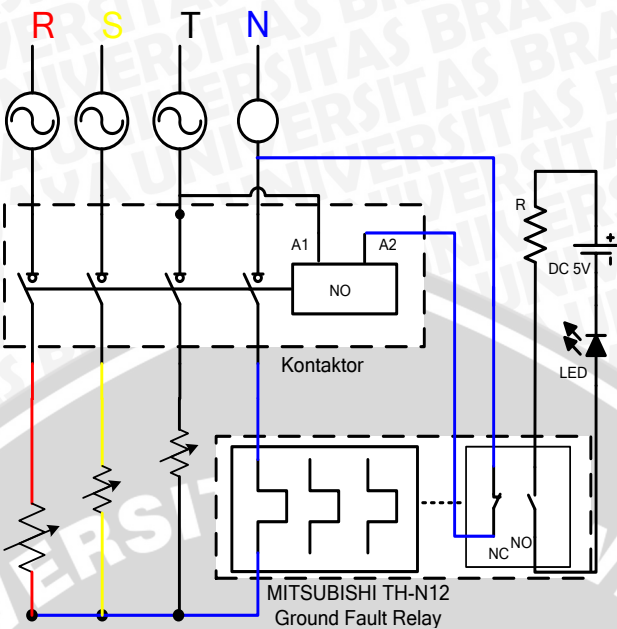
### 3.5.2.2 Prosedur Pengujian

Pengujian simulator *overcurrent ground fault* dilakukan sesuai dengan rangkaian pada Gambar 3.6. Selanjutnya menyeting arus setting rele, dengan nilai-nilai yang tertera dalam suatu tabel. Untuk memastikan besar tegangan antar phase dari sumber maka perlu dilakukan pengukuran menggunakan voltmeter. Persiapan rheostat yang akan digunakan sebagai beban dilakukan dengan mengatur nilai resistansi pada nilai yang tertinggi sehingga nilai arus yang mengalir pada rele kecil. Kemudian sumber tiga phase dihubungkan ke rangkaian simulator *overcurrent*, dengan MCB sumber tiga phase dalam keadaan terbuka.

Apabila persiapan telah selesai, maka pengecekan terhadap rangkaian yang akan diuji perlu dilakukan sekali lagi, untuk memastikan setiap bagian telah terhubung dengan benar. Saklar MCB dirubah menjadi keadaan tertutup, yang artinya sumber 3 phase telah mencatu rangkaian yang akan diuji. Untuk memperoleh nilai arus uji rele, dilakukan dengan menggeser *slider* pada *rheostat* sehingga nilai arus akan berubah seiring dengan perubahan nilai resistansi. Besar nilai arus uji rele ditunjukkan dalam suatu tabel.

Ketika ampermeter telah menunjukkan nilai arus uji rele yang sesuai, sumber tegangan *diturn-off*. Kemudian secara bersamaan, *stop watch* dan sumber tegangan *diturn-on*. Setelah beberapa saat rele akan bekerja, yang ditandai dengan perubahan keadaan *auxxilay contact relay* (*normally open* menjadi *normally close* sedangkan *normally close* menjadi *normally open*) dan lampu LED akan menyala. Segera matikan *stop watch* bila rele telah bekerja. Hasil waktu pengujian yang tertera pada *stopwatch* dicatat pada suatu tabel. Dengan prosedur yang sama seperti dijelaskan diatas, pengujian untuk beberapa nilai arus uji yang lain dapat dilakukan. Hasil pengujian ini merupakan karakteristik respon rele terhadap perubahan arus yang melewatinya. Pada saat melakukan pengujian ini, rangkaian rele mendapat catu dari sumber bertegangan 380 Volt AC, sehingga perlu berhati-hati dalam setiap melakukan tindakan.





Gambar 3.6 Rangkaian Pengujian Simulator *Ground Fault Relay*

### 3.5.2.3 Peralatan Pengujian

Peralatan yang digunakan untuk pengujian *ground fault relay* adalah:

1. Rangkaian simulator *overcurrent relay*
2. Sumber 3 phase
3. Rheostat  $60 \Omega$ , 5A
4. Catu daya 5 volt
5. LED
6. Amperemeter (Kaise Electric Works Ltd, SK-5000A, Acc 2%)
7. Voltmeter (Sanwa CD800 a)
8. Stop watch
9. Kabel jumper

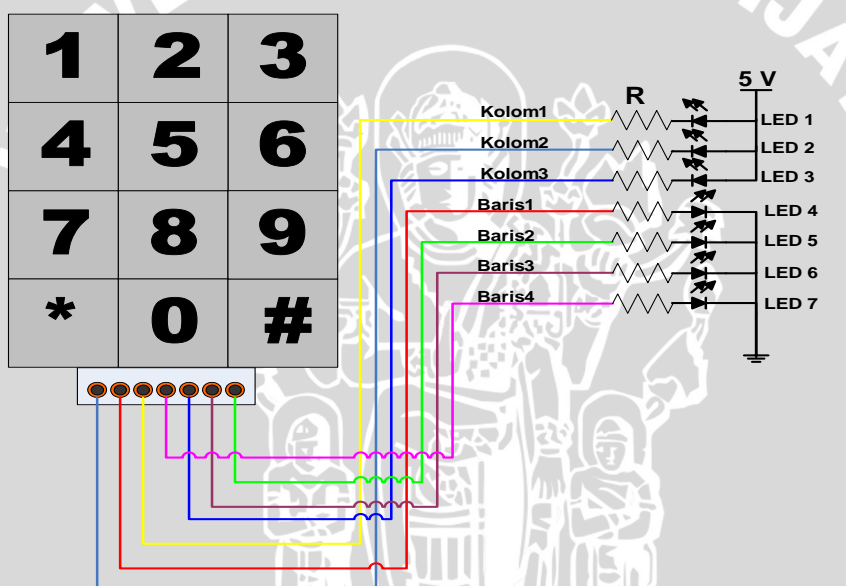
### 3.5.3 Pengujian Keypad

#### 3.5.3.1 Tujuan Pengujian

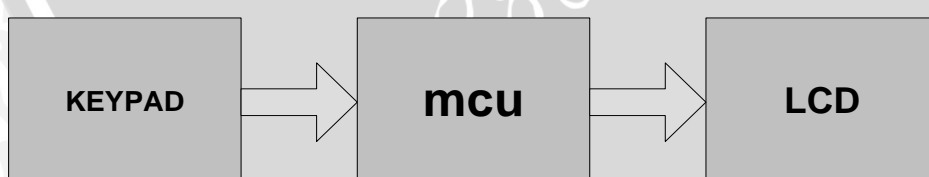
Tujuan pengujian antamuka keypad adalah untuk menganalisis apakah perancangan memiliki kombinasi yang benar dan dapat bekerja dengan baik untuk memasukkan data dari keypad ke mikrokontroler dan ditampilkan pada layar LCD.

### 3.5.3.2 Prosedur Pengujian

Pengujian keypad dilakukan dengan merangkai keypad sesuai dengan Gambar 3.7. kemudian menghubungkan keypad dengan catu daya 5 volt. Dengan menekan tombol pada keypad lampu LED akan menyala, susunan dari nyala LED merupakan kombinasi keluaran logika keypad dan dicatat pada suatu tabel. Jika kombinasi *keypad* sudah sesuai dengan perancangan, catu daya dan LED dilepas dari rangkaian keypad, kemudian konektor keypad dihubungkan ke P1.0-1.6 mikrokontroler. Apabila konektor sudah terhubung baik, sistem di *turn-on*. Kemudian dilanjutkan menekan tombol dengan karakter 01234567\*# yang ada pada keypad. Blok diagram pengujian antarmuka *keypad* ditunjukkan dalam Gambar 3.8.



Gambar 3.7 Rangkaian Pengujian Kombinasi Output Keypad



Gambar 3.8 Diagram Blok Pengujian Antarmuka Keypad

### 3.5.3.3 Peralatan Pengujian

Peralatan yang digunakan untuk pengujian antarmuka keypad adalah:

- 1) Keypad 3x4,
- 2) Minimus sistem mikrokontroler AT89S8252,
- 3) Catu daya 5 volt,
- 4) LED 6 buah,
- 5) Resistor 2K2Ω 6 buah.

### **3.5.4 Pengujian Antarmuka Modul LCD**

#### **3.5.4.1 Tujuan Pengujian**

Pengujian antarmuka modul LCD bertujuan untuk menganalisis apakah LCD dapat menampilkan karakter yang dikirimkan oleh mikrokontroler.

#### **3.5.4.2 Prosedur Pengujian**

Pengujian dilakukan dengan menghubungkan port 0.0-0.7 mikrokontroler ke pin D0-D7 LCD dan Port 2.6-2.7 ke pin RS,E modul LCD. Kemudian mikrokontroler diprogram untuk menampilkan suatu karakter ke layar LCD, dalam pengujian ini ditampilkan karakter “DIMAS BRAWIJAYA MALANG”.

#### **3.5.4.3 Peralatan Pengujian**

Peralatan yang digunakan dalam pengujian antarmuka modul LCD adalah:

- 1) Modul LCD 16X2,
- 2) Minimum sistem mikrokontroler AT89S8252
- 3) Catu daya 5 volt

### **3.5.5 Pengujian Modem**

#### **3.5.5.1 Tujuan Pengujian**

Tujuan pengujian antarmuka modem adalah untuk menganalisis modem WAVECOM dapat berkomunikasi secara serial dan merespon instruksi AT-Command.

#### **3.5.5.2 Prosedur Pengujian**

Pengujian antarmuka modem dilakukan dengan menghubungkan modem pada port komunikasi serial komputer/laptop. Kemudian menggunakan aplikasi *hyperterminal* yang ada pada perangkat komputer disetting *baudrate* dengan nilai



yang sesuai dengan *default* modem, yaitu 9600. Pada *sheet* aplikasi *hyperterminal* diketikkan AT kemudian tekan enter, jika komunikasi berhasil pada layar akan tampil kata “OK” dan kursor akan berkedip menunggu instruksi selanjutnya. Setelah itu dapat diuji untuk beberapa jenis instruksi yang lain. Untuk menguji respon modem terhadap nilai *baudrate* yang berbeda, dapat dilakukan dengan mengubah nilai *setting baudrate*, kemudian diberikan beberapa instruksi AT *Command*. Hasil pengujian dicatat dalam suatu tabel.

Untuk menguji apakah modem dapat mengirimkan SMS dengan menggunakan instruksi AT Command, diketikkan AT+CMGF=1 untuk setting SMS dengan format *Text* kemudian tekan *enter*. Dilanjutkan dengan mengetikkan AT+CMGS=”nomor tujuan” kemudian tekan enter, pada layar akan tampil >. Tanda tersebut berarti program meminta *user* untuk mengetikan karakter yang akan dikirimkan. Setelah karakter diketikkan, diakhiri dengan menekan tombol “CTRL+Z” pada *keyboard* perangkat komputer.

### **3.5.5.3 Peralatan Pengujian**

Peralatan yang digunakan dalam pengujian antarmuka modem WAVECOM adalah:

- 1) Modem WAVECOM M1306B,
- 2) Kabel DB15 to DB9,
- 3) Komputer/Laptop yang memiliki port serial
- 4) Handphone

## **3.5.6 Pengujian Sistem Secara Keseluruhan**

### **3.5.6.1 Tujuan Pengujian**

Pengujian ini bertujuan untuk menganalisis apakah sistem yang telah dibuat mampu bekerja sesuai dengan perancangan, baik perancangan perangkat keras (*hardware*) maupun perangkat lunak (*software*).

### **3.5.6.2 Prosedur Pengujian**

Pengujian dilakukan dengan menghubungkan seluruh rangkaian secara lengkap. Kemudian dilakukan pengecekan hubungan rangkaian simulator dengan

sumber 3 phase dan juga pemasangan kabel jumper. Bila hubungan sudah benar, nilai arus *disetting* dengan nilai diatas nilai *setting* rele. Pengaturan dilakukan dengan menggeser *slider* rheostat dan mengukur arus yang mengalir pada rele. Jika nilai arus sudah dicapai, setelah beberapa saat rele akan bekerja dan SMS akan diterima oleh handpone sesuai dengan nomor yang telah dimasukkan. Ketika rangkaian simulator bekerja (terjadi trip) *stopwatch* dinyalakan, apabila informasi trip (SMS) telah diterima HP tujuan *stopwatch* dimatikan. Hasil pengukuran waktu penerimaan SMS dicatat dalam suatu tabel.

### 3.5.6.3 Peralatan Pengujian

Peralatan yang digunakan untuk menguji rangkaian secara keseluruhan adalah:

- 1) Rangkaian simulator Sistem Informasi Gangguan *Overcurrent* Dan *Ground Fault* Pada Jaringan Distribusi Listrik Via Sms secara keseluruhan.
- 2) Sumber 3 phase
- 3) Kabel Jumper
- 4) AVO meter
- 5) Rheostat
- 6) Dua buah *handphone* dengan nomor *provider* yang masih aktif



## BAB IV

### PERENCANAAN DAN PEMBUATAN

Pada bab ini membahas mengenai spesifikasi alat, perencanaan sistem, prinsip kerja sistem, perancangan perangkat keras (*hardware*) dan perancangan perangkat lunak (*software*). Bagian perancangan perangkat keras terbagi menjadi beberapa bagian yaitu bagian simulator *overcurrent* dan *ground fault*, bagian mikrokontroler AT89S8252, bagian *interface* modem, bagian antarmuka modul LCD dan bagian antarmuka keypad,. Masing-masing bagian tersebut disusun dengan pemilihan beberapa jenis komponen dengan fungsi sesuai dengan perancangan, sehingga akan dihasilkan satu bentuk bagian dengan fungsi sesuai dengan perancangan yang dilakukan diawal. Bagian perencanaan perangkat lunak membahas mengenai perancangan pembuatan diagram alir program.

#### 4.1 Spesifikasi Alat

Spesifikasi alat ditetapkan terlebih dahulu sebagai acuan dalam perancangan. Spesifikasi alat yang direncanakan adalah sebagai berikut:

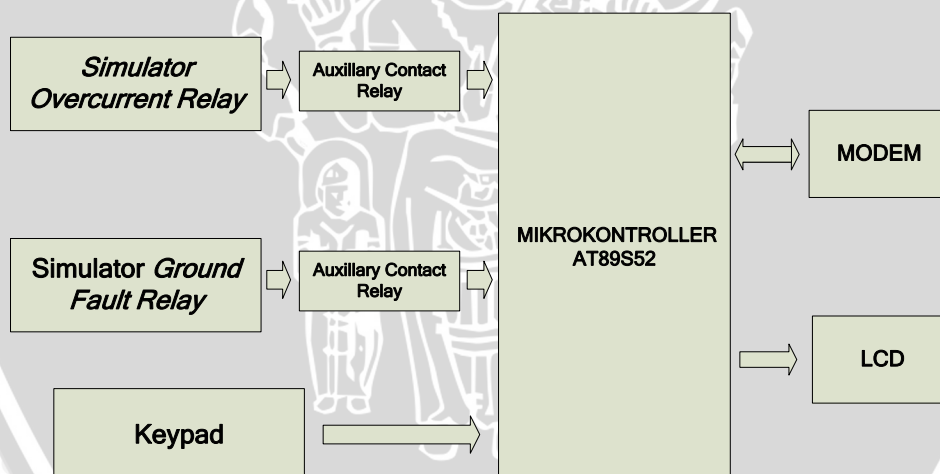
- 1) Menentukan gangguan distribusi listrik jenis *overcurrent* dan *ground fault* dengan memanfaatkan logika kerja rele *overcurrent* dan *ground fault* sebagai data acuan untuk menentukan jenis gangguan yang terjadi yang dirancang dalam bentuk simulator,
- 2) Menggunakan *Thermal Overload Relay* Mitsubishi TH-N12 sebagai simulator *overcurrent* dan *ground fault relay*,
- 3) Menggunakan LCD 16×2 sebagai tampilan,
- 4) Menggunakan keypad 3×4 sebagai media untuk memilih menu dan memasukkan nomor tujuan pengiriman SMS ,
- 5) Mikrokontroler AT89S8252 sebagai pengolah data dan pusat kontrol,



- 6) Menggunakan modem WAVECOM tipe M1306B sebagai pengirim SMS informasi gangguan distribusi listrik kepada petugas lapang yang berwenang,
- 7) Jenis operator GSM (Sim Card) bisa diganti dengan daftar sebagai berikut: Simpati, Mentari, IM3, Pro-xl
- 8) Sistem menggunakan catu daya DC +5 volt.

## 4.2 Perencanaan Sistem

Diagram blok sistem merupakan salah satu bagian penting dalam perancangan Sistem Informasi Gangguan *Overcurrent* dan *Ground Fault* Pada Jaringan Distribusi Listrik Via SMS. Dari diagram blok dapat diketahui prinsip kerja keseluruhan rangkaian. Tujuan lain diagram blok ini adalah memudahkan proses perancangan dan pembuatan pada masing-masing bagian, sehingga akan terbentuk suatu sistem yang sesuai dengan perencanaan. Diagram blok sistem ditunjukkan dalam Gambar 4.1



Gambar 4.1 Diagram Blok Sistem Keseluruhan

Berdasarkan Diagram Blok dalam Gambar 4.1, dapat diuraikan dan dijelaskan secara umum mengenai fungsi dari setiap bagian-bagian yang menyusun keseluruhan sistem dari alat ini, yaitu :

### 1) Simulator *Overcurrent Relay*

Simulator *Overcurrent Relay* berfungsi sebagai simulator rele pada gardu induk yang menunjukkan adanya trip tegangan karena gangguan jenis *Overcurrent*.

### 2) Simulator *Ground Fault Relay*

Relay Simulator *Ground Fault Relay* berfungsi sebagai simulator rele *ground fault* pada gardu induk yang bekerja ketika terjadi gangguan tanah.

### 3) *Auxillary Contact Relay*

*Auxillary Contact Relay* adalah kontak bantu pada rele yang bebas dari pengaruh arus dan tegangan dari rele, namun membuka atau menutupnya kontak ini berdasarkan kerja rele sehingga dapat dimanfaatkan untuk *interface* dengan mikrokontroler.

### 4) Keypad

Keypad berfungsi sebagai media untuk memilih menu dan memasukkan nomer telepon seluler tujuan pengiriman SMS.

### 5) Mikrokontroler AT89S8252

Mikrokontroler berfungsi sebagai pengontrol utama semua sistem.

### 6) LCD

LCD berfungsi untuk menampilkan menu dan nomer telepon seluler tujuan pengiriman SMS.

### 7) Modem

Modem sebagai media pengirim SMS informasi adanya gangguan *overcurrent* dan *ground fault* dan juga menerima SMS dari *user* utama untuk melakukan penambahan nomor HP tujuan pengiriman SMS.

## 4.3 Prinsip Kerja Sistem

Pada saat alat simulator ini pertama kali diaktifkan *display* akan menampilkan menu monitoring dan masukkan nomor HP, jika memilih menu “monitoring” LCD akan menampilkan status rele, sedangkan jika menu “masukkan nomor HP”

pengguna harus memasukkan *password* sebagai akses untuk mengubah nomor HP. Setelah proses ini selesai LCD akan menampilkan menu monitoring status rele.

Ada dua jenis simulator rele pengaman, yaitu *overcurrent relay* dan *ground fault relay*. Kedua rele ini memiliki kontak bantu yang akan membuka atau menutup, kontak bantu pada kedua rele ini terhubung dengan sumber tegangan dengan level logika tegangan mikrokontroler. Ketika terjadi gangguan pada konduktor simulator , maka rele-rele bekerja membuka kontak bantunya, sehingga mikrokontroler akan mengenalnya sebagai data. Mikrokontroler akan menentukan jenis gangguan yang terjadi berdasarkan data ini, kemudian akan mengirim SMS ke nomor yang telah dimasukkan.

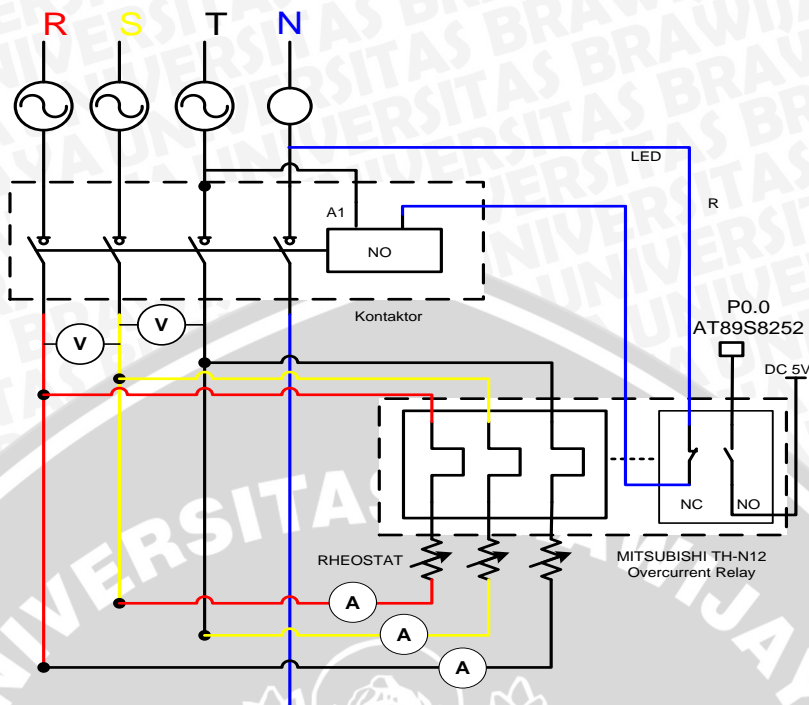
#### 4.4 Perancangan Perangkat Keras

Perancangan dari masing-masing bagian dapat diuraikan sebagai berikut:

- 1) Perancangan Simulator *Overcurrent Relay*
- 2) Perancangan Simulator *Ground Fault Relay*
- 3) Mikrokontroler AT89S8252
- 4) Perancangan Antarmuka Keypad
- 5) Perancangan Antarmuka LCD
- 6) Perancangan Antarmuka Modem

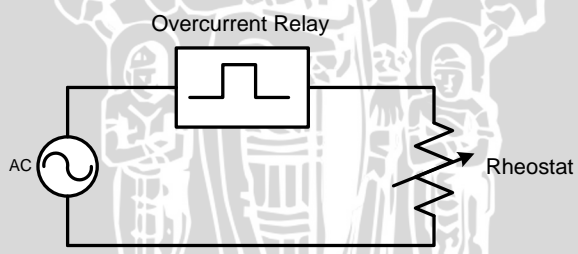
##### 4.4.1 Perancangan Simulator *Overcurrent Relay*

Gangguan *overcurrent* terjadi ketika adanya hubung singkat antar konduktor (antar *phase*) pada jaringan distribusi, sehingga simulasi terjadinya gangguan dapat dilakukan dengan menghubung singkat antar *phase* sumber tiga fasa dan memberikan suatu nilai tahanan tertentu untuk membatasi besarnya arus hubung singkat. Pada perancangan simulator *Overcurrent Relay* ini menggunakan *thermal overload* Mitsubishi tipe TH-N12 dengan nilai *setting range* 2,8-4,4 ampere, sumber AC 380 V dan nilai maksimal resistansi variable resistor (rheostat)  $60 \Omega$  dengan kemampuan arus maksimal 5 ampere. Perancangan rangkaian simulator *Overcurrent* dapat dilihat dalam Gambar 4.2.



Gambar 4.2 Rangkaian Simulator *Overcurrent*

Dari perancangan rangkaian simulator *Overcurrent* diatas dapat disederhanakan menjadi rangkaian ekivalen dalam Gambar 4.3



Gambar 4.3 Rangkaian Ekivalen Simulator *Overcurrent*

Untuk mendapatkan nilai resistansi *rheostat* dilakukan perhitungan dengan menggunakan Persamaan (4.1) sebagai berikut :

$$V = I \times R \quad (4.1)$$

Keterangan :

V = Tegangan Sumber (volt)

I = Arus (Ampere)

R = Resistansi ( $\Omega$ )

Apabila nilai setting *Overcurrent Relay* adalah 2,8 ampere, maka rele akan bekerja bila besar arus yang melalui rele  $> 2,8$  ampere. Dengan demikian nilai resistansi harus diatur agar nilai arus  $> 4,4$  ampere, sehingga nilai R adalah:

$$V = I \times R$$

$$380 = 2,8 \times R$$

$$R = \frac{380}{2,8} = 135,71\Omega$$

Dari perhitungan diatas di dapat nilai R adalah  $135,71\Omega$ , sehingga rele akan bekerja apabila nilai resistansi  $\leq 135,71\Omega$ . Namun pengujian harus memperhatikan kemampuan arus maksimal *rheostat*, agar alat tidak mengalami kerusakan yaitu sebesar 5Ampere. Sehingga nilai R minimal adalah :

$$V = I \times R$$

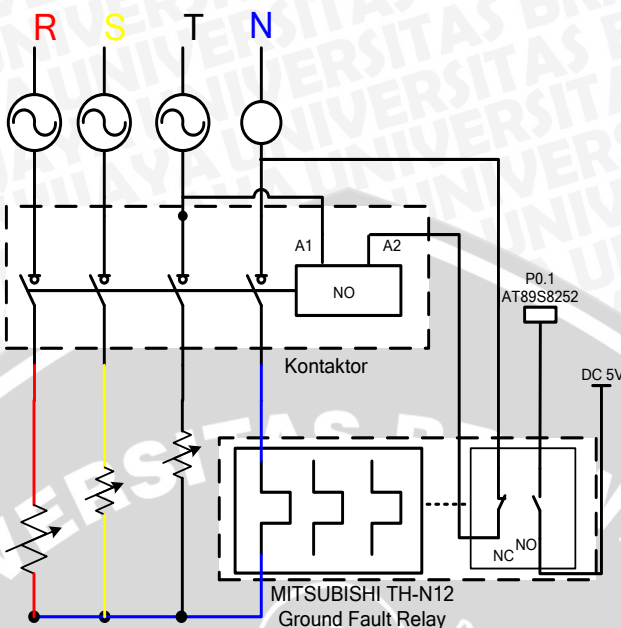
$$380 = 5 \times R$$

$$R = \frac{380}{5} = 76\Omega$$

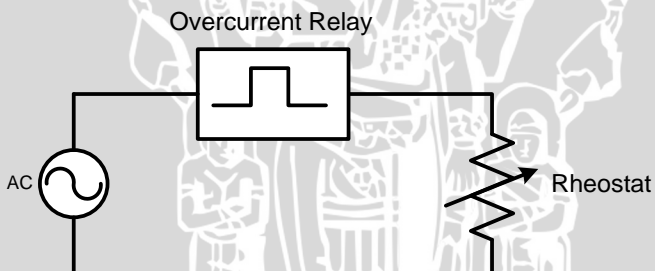
Dari kedua perhitungan di atas, maka nilai R yang digunakan adalah  $76\Omega < R \leq 135,71\Omega$ . Dengan merubah *slider* pada *rheostat* maka nilai arus juga akan berubah seiring dengan perubahan nilai resistansi *rheostat*. Dengan mengatur nilai arus yang melewati rele lebih besar dari nilai *setting* rele, maka rele akan bekerja.

#### 4.4.2 Perancangan Simulator *Ground Fault Relay*

Gangguan *ground fault* terjadi ketika konduktor pada jaringan distribusi menyentuh tanah, baik secara langsung maupun malalu perantara. Simulasi dapat dilakukan dengan menghubung singkat sumber tiga phasa dengan netral dan menambahkan suatu tahanan sehingga besar arus hubung singkat dengan titik netral dapat diatur. Pada perancangan simulator *Ground Fault* ini menggunakan *thermal overload* Mitsubishi tipe TH-N12 dengan nilai *setting range* 1,7-2 ampere, tegangan *phase to neutral* 220volt, nilai maksimal resistansi variable resistor (*rheostat*)  $60\Omega$  dengan kemampuan arus maksimal 5 ampere. . Perancangan rangkaian simulator *Overcurrent* dapat dilihat dalam Gambar 4.4

Gambar 4.4 Rangkaian Simulator *Ground Fault*

Dari perancangan rangkaian simulator *Overcurrent* diatas dapat disederhanakan menjadi rangkaian ekivalen dalam Gambar 4.5

Gambar 4.5 Rangkaian Ekivalen Simulator *Ground Fault*

Untuk mendapatkan nilai resistansi *rheostat* dilakukan perhitungan dengan menggunakan Persamaan (4.1) sebagai berikut :

$$V = I \times R \quad (4.1)$$

Keterangan :

$V$  = Tegangan Sumber (volt)

$I$  = Arus (Ampere)

$R$  = Resistansi ( $\Omega$ )

Apabila nilai setting *Ground Fault Relay* adalah 2 ampere, maka rele akan bekerja bila besar arus yang melalui rele  $> 2$  ampere. Dengan demikian nilai resistansi harus diatur agar nilai arus  $> 2$  ampere, sehingga nilai  $R$  adalah:

$$V = I \times R$$

$$220 = 2 \times R$$

$$R = \frac{220}{1,7} = 129,41\Omega$$

Dari perhitungan diatas di dapat nilai R adalah  $129,41\Omega$ , sehingga rele akan bekerja apabila nilai resistansi  $\leq 129,41\Omega$ . Apabila kemampuan arus maksimal *rheostat* sebesar 5Ampere, maka nilai R minimal adalah :

$$V = I \times R$$

$$220 = 5 \times R$$

$$R = \frac{220}{5} = 44\Omega$$

Dari kedua perhitungan diatas, maka nilai R yang digunakan adalah  $44\Omega < R \leq 129,41\Omega$ .

#### 4.4.3 Mikrokontroler AT89S8252

AT89S8252 merupakan salah satu mikrokontroler dari buatan ATMEL keluarga MCS-51 yang mempunyai 8K byte *Downloadable Flash Programable*, 2K byte EEPROM, 32 pin masukan keluaran dimana tiap pin tersebut dapat diprogram secara paralel dan tersendiri. IC ini kompatibel dengan standar industri 80C51 dalam hal pin keluaran dan instruksinya. AT89S8252 sebagai tempat pengolah, penyimpan data dan pengontrolan alat dihubungkan pada rangkaian pendukung yang membentuk suatu sistem ditunjukkan dalam Gambar 4.6

Mikrokontroler AT89S52 mempunyai 23 jalur I/O yang dapat diprogram menjadi masukan atau keluaran. 23 jalur I/O ini dikelompokkan menjadi 4 kelompok, yaitu port 0, 1, 2, dan 3. Pada perancangan ini, pin-pin yang digunakan adalah sebagai berikut:



1) Port 0

Port 0.0 dan 0.1 sebagai input data dari kontak bantu rele *overcurrent* dan *ground fault*. Port 0.6 dan 0.7 untuk output data LCD

2) Port 1

Port 1.0-1-6 digunakan sebagai input data dari keypad.

3) Port 2

Port 2.0-2.7 digunakan sebagai output data untuk D0-D7 LCD

4) XT1 dan XT2:

Digunakan sebagai masukan dari rangkaian osilator kristal. Rangkaian osilator kristal terdiri dari kristal osilator 12 MHz, kapasitor C<sub>1</sub> dan C<sub>2</sub> yang digunakan masing-masing bernilai 33 pF, akan membangkitkan pulsa *clock* yang menjadi penggerak bagi seluruh operasi internal mikrokontroler.

5) VCC

VCC dihubungkan dengan tegangan sebesar +5V.

6) GND

GND dihubungkan ke *ground* catu daya.

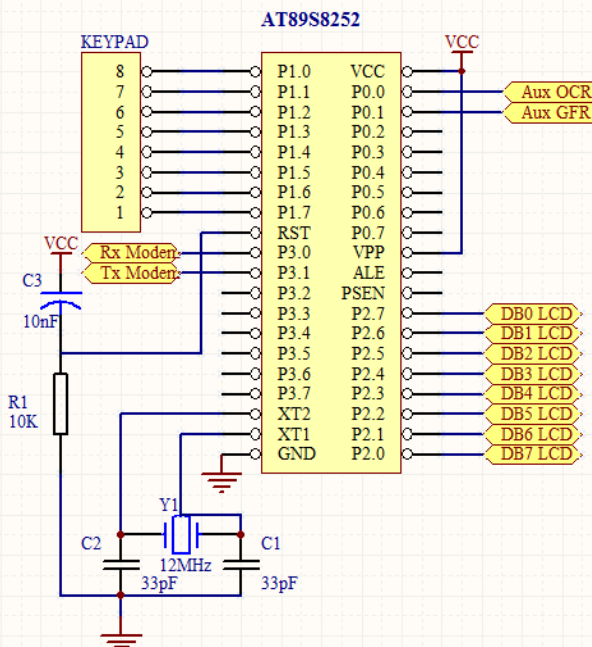
7) VPP/EA

PinVPP/EA dihubungkan dengan VCC yang berarti pin ini akan berkondisi *high* sehingga akan berfungsi untuk menjalankan program yang ada pada memori internal.

8) Reset

Digunakan untuk *reset* program kontrol mikrokontroler, maka pin *reset* diberi logika tinggi selama sekurangnya dua siklus mesin (24 periode osilator). Untuk membangkitkan sinyal *reset*, kapasitor dihubungkan dengan VCC dan sebuah resistor yang dihubungkan ke *ground*.



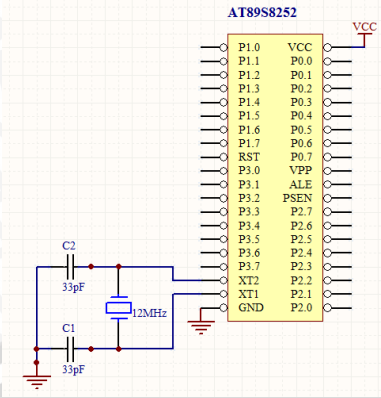


Gambar 4.6 Rangkaian Mikrokontroler AT89S8252

#### 4.4.3.1 Perancangan Rangkaian Osilator

Osilator internal mikrokontroler AT89S8252 dapat dibangkitkan dengan menggunakan kristal sebagai pembangkit pulsa dimana besarnya kristal yang diizinkan sebesar 3 - 24 MHz.(AtmelAT89S8252, 2003: 28). Dalam perancangan digunakan kristal sebesar 11.0592 MHz, sehingga kecepatan pelaksanaan instruksi per siklus sebesar  $1.085 \mu s$  ( $(1/11.0592 \text{ MHz}) \times 12$  siklus periode). Rangkaian osilator ditunjukkan dalam Gambar 4.5. Kristal dihubungkan ke pin 18 ( $X_2$ ) dan 19 ( $X_1$ ) pada mikrokontroler AT89S8252 dengan menambahkan  $C_1$  dan  $C_2$  sebesar 33 pF. Besarnya kapasitansi  $C_1$  dan  $C_2$  disesuaikan dengan spesifikasi dalam lembar *datasheet* AT89S8252 yaitu  $30 \text{ pF} \pm 10 \text{ pF}$ . (AtmelAT89S8252, 2003: 21).Perancangan rangkaian osilator dapat dilihat dalam Gambar 4.7.

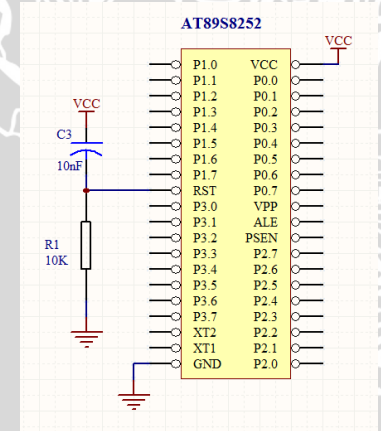




Gambar 4.7 Rangkaian Osilator AT89S8252

#### 4.4.3.2 Perancangan Rangkaian Reset

Dalam rangkaian mikrokontroler diperlukan rangkaian *reset*. Untuk mereset mikrokontroler AT89S8252, pin RST harus diberi logika tinggi selama sekurangnya dua siklus mesin (24 periode osilator). Untuk membangkitkan sinyal *reset*, sebuah kapasitor dihubungkan dengan VCC dan sebuah resistor dihubungkan ke ground. Rangkaian *reset* ditunjukkan dalam Gambar 4.8.



Gambar 4.8. Gambar Rangkaian *Reset* AT89S8252

Jika kristal yang digunakan dalam rangkaian osilator adalah 11,0592 MHz, maka satu periode waktu adalah:

$$T = \frac{1}{f_{XTAL}}$$

$$T = \frac{1}{11.0592 \times 10^6} = 9,0424 \times 10^{-8} \text{ s}$$



Karena untuk *reset* mikrokontroler AT89S8252 pin RST harus diberi logika tinggi selama dua siklus mesin, maka waktu yang dibutuhkan adalah:

$$\begin{aligned} t_{\text{reset(minimal)}} &= T \times \text{periode yang dibutuhkan} \\ &= 9,0424 \times 10^{-8} \times (2 \times 12) \\ &= 2,170 \cdot 10^{-6} \text{ s} (2,170 \mu\text{s}) \end{aligned}$$

Berdasarkan perhitungan di atas maka mikrokontroler membutuhkan waktu minimal 2,170 ns untuk *mereset*. Waktu minimal ini dijadikan pedoman untuk menentukan nilai R dan C. Nilai R menurut *data sheet* (AtmelAT89S8252, 2003: 31) adalah minimal 50 kΩ dan maksimal 300 kΩ. Jika nilai  $R_{\text{minimal}}$  yang digunakan sebesar 50 kΩ, maka berdasarkan persamaan (2.4) nilai C adalah:

$$\begin{aligned} t &= 0,357 \bullet R \bullet C \\ 2,170 \times 10^{-6} &= 0,357 \bullet 50 \times 10^3 \bullet C \\ C &= \frac{2,170 \times 10^{-6}}{0,357 \bullet 50 \times 10^3} = 1,215^{-10} \approx 0.1 \text{nF} \end{aligned}$$

Jadi dengan nilai  $R=50 \text{ K}\Omega$ , maka nilai C minimal yang digunakan adalah 0,1 nF untuk memenuhi syarat waktu *reset* minimal mikrokontroler sebesar  $2,170 \cdot 10^{-6} \text{ s}$  sekon. Pada perancangan ini dipilih nilai komponen  $C = 0,1 \text{ nF}$  nilai resistor yang dapat memenuhi syarat

#### 4.4.4 Perancangan Antarmuka Keypad

Dalam perancangan ini keypad berfungsi sebagai media untuk memasukkan *password* dan nomor HP tujuan pengiriman SMS yang akan ditampilkan pada layar LCD. Keypad yang digunakan adalah keypad matrik  $3 \times 4$ , keypad matrik ini bekerja menggunakan metode *scanning* pada lajur kolom dan lajur baris. Jika terdeteksi adanya persambungan antara baris dan kolom yang valid, maka mikrokontroler akan mengkodekan baris dan kolom yang aktif menjadi data *biner*. Apabila ada yang sesuai, maka mikrokontroler akan melakukan instruksi sesuai dengan data yang dimasukkan dari keypad. Data spifikasi dari keypad ditunjukkan dalam Gambar 4.9 dan Tabel 4.1



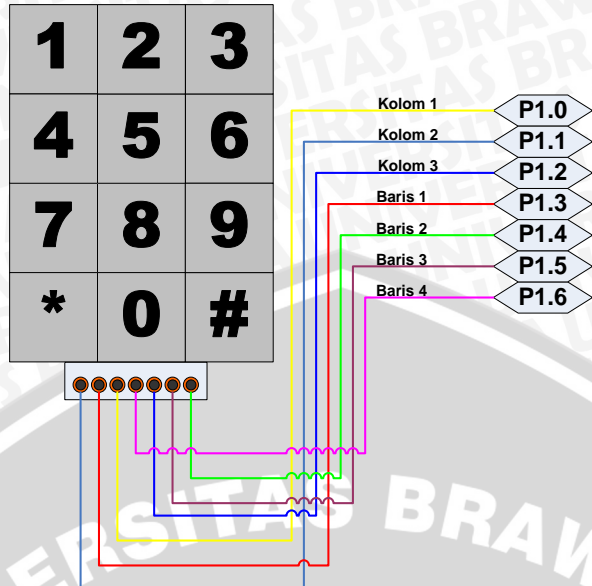
Pin	Matrik
1	kolom 2
2	baris 1
3	kolom 1
4	baris 4
5	kolom 3
6	baris 3
7	baris 2

Gambar 4.9 Urutan Pin Pada Keypad 3x4 Untuk Data Tabel 4.1

Tabel 4.1 Keterangan Output Pin Keypad

Nomor	Output Pin
1	2-3
2	1-2
3	2-5
4	3-7
5	1-7
6	5-7
7	3-6
8	1-6
9	5-6
0	1-4
*	3-4
#	4-5

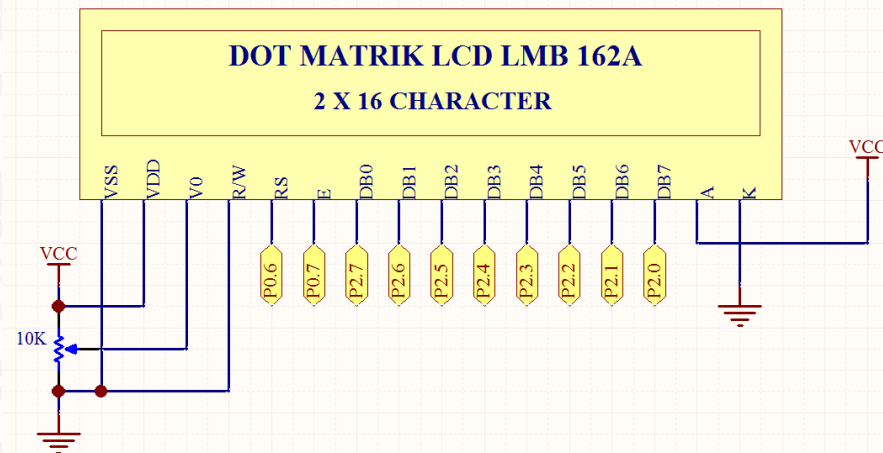
Berpedoman dari data diatas dapat dirancang rangkaian antarmuka *keypad* yang ditunjukkan dalam Gambar 4.10



Gambar 4.10 Rangkaian Antarmuka Keypad

#### 4.4.5 Perancangan Antarmuka Modul LCD

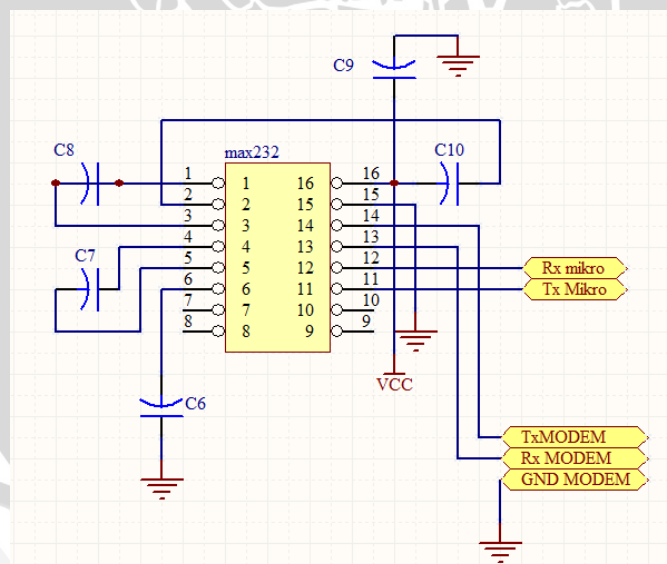
Penggunaan LCD dalam perancangan ini untuk menampilkan menu, nomor HP tujuan pengiriman SMS serta jenis gangguan yang terjadi. LCD yang digunakan adalah LCD dengan tipe LMB 162A ( $16 \times 2$ ). Bus data LCD (DB0-DB7) terhubung dengan port 0 mikrokontroler (P2.0-P2.7). LCD dioperasikan untuk menerima data, maka pin R/W dihubungkan dengan *ground*. Sedangkan pin RS dihubungkan dengan port 0.6 mikrokontroler dan pin E LCD dihubungkan ke port 0.7 mikrokontroler. Pengaturan tingkat kecerahan LCD dilakukan dengan mengubah resistor variabel  $10\text{ K}\Omega$  pada pin Vo LCD, sedangkan untuk mencatut lampu latar LCD, pin 15 (anoda) LCD dihubungkan ke catu daya 5V dan pin 16 (katoda) LCD dihubungkan ke *ground*. Antarmuka modul LCD ditunjukkan dalam Gambar 4.11.



Gambar 4.11. Atarmuka Modul LCD LMB162A

#### 4.4.6 Perancangan Antarmuka Modem

Dalam perancangan ini Modem WAVECOM Fastrack-M1306B digunakan untuk mengirim SMS ke petugas lapang yang berwenang untuk melakukan peninjauan jaringan distribusi listrik. Untuk menghubungkan modem dengan mikrokontroller AT89S8252 dilakukan dengan menghubungkan pin Tx, Rx, *ground* MODEM ke pin Rx, Tx dan *ground* mikrokontroller AT89S8252 dengan perantara IC Max 232 yang ditunjukkan dalam Gambar 4.12.



Gambar 4.12 Antarmuka Mikrokontroler AT89S8252 dengan MODEM menggunakan RS232(IC MAX232)

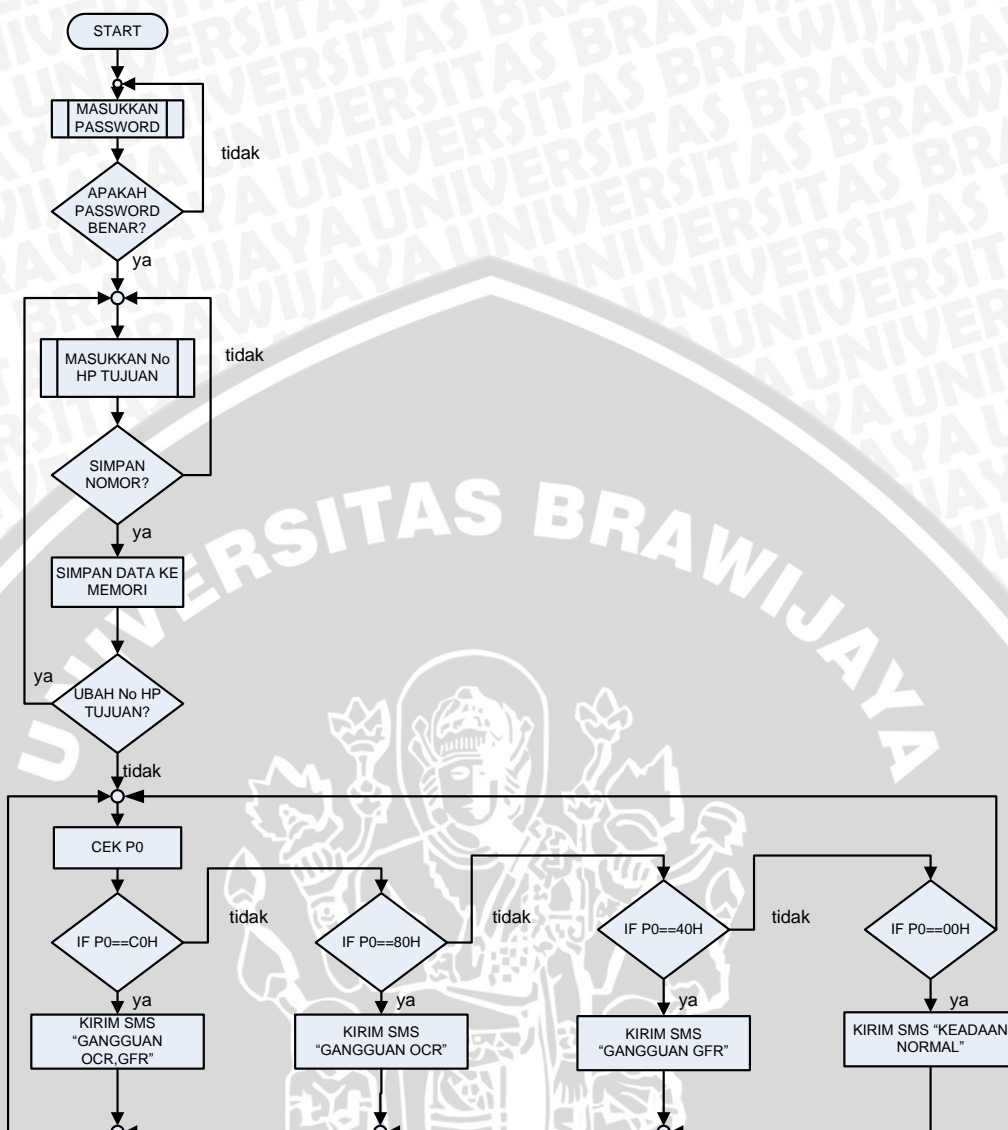
Dalam perancangan ini RS232 menggunakan IC MAX232, sehingga perlu menambahkan kapasitor pada pin 1,3,4,5,2 dan 16 sebesar  $1\mu\text{F}$  (MAXIM RS232 2010:17) sesuai dengan keterangan perancangan dalam *datasheet* IC MAX232.

#### 4.5 Perancangan Perangkat Lunak (*Software*)

Perangkat lunak yang dirancang dengan menggunakan bahasa *assembly* mikrokontroler MCS-51. Untuk memberikan gambaran umum jalannya program dan memudahkan pembuatan perangkat lunak, maka dibuat diagram alir yang menunjukkan jalannya program. Diagram alir program utama ditunjukkan dalam Gambar 4.13.

Ketika catu daya diaktifkan, mikrokontroler akan meminta user untuk memasukkan *password* yang ditampilkan pada layar LCD. Kemudian mikrokontroler melakukan *scan* keypad yaitu untuk mendeteksi *password* yang dimasukkan *user*. Jika *password* salah maka meminta *user* memasukkan *password* kembali, jika benar LCD akan menampilkan menu “Masukkan No HP”, *user* dapat memasukkan nomor HP tujuan pengiriman SMS melalui keypad (maksimal 2 nomor HP). Setelah nomor HP dimasukkan, *user* dapat menyimpannya dengan menekan tombol “#” akan nomor akan tersimpan dalam memori mikrokontroler sedangkan jika menekan tombol “\*” maka *user* diminta untuk memasukkan no HP yang baru. Apabila nomor HP sudah tersimpan maka mikrokontroler akan menunggu data dari P0, jika P0.0 berlogika 1 maka mikro akan mengirim SMS “OCR:ON”, jika P0.1 berlogika 1 mikrokontroler akan mengirim SMS “GFR:OFF”, jika P0.0 dan P0.1 berlogika 1 akan mengirim SMS “OCR:ON GFR:ON”, sedangkan P0.0 dan P0.1 berlogika 0 akan mengirim SMS “OCR:OFF GFR:OFF”.





Gambar 4.13 Diagram Alir Program

## BAB V

### PENGUJIAN DAN PEMBAHASAN

Bab ini akan dibahas tentang pengujian dan analisis alat yang telah dirancang dan direalisasikan. Pengujian dilakukan pada tiap-tiap blok dengan tujuan untuk mengamati dan memastikan setiap blok rangkaian bekerja sesuai perencanaan. Setelah tiap blok rangkaian berfungsi sesuai dengan perencanaan, dilanjutkan tahap pengujian sistem secara keseluruhan. Pengujian yang dilakukan meliputi pengujian simulator *overcurrent relay*, pengujian simulator *ground fault relay*, pengujian antarmuka rele, pengujian antarmuka *keypad*, pengujian antarmuka modul LCD, pengujian antarmuka modem dan pengujian sistem secara keseluruhan.

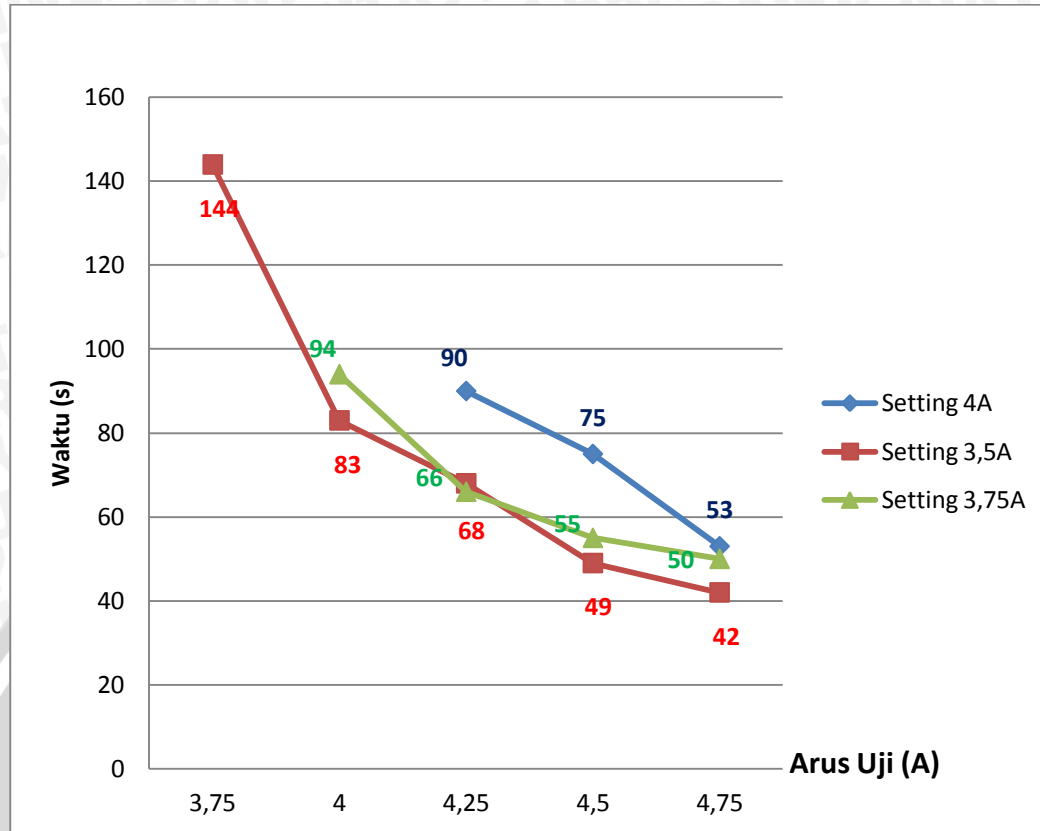
#### 5.1 Hasil Pengujian Simulator *Overcurrent Relay*

Data hasil uji simulator *overcurrent relay* ditunjukkan dalam Tabel 5.1 dan digambarkan dalam bentuk grafik yang ditunjukkan dalam Gambar 5.1.

Tabel 5.1 Hasil Uji Simulator *Overcurrent Relay*

Setting Rele (A)	Arus Uji Rele (A)	Waktu Trip (s)
3,5	3,75	144
	4	83
	4,25	68
	4,5	49
	4,75	42
	4	94
	4,25	66
	4,5	55
	4,75	50
	4,25	90
4	4,5	75
	4,75	53





Gambar 5.1 Grafik Hasil Uji Simulator *Overcurrent Relay*

Dari data pengujian dalam Tabel 5.1 dan Gambar 5.1 grafik hasil pengujian simulator *overcurrent relay* di atas dapat diketahui bahwa semakin besar selisih nilai arus uji terhadap nilai setting relay maka waktu trip atau waktu respon rele untuk membuka kontak bantu semakin cepat. Hal ini karena pada simulator *overcurrent relay* menggunakan rele MITSUBISHI TH-N12 yang menggunakan bimetal untuk merasakan perubahan arus. Arus yang mengalir pada konduktor bimetal dalam rele ini menimbulkan panas yang akan menyebabkan pelengkungan pada bimetal. Semakin besar arus yang mengalir semakin tinggi juga panas yang dihasilkan sehingga pelengkungan logam bimetal semakin cepat.

## 5.2 Hasil Pengujian Simulator *Ground Fault Relay*

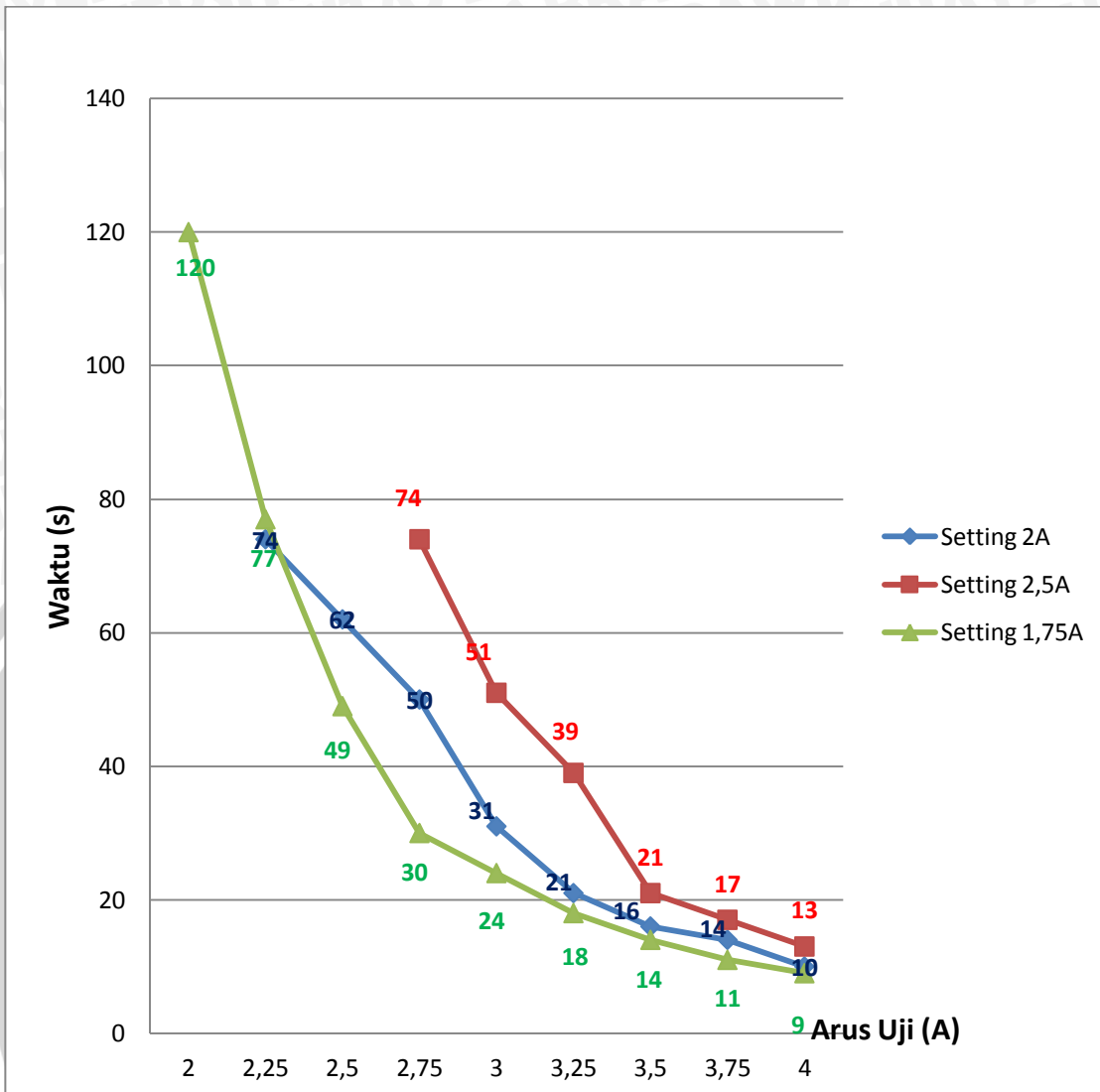
Hasil pengujian respon simulator *ground fault relay* yang dilakukan dengan mengubah nilai arus yang bekerja pada rele ditunjukkan dalam Tabel 5.2 dan digambarkan dalam bentuk grafik garis yang ditunjukkan dalam Gambar 5.2.

Tabel 5.2 Hasil Pengujian Simulator *Ground Fault Relay*

<b>Setting Rele (A)</b>	<b>Arus Uji Rele (A)</b>	<b>Waktu Trip (s)</b>
1,75	2	120
	2,25	77
	2,5	49
	2,75	30
	3	24
	3,25	18
	3,5	14
	3,75	11
	4	9
	2,25	74
2	2,5	62
	2,75	51
	3	31
	3,25	21
	3,5	16
	3,75	14
	4	10
	2,75	74
	3	51
	3,25	39
2,5	3,5	21
	3,75	17
	4	13
	2,75	74
	3	51

Dari data pengujian dalam Tabel 5.2 dan Gambar 5.2 grafik hasil pengujian simulator *ground fault relay* di atas dapat diketahui bahwa semakin besar selisih nilai arus uji terhadap nilai setting relay maka waktu trip atau waktu respon rele untuk membuka kontak bantu semakin cepat. Hal ini karena pada simulator *overcurrent relay* menggunakan rele MITSUBISHI TH-N12 yang menggunakan bimetal untuk merasakan perubahan arus. Arus yang mengalir pada konduktor bimetal dalam rele ini menimbulkan panas yang akan menyebabkan pelengkungan pada bimetal. Semakin besar arus yang mengalir semakin tinggi juga panas yang dihasilkan sehingga pelengkungan logam bimetal semakin cepat.



Gambar 5.2 Grafik Pengujian Simulator *Ground Fault Relay*

### 5.3 Hasil Pengujian Antarmuka Keypad

Hasil pengujian kombinasi output logika *keypad* yang berupa kombinasi nyala LED ditunjukkan dalam Tabel 5.3. Sedangkan pengujian keberhasilan *keypad* sebagai media input data ke mikrokontroler yang kemudian ditampilkan pada layar LCD ditunjukkan dalam Gambar 5.4.

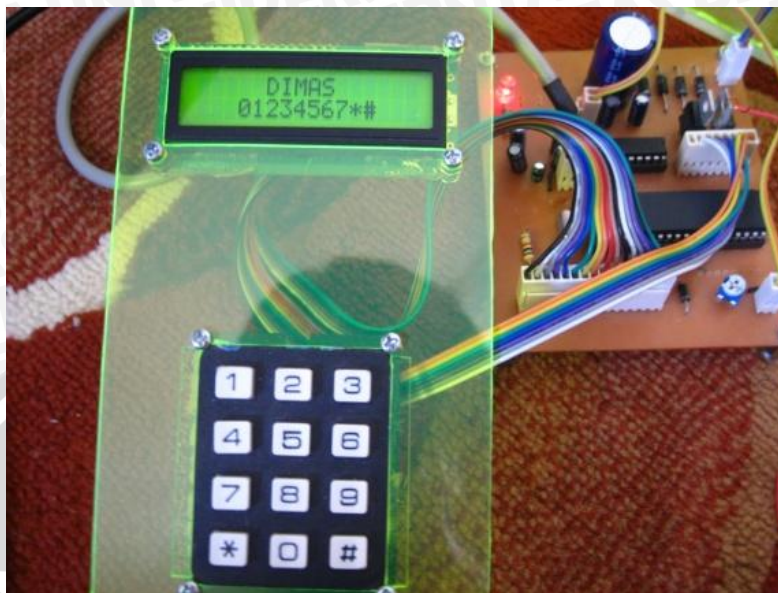
Tabel 5.3 Data Hasil Pengujian Kombinasi Keluaran Logika *Keypad*

<b>Tombol <i>Keypad</i></b>	<b>LED1</b>	<b>LED2</b>	<b>LED3</b>	<b>LED4</b>	<b>LED5</b>	<b>LED6</b>	<b>LED7</b>
1	1	0	0	1	0	0	0
2	0	1	0	1	0	0	0
3	0	0	1	1	0	0	0
4	1	0	0	0	1	0	0
5	0	1	0	0	1	0	0
6	0	0	1	0	1	0	0
7	1	0	0	0	0	1	0
8	0	1	0	0	0	1	0
9	0	0	1	0	0	1	0
0	0	1	0	0	0	0	1
*	1	0	0	0	0	0	1
#	0	0	1	0	0	0	1

Keterangan : 1=LED ON ; 0=LED OFF

Dari data hasil pengujian di atas dapat diketahui bahwa hasil penekanan tombol *keypad* memiliki kombinasi output yang sesuai dengan perencanaan, yaitu nyala LED sesuai dengan urutan kolom 1, kolom 2, kolom 3, baris 1, baris 2, baris 3, baris 4. Urutan kolom dan baris ini bertujuan mempermudah pemrograman mikrokontroler untuk menampilkan hasil penekanan tombol pada *keypad* ke layar LCD. Dengan diketahui kombinasi output logika *keypad* sudah benar, *keypad* ini dihubungkan dengan mikrokontroler yang telah terisi program untuk menampilkan hasil penekanan tombol *keypad* ke LCD. Pengujian dilakukan dengan menekan tombol 01234567\*# *keypad*, kemudian mengamatai karakter yang ditampilkan pada layar LCD. Hasil pengujian ini ditunjukkan dalam Gambar 5.4. Dari tampilan karakter pada layar LCD Gambar 5.4 dapat disimpulkan bahwa antarmuka *keypad* dengan mikrokontroler bekerja dengan baik. Hal ini dapat diketahui ketika tombol *keypad* ditekan, maka LCD juga akan menampilkan

karakter yang sesuai dengan karakter pada tombol *keypad*, yaitu karakter 01234567\*#.



Gambar 5.4 Foto Hasil Pengujian *Keypad*

#### 5.4 Hasil Pengujian Antarmuka Modul LCD

Pengujian antarmuka LCD yang dilakukan dengan memprogram mikrokontroler untuk menampilkan beberapa karakter yaitu “DIMAS BRAWIJAYA MALANG” ditunjukkan dalam Gambar 5.5



Gambar 5.5 Foto Hasil Pengujian Antarmuka LCD

Dari Gambar 5.5 dapat disimpulkan bahwa mikrokontroler dapat mengirimkan data ke LCD dan LCD dapat menampilkan data/karakter yang

dikirimkan mikrokontroler dengan baik. Hal ini dapat diketahui dari layar LCD yang dapat menampilkan karakter “DIMAS BRAWIJAYA MALANG”. LCD ini adalah jenis 16x2, yaitu layar memiliki 2 baris tampilan dan tiap baris dapat menampilkan 16 karakter. Pada baris pertama ditampilkan karakter “DIMAS” sedangkan baris kedua menampilkan karakter “BRAWIJAYA MALANG”. Jumlah karakter pada baris kedua adalah 15 karakter ditambah satu spasi sehingga jumlah keseluruhan adalah 16 karakter.

### 5.5 Hasil Pengujian Antarmuka Modem

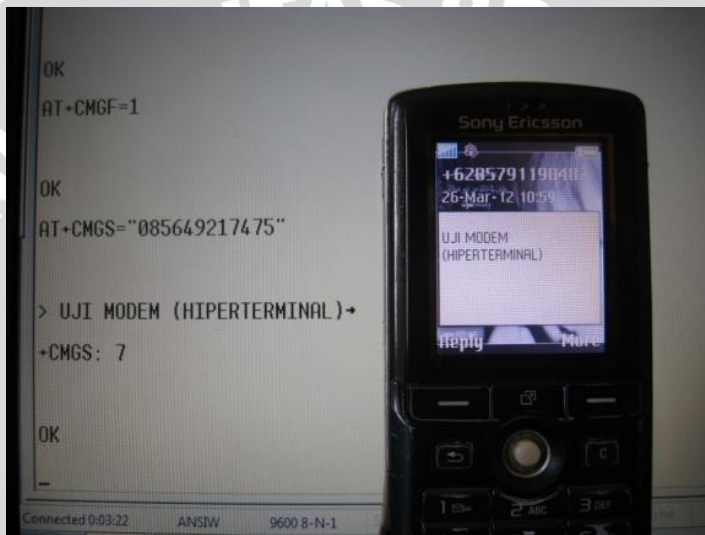
Hasil pengujian antarmuka Modem WAVECOM dengan perangkat komputer menggunakan aplikasi *hyperterminal* untuk mengetahui respons modem terhadap beberapa nilai *baudrate* ditunjukkan dalam Tabel 5.4.

Tabel 5.4. Pengujian Respon Modem WAVECOM terhadap instruksi AT-

*Command* dengan Beberapa Nilai *Baudrate* Berbeda

Instruksi <i>AT- Command</i>	Keterangan	Respons Modem Dengan <i>Baudrate</i>			
		4800	9600	19200	115200
AT	Mengetahui respon modem terhadap instruksi AT	-	OK	-	-
AT+CGMF =?	Mengetahui format pengiriman SMS yang dimiliki modem( 0=PDU mode, 1=Text mode)	-	+CMGF: (0,1)	-	-
AT+CGMI	Mengetahui nama produk modem	-	WAVECOM MODEM	-	-
AT+CGMM	Mengetahui frekuensi yang digunakan modem	MULTIBAND	900E 1800	-	-
AT+CGSN	Mengetahui <i>serial number/International Mobile Equipment Identity (IMEI)</i> modem	-	012345678901234	-	-

Dari Tabel 5.4 dapat diketahui bahwa modem tidak merespon instruksi AT-*Command* yang diberikan melalui program aplikasi *hyperterminal* yang menggunakan *baudrate* 4800,19200,115200. Sebaliknya, ketika nilai *baudrate* yang digunakan 9600, modem merespon beberapa instruksi AT-*Command* yang diberikan, seperti tercatat dalam Tabel 5.4. Dari pengujian ini dapat disimpulkan bahwa modem dapat merespon instruksi AT-*Command* dengan menggunakan *baudrate* 9600. Pada Gambar 5.6 menunjukkan hasil pengiriman SMS menggunakan modem WAVECOM yang diuji dengan menggunakan aplikasi *hyperterminal*.



Gambar 5.6 Foto Hasil Pengujian Antarmuka Modem Wavecom

Dari Gambar 5.6 dapat diketahui bahwa modem WAVECOM dapat digunakan sebagai media untuk mengirim SMS. Instruksi untuk pengiriman SMS menggunakan instruksi AT-*Command*. Karakter yang dikirimkan melalui SMS adalah "UJI MODEM(HIPER TERMINAL)" dan dapat diterima oleh HP tujuan dengan isi karakter pesan yang sama yaitu "UJI MODEM(HIPER TERMINAL)". Dari pengujian ini dapat disimpulkan bahwa modem dapat berkomunikasi dengan perangkat komputer dan dapat merespon instruksi AT Command untuk mengirimkan SMS ke *handphone* dengan baik jika menggunakan nilai *baudrate* 9600.

## 5.6 Pengujian Sistem Secara Keseluruhan

Hasil pengujian secara keseluruhan untuk mengetahui rata-rata kecepatan alat dalam mengirimkan informasi berupa SMS ke beberapa nomor tujuan ketika terjadi trip karena OCR dan atau GFR ditunjukkan dalam Gambar 5.7 dan Tabel 5.5



Gambar 5.7 Hasil Pengiriman SMS Informasi Trip OCR-GFR

Tabel 5.5 Hasil Pengujian Rata-Rata Kecepatan Pengiriman SMS

(Provider Kartu INDOSAT)

No	OCR	GFR	Waktu (sekon)
1	1		15
2	1		13
3	1		13
4	1		20
5	1		14
6		1	15
7		1	13
8		1	13
9		1	12
10		1	15
11	1	1	15
12	1	1	14
13	1	1	14
14	1	1	14
15	1	1	12
Rata-rata			14,133

Keterangan : 1=Trip

Pengujian pengiriman SMS dilakukan menggunakan kartu INDOSAT IM3 sebagai pengirim SMS, dan dua nomor tujuan pengiriman SMS menggunakan kartu INDOSAT IM3. Dari data pengujian pengiriman SMS dalam Tabel 5.5 dapat diketahui kecepatan rata-rata alat dalam mengirimkan SMS adalah 14,33 sekon dan informasi ini akan diterima ponsel nomor tujuan selama masih dalam jaringan kartu *provider* yang digunakan.



### 6.1 Kesimpulan

Berdasarkan pengujian yang telah dilakukan baik pengujian per blok rangkaian maupun pengujian sistem secara keseluruhan dapat diambil kesimpulan sebagai berikut:

- 1) Simulator sistem proteksi *overcurrent* dan *ground fault* terdiri atas dua buah rele dengan karakteristik arus berbanding terbalik dengan waktu (invers). Untuk mendapatkan arus uji rele, perangkat simulator dihubungkan antar phasa dengan beban *rheostat* dan sumber tiga phasa. Ketika arus uji lebih besar dari arus setting rele *auxxiliary contact* akan bekerja dan mengeluarkan sinyal output biner.
- 2) Perancangan sistem komunikasi jarak jauh menggunakan modem WAVECOM tipe M1306B yang *compatible* dengan instruksi AT Command dengan memanfaatkan sinyal keluaran dari *auxxiliary contact* simulator rele proteksi yang diolah dan dikontrol oleh mikrokontroler AT89S8252
- 3) Respon waktu total dari sistem informasi gangguan *overcurrent* dan *ground fault* adalah jumlah dari waktu tunda perangkat simulator ketika terjadi gangguan dijumlah dengan waktu yang dibutuhkan untuk mengirim informasi kepada petugas yang berwenang. Waktu tunda rata-rata ketika terjadi gangguan *overcurrent* dengan arus uji rele 3,75 ampere dan arus setting 3,5 ampere adalah 158,33 sekon dan arus uji rele 4,75 ampere dan arus setting 4 ampere adalah 67,33 sekon. Waktu tunda rata-rata ketika terjadi gangguan *ground fault* dengan arus uji rele 2 ampere dan arus setting 1,75 ampere adalah 134,33 sekon dan arus uji rele 4 Ampere dan arus setting 2,5 ampere adalah 27,33 sekon. Waktu rata-rata untuk pengiriman informasi adalah 14,33 sekon



## 6.2 Saran

Dalam pengembangan alat lebih lanjut perlu diperhatikan hal-hal sebagai berikut:

- 1) Sebaiknya rele yang digunakan dalam simulator *overcurrent* dan *ground fault* memiliki sensitivitas yang tinggi terhadap perubahan arus.
- 2) Untuk penelitian selanjutnya dapat ditambahkan pengiriman informasi untuk jenis rele pengaman gangguan yang lain.
- 3) Jumlah kapasitas nomor HP yang dapat disimpan dalam memori alat perlu ditambah sehingga lebih banyak pihak dapat menerima informasi adanya gangguan.
- 4) Sistem deteksi gangguan dapat lebih dikembangkan untuk mendeteksi lokasi gangguan secara pasti
- 5) Desain kemasan dibuat lebih *portable*, sehingga memudahkan proses aplikasinya.



## DAFTAR PUSTAKA

- Anonymous, 1987, *Liquid Crystal Display Modul M1632 User's Manual*, Seiko Instruments Inc.
- Anonymous, "M1632 MODULE LCD 16X2 (M1632)", <http://www.delta-electronic.com> (diakses 1 September 2011)
- Arismunandar, Artono, Susumu Kuwahara. 1982. Buku Pegangan Teknik Tenaga Listrik, Jilid 2, Saluran Transmisi. Jakarta: PT Pradnya Paramita.
- Arismunandar, Artono, Susumu Kuwahara. Buku Pegangan Teknik Tenaga Listrik, Jilid 3, Gardu Induk. Cetakan Keenam. Jakarta: PT Pradnya Paramita.
- Atmel. 2001. "Datasheet 8-bit Mikrokontroler With 8K Byte AT89S52". Atmel Inc. <http://www.atmel.com>. (diakses 10 Agustus 2011)
- Ayala, Kenneth J. 1991. *The 8051 Microcontroller: Architecture, Programming, and Application*. St. Paul: West Publishing Company.
- Hutauruk, T.S. 1987. Pengetahuan Netral Sistem Tenaga dan Pengentahanan Peralatan. Jakarta: Penerbit Erlangga.
- Malvino, Albert Paul. 1987. *Prinsip-Prinsip Elektronika*, Jilid 2, Cetakan Ketiga, terjemahan M. Barmawi, M.O Tjia. Jakarta: Erlangga.
- Nalwan, Paulus Andi. 2003. *Teknik Antarmuka dan Pemrograman Mikrokontroler AT89S51*. Jakarta: Elex Media Komputindo.
- Pabla, A S. 1994. Sistem Distribusi Daya Listrik, terjemahan Abdul Hadi. Jakarta: Penerbit Erlangga.



**A. PERANGKAT KERAS**

Skema Rangkaian Keseluruhan

Skema Simulator *Overcurrent Relay Dan Ground Fault Relay*

Perancangan Mekanik Tampak Atas

Perancangan Mekanik Tampak Samping

**B. LISTING PROGRAM**

**C. FOTO ALAT**

**D. DATA SHEET**

Mikrokontroler AT89S8252

LCD LMB162A

MAX 232

Keypad

Modem WAVECOM



## A. PERANGKAT KERAS

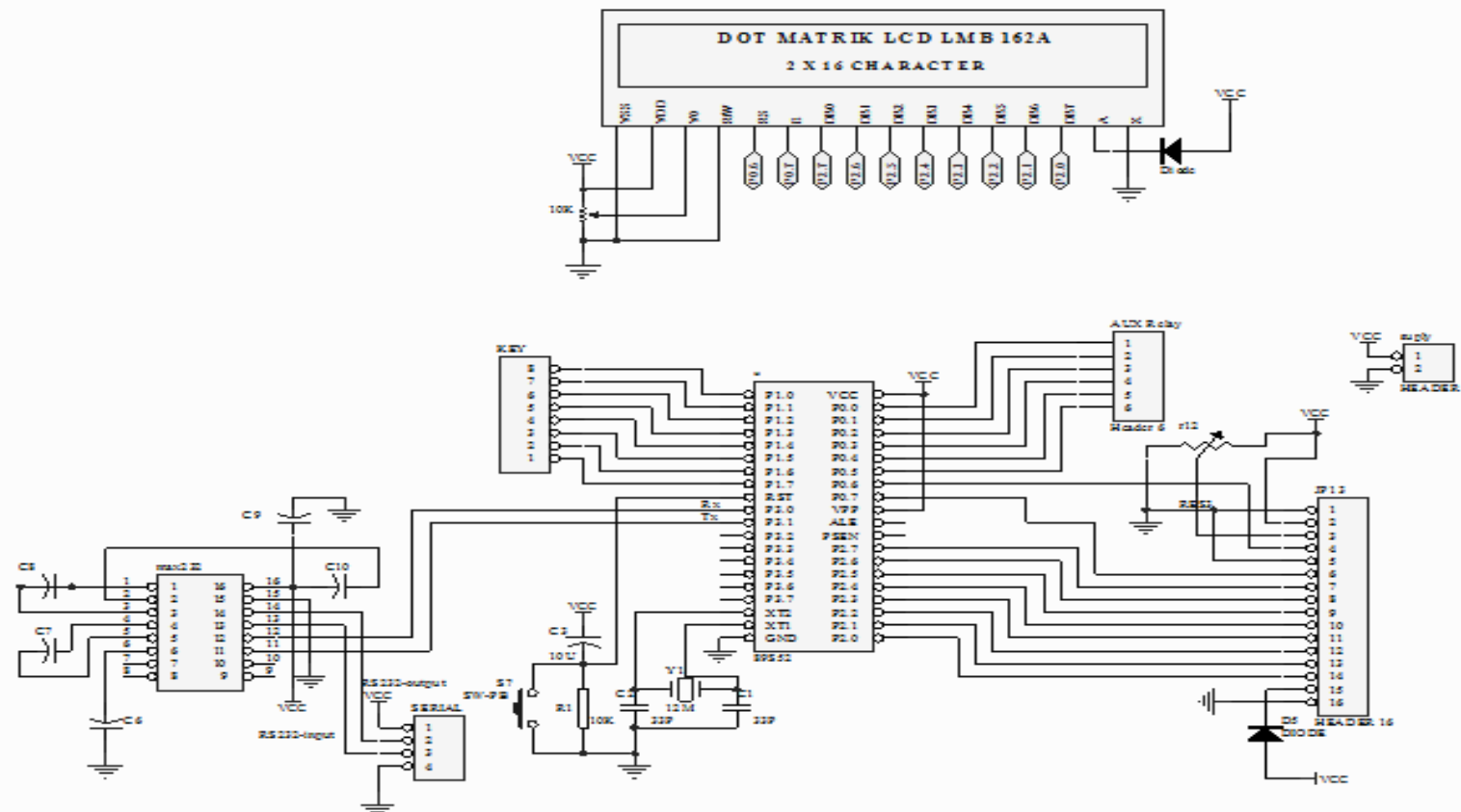
Skema Rangkaian Keseluruhan

Skema Simulator *Overcurrent Relay Dan Ground Fault Relay*

Perancangan Mekanik Tampak Atas

Perancangan Mekanik Tampak Samping

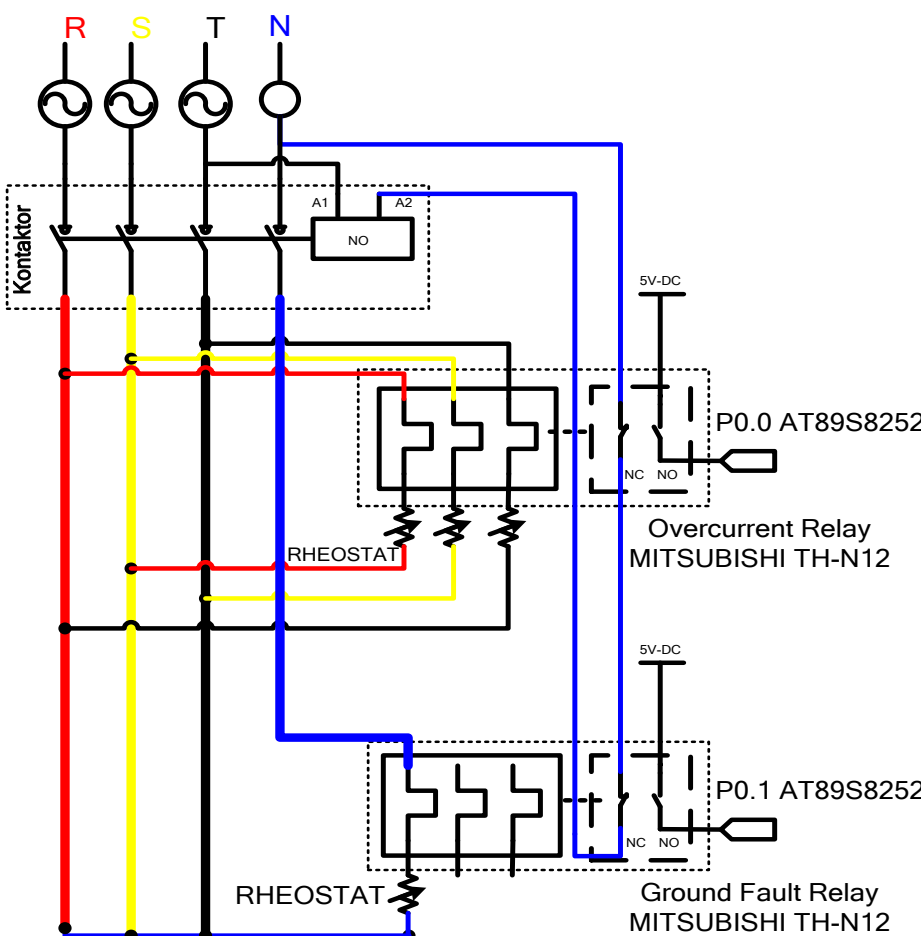




SKEMA RANGKAIAN KESELURUHAN

2012

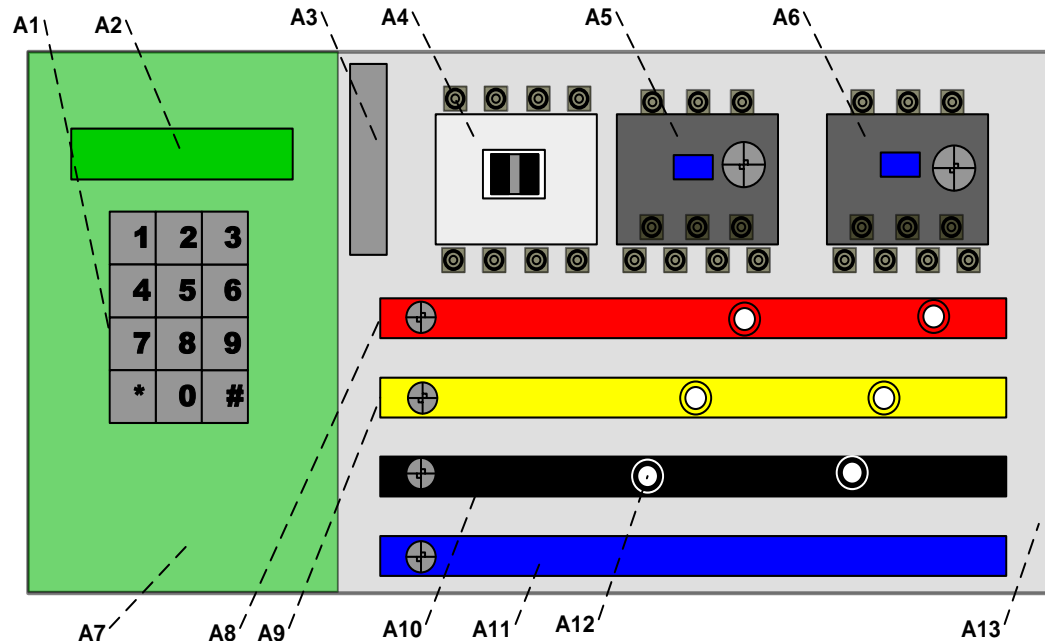
0001



SKEMA SIMULATOR OVERCURRENT RELAY DAN GROUND FAULT RELAY

2012

0002

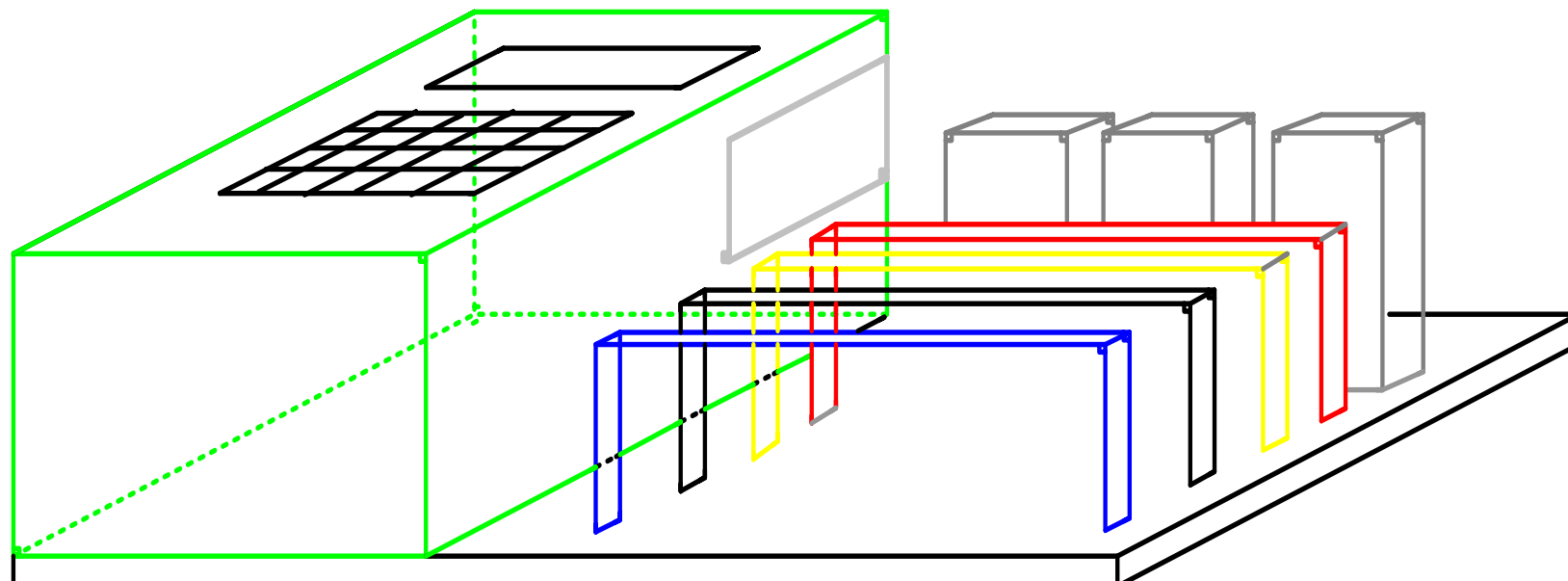


- A1 : KEYPAD 3X4
- A2 : LCD 2X16
- A3 : MODEM (WAVECOM M1306B)
- A4 : KONTAKTOR  
MITSUBISHI S-N
- A5 : OVERCURRENT RELAY  
MITSUBISHI TH-N12
- A6 : GROUND FAULT RELAY  
MITSUBISHI TH-N12
- A7 : KOTAK KONTROL
- A8 : KONEKTOR PHASE R
- A9 : KONEKTOR PHASE S
- A10 : KONEKTOR PHASE T
- A11 : KONEKTOR NETRAL
- A12 : JACK BANANA FEMALE
- A13 : ALAS PENYANGGA SIMULATOR

PERANCANGAN MEKANIK TAMPAK ATAS

2012

0003



## B. LISTING PROGRAM



UNIVERSITAS BRAWIJAYA



```
;-----  
; PROGRAM UNTUK MENGIRIM DATA LEWAT SERIAL  
; COMM. DENGAN BAUD RATE 9600 BPS  
; X-TAL = 11.0592 MHZ  
;-----
```

```
EEMEN      Equ 00001000B  
EEMWE     Equ 00010000B  
WDTRST    Equ 00000010B
```

```
WMCON     EQU 96H  
ADDRESS1   EQU 0100H  
ADDRESS2   EQU 0200H
```

```
PASS0      EQU 20H  
PASS1      EQU 21H  
PASS2      EQU 22H  
PASS3      EQU 23H  
PASS4      EQU 24H  
PASS5      EQU 25H  
PASS6      EQU 26H  
PASS7      EQU 27H
```

```
BUFF_LCD   EQU 28H  
BUFF_DATA EQU 29H  
BUFF_OCR   EQU 2AH  
BUFF_GFR   EQU 2BH  
BUFF_OCGFRA EQU 2CH  
BUFF_OCGFRB EQU 2DH  
BUFF_C     EQU 2EH
```

```
OCR        BIT P0.0  
GFR        BIT P0.1
```

```
LCD_DATA  EQU P2  
LCD_RS    BIT P0.6  
LCD_E     BIT P0.7
```

```
KOLOM1    BIT P1.0 ; KIRI (1,4,7,REDIAL)  
KOLOM2    BIT P1.1  
KOLOM3    BIT P1.2  
BARIS1    BIT P1.3 ; ATAS (1,2,3)  
BARIS2    BIT P1.4  
BARIS3    BIT P1.5  
BARIS4    BIT P1.6
```

```
KEYDATA   EQU 70H  
KEYBOUNC EQU 71H  
KEYPORT   EQU P1  
BUFFER_TEKAN EQU 72H ;COUNTER PENEKANAN
```

```
                ORG 00H  
LJMP START
```

```
START:      ORG 100H  
                MOV SP,#2FH  
                CALL INIT_LCD  
                CALL INITSERIAL  
                CALL TIMER1S  
                CALL TIMER1S
```

```
*****  
;TAMPILAN AWAL  
*****
```

```
                MOV DPTR,#JUDUL  
                CALL DISP_2BARIS  
                CALL TIMER1S  
                CALL TIMER1S  
                CALL TIMER1S  
                CALL TIMER1S  
                CALL TIMER1S
```

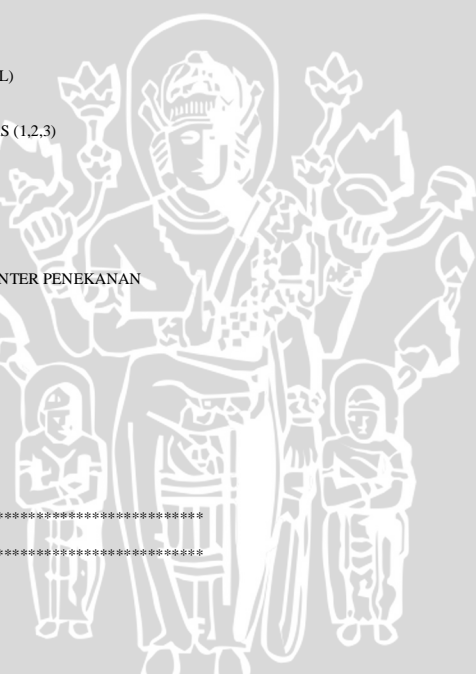
```
                MOV DPTR,#READ_SMS  
                ECOMAND_FORMAT  
                mov a,#13  
                call kirim  
                mov a,#10  
                call kirim
```

```
                CALL TIMER1S  
                CALL TIMER1S  
                CALL TIMER1S  
                CALL TIMER1S  
                CALL TIMER1S
```

```
BACK_MENU:  MOV DPTR,#MENU  
                CALL DISP_2BARIS  
                ;CALL TIMER1S
```

```
MENU2:      CLR RI  
                CLR A  
                CALL SCAN_KEYPAD  
                MOV A,KEYDATA  
                CJNE A,#01H, MENU1  
                SJMP MASUKAN_HP
```

```
MENU1:
```



```

CINE    A.#02H,MENU3
LJMP    MENU_MONITOR
SJMP    MENU2

MENU3:
JNB    RI,MENU2
CLR    RI
CALL   ADA_SMS1
CALL   TIMER1S
CALL   TIMER1S
CALL   TIMER1S
CALL   TIMER1S
CALL   TIMER1S
LJMP    MENU_MONITOR

MASUKAN_HP:
MOV    DPTR,#TEXT1
CALL   DISP_2BARIS
CALL   TIMER1S
CALL   PWSTART
CALL   NEXT_HP1
SJMP    BACK_MENU

MENU_MONITOR:
MOV    BUFF_OCR,#'0'
MOV    BUFF_GFR,#'0'
MOV    BUFF_OCGFRA,#0
MOV    BUFF_OCGFRB,#0

MONITORING:
CLR    RI
CLR    A
MOV    A,P0
MOV    BUFF_OCGFRA,A
CALL   IN_OCR
CALL   IN_GFR
CALL   MONITOR
CLR    A
MOV    A,BUFF_OCR
CJNE  A,#'0',INFO1
CLR    A
MOV    A,BUFF_GFR
CJNE  A,#'0',INFO1

MEMONITOR:
JNB    RI,MENMONITOR
CLR    RI
CALL   ADA_SMS1
CALL   TIMER1S
SJMP    MONITORING

MENMONITOR:
CLR    RI
CLR    A
MOV    A,P0
ANL    A,#03H
CJNE  A,#00,MONITORING
SJMP    MEMONITOR

INFO1:
MOV    R7,#60
CALL   IN_OCR
CALL   IN_GFR
CALL   MONITOR
CALL   INFO

INFO2:
CALL   TIMER1S
CALL   TIMER1S
CALL   TIMER1S
CALL   TIMER1S
CALL   TIMER1S
DJNZ  R7,MENTS
SJMP    INFO1

MENTS:
CLR    A
MOV    A,P0
ANL    A,#03H
CJNE  A,#00h,INFO2
CALL   IN_OCR_0
CALL   IN_GFR_0
CALL   MONITOR
CALL   INFO
CALL   TIMER1S
CALL   TIMER1S
CALL   TIMER1S
CALL   TIMER1S
CALL   TIMER1S
LJMP    MONITORING

;ROUTIN PENGIRIMAN INFORMASI TRIP VIA SMS

INFO:
CALL   CEK_AT
MOV    DPTR,#SEND_SMS
CALL   Ecomand_format
MOV    DPTR,#ADDRESS1
CALL   ECOMAND_SMS
CALL   Kirim_HP
CALL   CEK_AT
MOV    DPTR,#SEND_SMS
CALL   Ecomand_format
MOV    DPTR,#ADDRESS2
CALL   ECOMAND_SMS

```

```

CALL    Kirim_HP
RET

;TERIMA SMS BARU
ADA_SMS1:
CALL    TERIMA
CINE   A.#"*,ADA_SMS1
MOV    R1,#50H
MOV    @R1,A
INC    R1
ADA_SMS2: CLR
A
CALL    TERIMA
CINE   A.#"*,ADA_SMS3
MOV    @R1,A
SJMP   ADA_SMS4
ADA_SMS3:
MOV    @R1,A
INC    R1
SJMP   ADA_SMS2
ADA_SMS4:
CALL    DELAY
CALL    DELAY
CALL    DELAY
CALL    DELAY
MOV    R1,#50H
CLR
MOV    A,@R1
CALL    KIRIM
CALL    DELAY
ADA_SMS5:
CLR    A
INC    R1
MOV    A,@R1
CALL    KIRIM
CALL    DELAY
CINE   A.#"*,ADA_SMS5
MOV    DPTR,#READ_SMS
CALL    ECOMAND_FORMAT
mov   a,#13
call   kirim
mov   a,#10
call   kirim
CLR
CALL    ADA_SMS
TEST_EEP:
CLR    A
MOV    DPTR,#ADDRESS1
CALL   Read EEPROM
NO_TELP:
CALL    KIRIM
CALL    DELAY
CLR
INC    A
DPTR
CALL    READ EEPROM
CINE   A.#"*,NO_TELP
CALL    KIRIM
CALL    DELAY
TEST_EEP2:
CLR    A
MOV    DPTR,#ADDRESS2
CALL   Read EEPROM
NO_TELP2:
CALL    KIRIM
CALL    DELAY
CLR
INC    A
DPTR
CALL    READ EEPROM
CINE   A.#"*,NO_TELP2
CALL    KIRIM
CALL    DELAY
RET
ADA_SMS:
MOV    DPTR,#ADDRESS1
MOV    R1,#52H
NOT_SMSA:
MOV    A,@R1
CINE   A.#'A',ADA_SMSA
MOV    A.#"*
CALL    SAVE_NO
SJMP   SMSB
ADA_SMSA:
CALL    SAVE_NO
SJMP   NOT_SMSA
SMSB:
MOV    DPTR,#ADDRESS2
INC    R1
NOT_SMSB:
MOV    A,@R1
CINE   A.#'B',ADA_SMSB
MOV    A.#"*
CALL    SAVE_NO
RET
ADA_SMSB:
CALL    SAVE_NO
SJMP   NOT_SMSB
SAVE_NO:

```

```

CALL      Write_EEPROM
CALL      DELAY
INC       DPTR
INC       R1
RET

=====
:ROUTIN CEK KONTAK OCR / GFR
=====
IN_OCR_0:
IN_GFR_0: JB      P0.0,IN_GFR_0
            MOV    BUFF_OCR,#'0'
            MOV    A,P0
            MOV    BUFF_OCGFRB,A
            RET

IN_NORMAL_0:
IN_OCR:   JB      P0.1,IN_NORMAL_0
            MOV    BUFF_GFR,#'0'
            MOV    A,P0
            MOV    BUFF_OCGFRA,A
            RET

IN_GFR:   JNB    P0.0,IN_GFR
            MOV    BUFF_OCR,#'1'
            MOV    A,P0
            MOV    BUFF_OCGFRA,A
            RET

IN_NORMAL:
MONITOR:  RET

MONITOR1:
MONITOR1: CLR    A
            MOV    A,P0
            ANL    A,#03H
            CJNE   A,#03H,MONITOR1
            MOV    DPTR,#TEXT9
            CALL   DISP_2BARIS
            RET

MONITOR2:
MONITOR2: CLR    A
            MOV    A,P0
            ANL    A,#01H
            CJNE   A,#01H,MONITOR2
            MOV    DPTR,#TEXT10
            CALL   DISP_2BARIS
            RET

MONITOR3:
MONITOR3: CLR    A
            MOV    A,P0
            ANL    A,#02H
            CJNE   A,#02H,MONITOR3
            MOV    DPTR,#TEXT11
            CALL   DISP_2BARIS
            RET

MOV    DPTR,#TEXT12
CALL   DISP_2BARIS
RET

=====
:KIRIM HP
=====

CEK_AT:
        mov    a,#'a'
        call   kirim
        mov    a,'t'
        call   kirim
        mov    a,#'3
        call   kirim
        MOV    A,#10
        CALL   KIRIM

VV:    CALL   TERIMA
        CNE   A,#'K,VV
        RET

Kirim_HP:
WRT:
WRT:   CALL   TERIMA
        CNE   A,#'>,WRT
WRTI:
WRTI:  CALL   TERIMA
        CNE   A,#'<,WRTI

        MOV    A,#'O'
        CALL   KIRIM
        CALL   DELAY
        MOV    A,#'C'
        CALL   KIRIM
        CALL   DELAY

```

```

MOV    A.#'R'
CALL   KIRIM
CALL   DELAY
MOV    A.#
CALL   KIRIM
CALL   DELAY

CLR    A
MOV    A.BUFF_OCR
CJNE   A,#'I',KIRIM_OCR_0

MOV    A.#'O'
CALL   KIRIM
CALL   DELAY
MOV    A.#'N'
CALL   KIRIM
SJMP   KIRIM_OCR

KIRIM_OCR_0:
MOV    A.#'O'
CALL   KIRIM
CALL   DELAY
MOV    A.#'F'
CALL   KIRIM
CALL   DELAY
MOV    A.#'F'
CALL   KIRIM

KIRIM_OCR:
CALL   DELAY
mov   a,#13
call   kirim
MOV    A.#10
CALL   KIRIM

NEW_LINE:
CALL   TERIMA
CJNE   A.#>,'NEW_LINE'
MOV    A.#'G'
CALL   KIRIM
CALL   DELAY
MOV    A.#'F'
CALL   KIRIM
CALL   DELAY
MOV    A.#'R'
CALL   KIRIM
CALL   DELAY
MOV    A.#
CALL   KIRIM
CALL   DELAY
CLR    A
MOV    A.BUFF_GFR
CJNE   A,#'I',KIRIM_GFR_0
MOV    A.#'O'
CALL   KIRIM
CALL   DELAY
MOV    A.#'N'
CALL   KIRIM
SJMP   KIRIM_GFR

KIRIM_GFR_0:
MOV    A.#'O'
CALL   KIRIM
CALL   DELAY
MOV    A.#'F'
CALL   KIRIM
CALL   DELAY
MOV    A.#'F'
CALL   KIRIM

KIRIM_GFR:
CALL   DELAY
mov   a,#0lah
call   kirim

WRT2:
CALL   TERIMA
CJNE   A.#'K',WRT3
ret

WRT3:
CJNE   A.#'E',WRT2
TERIMA
CJNE   A.#'R',WRT5
TERIMA
CJNE   A.#'R',WRT5
LJMP   INFO

=====
;Subruthin kirim sms
=====

Ecomand_format:
CALL   DELAY
clr
movc  a,@a+dptr;
cjne  a,##*,Ekirim_format

```



```

ret

Ekirim_format:
    lcall    kirim
    inc      dptr
    lcall    delay
    sjmp   Ecomand_format

Ecomand_SMS:
    CALL    DELAY
    clr     a
    CALL    READ_EEPROM
    cjne   a,#"*,Ekirim_SMS
    MOV    A,#
    CALL    KIRIM

    mov     a,#13
    call    kirim
    mov     a,#10
    call    kirim
    ret

Ekirim_SMS:
    lcall    kirim
    inc      dptr
    lcall    delay
    sjmp   Ecomand_SMS

=====
; Subrutin kirim sms
=====

comand_format:
    CALL    DELAY
    clr     a
    movc   a,@a+dptr;
    cjne   a,#"*,kirim_format
    mov    a,#13
    call    kirim
    mov    a,#10
    call    kirim
    ret

kirim_format:
    lcall    kirim
    inc      dptr
    lcall    delay
    sjmp   comand_format

comand_SMS:
    CALL    DELAY
    clr     a
    movc   a,@a+dptr
    cjne   a,#"*,kirim_SMS
    mov    a,#13
    call    kirim
    mov    a,#10
    call    kirim
    ret

kirim_SMS:
    lcall    kirim
    inc      dptr
    lcall    delay
    sjmp   comand_SMS

*****
:NEXT NO HP
*****
NEXT_HP1:
    MOV    DPTR,#TEXT3
    CALL   DISP_2BARIS
    CALL   TIMER1S
    MOV    DPTR,#ADDRESS1
    MOV    BUFF_LCD,#0C0H
    MOV    A,BUFF_LCD
    MOV    BUFF_LCD,A
    MOV    R1,A
    CALL   WRITE_INST
    CALL   NEXT

NEXT_HP3:
    CJNE   A,#0EH,NEXT_HP2
    SJMP   NEXT_HP1

NEXT_HP2:
    CJNE   A,#0FH,NEXT_HP3
    A,#
    MOV    Write EEPROM
    CALL   DELAY

HP2_TEXT:
    MOV    DPTR,#TEXT4
    CALL   DISP_2BARIS
    CALL   TIMER1S
    CALL   TIMER1S
    CALL   TIMER1S

    MOV    BUFF_LCD,#0C0H
    MOV    DPTR,#ADDRESS2

```



```
MOV    A,BUFF_LCD
MOV    BUFF_LCD,A
MOV    R1,A
CALL   WRITE_INST
CALL   NEXT
NEXT_HP5: ;  
CJNE  A,#0EH,NEXT_HP4
LJMP   HP2_TEXT
NEXT_HP4: ;  
CJNE  A,#0FH,NEXT_HP5
MOV    A,#
CALL   Write EEPROM
CALL   DELAY
WT2: ;  
CALL   SCAN KEYPAD
MOV    A,KEYDATA
CJNE  A,#0FH,WT2
RET
NEXT: ;  
CALL   SCAN KEYPAD
MOV    A,KEYDATA
CJNE  A,#0EH,NEXT1
RET
NEXT1: ;  
MOV    A,KEYDATA
CJNE  A,#0FH,NEXT2
RET
NEXT2: ;  
CJNE  SJMP
A,0FFH,NEXT3
NEXT
NEXT3: ;  
MOV    A,KEYDATA
ADD   A,#
MOV    BUFF DATA,A
MOV    R1,A
CALL   WRITE DATA
MOV    A,BUFF DATA
CALL   Write EEPROM
CALL   DELAY
INC   DPTR
SJMP   NEXT
;*****:  
:START PASSWORD
;*****:  
PWSTART: ;  
MOV    DPTR, #TEXT2
CALL   DISP_2BARIS
CALL   TIMER1S
MOV    PASS0, '#'
MOV    PASS1, '#'
MOV    PASS2, '#'
R1, #80H
CALL   WRITE_INST
PW0: ;  
CALL   SCAN KEYPAD
MOV    A,KEYDATA
MOV    PASS0, KEYDATA
CJNE  A, #0FFH, PW1A
SJMP   PW0
PW1A: ;  
:ADD  A, #
:MOV  R1,A
MOV    R1, '#'
CALL   WRITE DATA
MOV    R1, #81H
CALL   WRITE_INST
CALL   SCAN KEYPAD
MOV    A,KEYDATA
MOV    PASS1, KEYDATA
CJNE  A, #0FFH, PW2A
SJMP   PW1
PW1: ;  
MOV    R1, '#'
CALL   WRITE DATA
R1, #82H
CALL   WRITE INST
CALL   SCAN KEYPAD
MOV    A,KEYDATA
MOV    PASS2, KEYDATA
CJNE  A, #0FFH, PW3A
SJMP   PW2
PW2: ;  
MOV    R1, '#'
CALL   WRITE DATA
R1, #82H
CALL   WRITE INST
CALL   SCAN KEYPAD
MOV    A,KEYDATA
MOV    PASS2, KEYDATA
CJNE  A, #0FFH, PW3A
SJMP   PW3
PW3: ;  
MOV    R1, '#'
CALL   WRITE DATA
```

```

PW3A:          SJMP    PW2
              MOV     R1,#'+'
              CALL    WRITE_DATA

PW:           CALL    SCAN_KEYPAD
              MOV     A,KEYDATA
              CJNE   A,#0EH,PW8
              LJMP   PWSTART

PW8:          CALL    SCAN_KEYPAD
              MOV     A,KEYDATA
              CJNE   A,#0FH,PW
              MOV     A,PASS0
              CJNE   A,#0H,CP
              MOV     A,PASS1
              CJNE   A,#1H,CP
              MOV     A,PASS2
              CJNE   A,#2H,CP
              ret

CP:           LJMP   PWSTART

;***** ; INISIALISASI SERIAL ;*****
;***** ; INITSERIAL: MOV PCON,#0 ;*****
INITSERIAL: MOV PCON,#0
              MOV TMOD,#21H      ; SET TIMER 1 MODE AUTO RELOAD
              MOV SCON,#50H      ; SET UNTUK SERIAL MODE 1
              MOV TL1,#0FDH      ; SET UNTUK BAUDRATE 19200
              MOV TH1,#0FDH      ; JALANKAN TIMER 1
              SETB  TR1          ; KEMBALI
              RET

;***** ; TRANSMIT DATA SERIAL ;*****
;***** ; KIRIM: MOV SBUF,A ;*****
KIRIM:         MOV SBUF,A      ; KIRIM DATA KE SBUF
              JNB  TL,$          ; MENUNGGU SAMPAI DATA SELESAI DIKIRIM
              CLR  TI             ; CLEAR INTERRUPT TRANSMIT
              RET

;***** ; AMBIL DATA SERIAL ;*****
;***** ; TERIMA: JNB RI,$ ;*****
TERIMA:        JNB  RI,$          ; MENUNGGU ADANYA DATA
TERIMA1:       MOV  A,SBUF        ; AMBIL DATA DARI SERIAL BUFFER
              CLR  RI             ; CLEAR RECEIVE INTERRUPT
TERIMA2:       JB   RI,TERIMA1   ; MENUNGGU ADANYA DATA
              MOV  A,#'X'
              RET

;===== ; ROUTINE U/ BACA KEYPAD 3X4 ;=====
; EXTERN INIT: - KEYPORT (8 BIT)
;               - KOLOM1 S/D 3
;               - BARIS1 S/D 4
; VAR:        - KEYDATA (0-9,A & F)

;===== ; SCAN_KEYPAD: ;=====
UL1:          MOV  KEYPORT,#0FFH
              CLR  KOLOM1
              JB   BARIS1,KEY1
              JNB  BARIS1,$
              MOV  KEYDATA,#1
              RET

KEY1:         JB   BARIS2,KEY2
              JNB  BARIS2,$
              MOV  KEYDATA,#4
              RET

KEY2:         JB   BARIS3,KEY3
              JNB  BARIS3,$
              MOV  KEYDATA,#7
              RET

KEY3:         JB   BARIS4,KEY4
              JNB  BARIS4,$
              MOV  KEYDATA,#0EH
              RET

KEY4:         SETB KOLOM1
              CLR  KOLOM2
              JB   BARIS1,KEY5
              JNB  BARIS1,$
              MOV  KEYDATA,#2
              RET

KEY5:         JB   BARIS2,KEY6
              JNB  BARIS2,$
              MOV  KEYDATA,#5
              RET

```

```

KEY6:   JB     BARIS3,KEY7
JNB    BARIS3,$
MOV    KEYDATA,#8
RET

KEY7:   JB     BARIS4,KEY8
JNB    BARIS4,$
MOV    KEYDATA,#0
RET

KEY8:   SETB   KOLOM2
CLR    KOLOM3
JB     BARIS1,KEY9
JNB    BARIS1,$
MOV    KEYDATA,#3
RET

KEY9:   JB     BARIS2,KEY10
JNB   BARIS2,$
MOV   KEYDATA,#6
RET

KEY10:  JB     BARIS3,KEY11
JNB   BARIS3,$
MOV   KEYDATA,#9
RET

KEY11:  JB     BARIS4,KEY12
JNB   BARIS4,$
MOV   KEYDATA,#0FF
RET

KEY12:  MOV    KEYDATA,#0FFF
RET

=====
; Subrutin Menyimpan Data di EEPROM
=====
Write_EEPROM:
    Orl WMCON,#EEMEN      ; Enable EEPROM accesses
    Orl WMCON,#EEMWE     ; Enable EEPROM writes
    Movx @Dptr,A          ; Write EEPROM
    CALL DELAY
    Xrl WMCON,#EEMWE    ; Disable EEPROM writes
    Xrl WMCON,#EEMEN    ; Disable EEPROM accesses
    Ret

=====
; Subrutin Membaca Data dari EEPROM :
=====
Read_EEPROM:
    Orl WMCON,#EEMEN      ; Enable EEPROM accesses
    Movx A,@dptr
    CALL DELAY
    MOV WMCON,#00H
    Ret

=====
; ROUTINE U/ DISPLAY LCD 2X16 CHAR 8 BIT INTERFACE
; EXTERN INIT:
;
;      - LCD_RS (1 BIT)
;      - LCD_E (1 BIT)
;      - LCD_DATA (8 BIT)
;      - TIMER0 MODE 1
;
;=====

;INIT LCD
;=====
INIT_LCD:
    MOV R1,#038H ;FUNCTION SET
    CALL WRITE_INST
    MOV R1,#0CH      ;DISPLAY ON - D=1 C=0 B=0
    CALL WRITE_INST
    MOV R1,#06H      ;ENTRY MODE SET - INCREMENT - NO SHIFT
    CALL WRITE_INST

CLEAR:
    MOV R1,#01H      ;CLEAR
    CALL WRITE_INST
    RET

SHIFT:
    MOV R1,#07H      ;SHIFT
    CALL WRITE_INST
    MOV R1,#01H      ;CLEAR
    CALL WRITE_INST
    RET

HOME:
    MOV R1,#02H      ;HOME
    CALL WRITE_INST
    RET

WRITE_INST:
    PUSH 1
    CLR LCD_RS      ;UNTUK MEMULISKAN
    MOV LCD_DATA,R1  ;INSTRUKSI KE LCD
    SETB LCD_E
    CLR LCD_E
    CALL DELAY
    POP 1
    RET

=====
WRITE_DATA:

```



```

PUSH    1
SETB   LCD_RS ;UNTUK MENULISKAN
MOV    LCD_DATA,R1 ;DATA KE LCD
SETB   LCD_E
CLR    LCD_E
CALL   DELAY
POP    1
RET

=====
DELAY:
PUSH    4
PUSH    5
MOV    R4,#50

DELAY1:
MOV    R5,#30H
DJNZ  R5,$
DJNZ  R4,DELAY1
POP    5
POP    4
RET

=====
TULIS:
CALL  WRITE_INST
TULIS1:
CLR   A
MOVC A,@A+DPTR
MOV   R1,A
INC   DPTR
CALL  WRITE_DATA
DJNZ R3,TULIS1
RET

DISPLAY:
CALL  WRITE_INST
TULIS2:
MOVC A,@A+DPTR
MOV   R1,A
CALL  WRITE_DATA
RET

=====
DISP_2BARIS:
CALL  DISP_BARISATAS
CALL  DISP_BARISBAWAH
RET

=====
DISP_BARISATAS:
MOV   R3,#16
MOV   R1,#80H
CALL  TULIS
RET

=====
DISP_BARISBAWAH:
MOV   R3,#16
MOV   R1,#0C0H
CALL  TULIS
RET

=====

TIMER1S:
PUSH 4
MOV R4,#20 ;PENGALI
PER0:
MOV TH0,#03AH ;T=50MS
MOV TL0,#0EBH
SETB TR0
JNB TF0,$
CLR TR0
CLR TF0
DJNZ R4,PER0
POP 4
RET

=====
TIMER1MS:
MOV   TH0,#0FCH
MOV   TL0,#066H
SETB TR0
JNB TF0,$
CLR TR0
CLR TF0
RET

=====
T_1MS:
DJNZ  R3,T_1MS
RET

=====
JUDUL:
db F E E D E R'
db P U J O N '

TEXT1:
db ' E N T R Y '

```

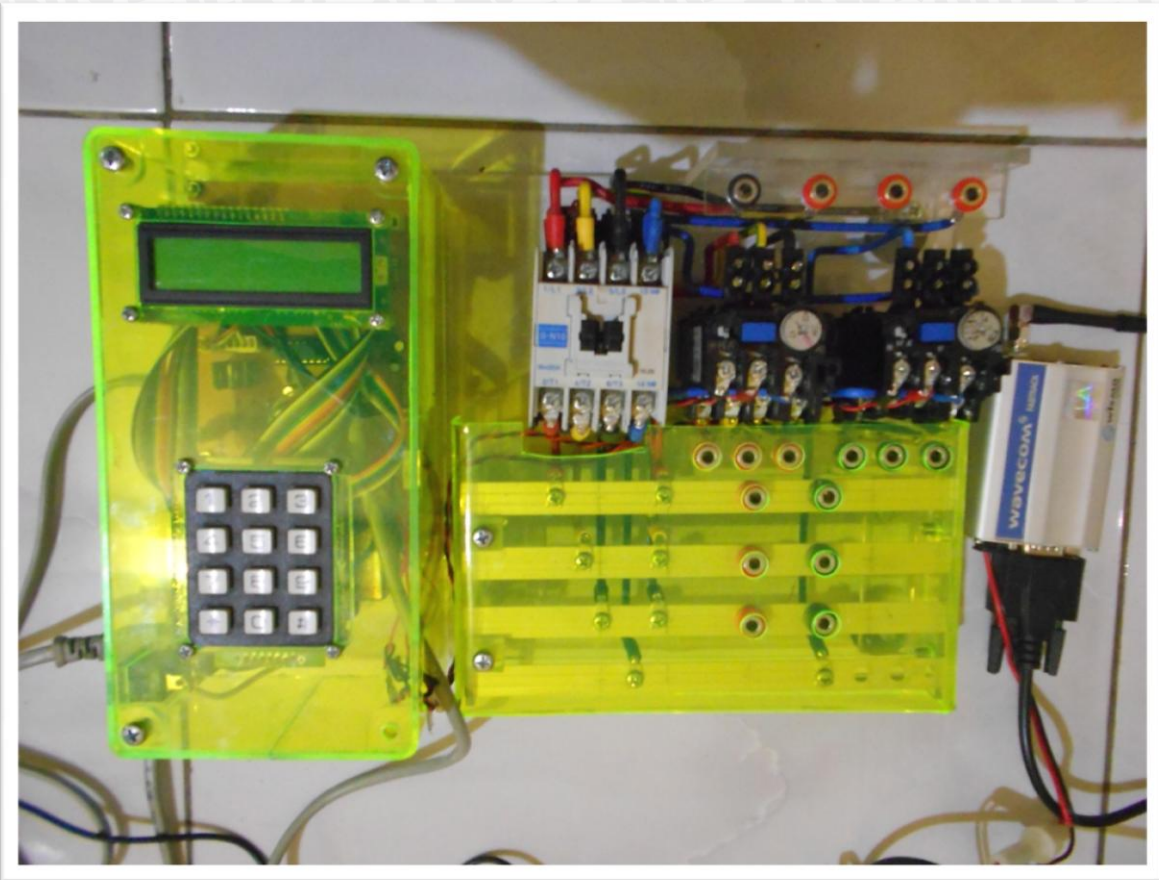


TEXT2:  
db 'P A S S W O R D '  
TEXT3:  
db ' CANCEL OK '  
TEXT4:  
db ' INPUT NO HP KE-1 '  
TEXT5:  
db ' INPUT NO HP KE-2 '  
TEXT6:  
db ' INPUT NO HP KE-3 '  
TEXT7:  
db ' INPUT NO HP KE-4 '  
TEXT8:  
db ' S A V E '  
TEXT9:  
db '.....'  
TEXT10:  
db ' M O N I T O R '  
db ' OCR:ON GFR:ON '  
TEXT11:  
db ' M O N I T O R '  
db ' OCR:ON GFR:OFF '  
TEXT12:  
db ' M O N I T O R '  
db ' OCR:OFF GFR:ON '  
CLEAN:  
db ' H P 1 '  
CLEAN1:  
db ' H P 2 '  
MENU:  
db '1.MASUKKAN NO HP'  
db '2.MONITOR '  
FORMAT\_SMS:  
db 'AT+CMGF=1'\*  
SEND\_SMS:  
db 'AT+CMGS="\*'  
;READ\_SMS:  
db 'AT+CMGR=34\*'  
READ\_SMS:  
db 'AT+CNMI=2,2,0,0,0'\*  
SMS\_1:  
DB 'AT+CMGS="08125257276"'\*  
SMS\_2:  
DB 'AT+CMGS="085649217475"'\*  
END



**B. FOTO ALAT**





**FOTO ALAT SECARA KESELURUHAN**

## D. DATA SHEET

**Mikrokontroler AT89S8252**

**LCD LMB162A**

**MAX 232**

**Keypad**

**Modem WAVECOM**



## Features

- Compatible with MCS®51 Products
- 8K Bytes of In-System Reprogrammable Downloadable Flash Memory
  - SPI Serial Interface for Program Downloading
  - Endurance: 1,000 Write/Erase Cycles
- 2K Bytes EEPROM
  - Endurance: 100,000 Write/Erase Cycles
- 4V to 6V Operating Range
- Fully Static Operation: 0 Hz to 24 MHz
- Three-level Program Memory Lock
- 256 x 8-bit Internal RAM
- 32 Programmable I/O Lines
- Three 16-bit Timer/Counters
- Nine Interrupt Sources
- Programmable UART Serial Channel
- SPI Serial Interface
- Low-power Idle and Power-down Modes
- Interrupt Recovery from Power-down
- Programmable Watchdog Timer
- Dual Data Pointer
- Power-off Flag

## Description

The AT89S8252 is a low-power, high-performance CMOS 8-bit microcontroller with 8K bytes of downloadable Flash programmable and erasable read-only memory and 2K bytes of EEPROM. The device is manufactured using Atmel's high-density nonvolatile memory technology and is compatible with the industry-standard 80C51 instruction set and pinout. The on-chip downloadable Flash allows the program memory to be reprogrammed In-System through an SPI serial interface or by a conventional nonvolatile memory programmer. By combining a versatile 8-bit CPU with downloadable Flash on a monolithic chip, the Atmel AT89S8252 is a powerful microcontroller, which provides a highly-flexible and cost-effective solution to many embedded control applications.

The AT89S8252 provides the following standard features: 8K bytes of downloadable Flash, 2K bytes of EEPROM, 256 bytes of RAM, 32 I/O lines, programmable watchdog timer, two data pointers, three 16-bit timer/counters, a six-vector two-level interrupt architecture, a full duplex serial port, on-chip oscillator, and clock circuitry. In addition, the AT89S8252 is designed with static logic for operation down to zero frequency and supports two software selectable power saving modes. The Idle Mode stops the CPU while allowing the RAM, timer/counters, serial port, and interrupt system to continue functioning. The Power-down mode saves the RAM contents but freezes the oscillator, disabling all other chip functions until the next external interrupt or hardware reset.

The downloadable Flash can be changed a single byte at a time and is accessible through the SPI serial interface. Holding RESET active forces the SPI bus into a serial programming interface and allows the program memory to be written to or read from unless lock bits have been activated.



## 8-bit Microcontroller with 8K Bytes Flash

AT89S8252

0401F-MICRO-11/03





## Pin Configurations

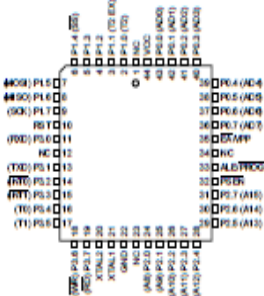
PDIP



TQFP



PLCC



## Pin Description

VCC

Supply voltage.

GND

Ground.

Port 0

Port 0 is an 8-bit open drain bi-directional I/O port. As an output port, each pin can sink eight TTL inputs. When 1s are written to Port 0 pins, the pins can be used as high-impedance inputs.

Port 0 can also be configured to be the multiplexed low-order address/data bus during accesses to external program and data memory. In this mode, P0 has internal pull-ups.

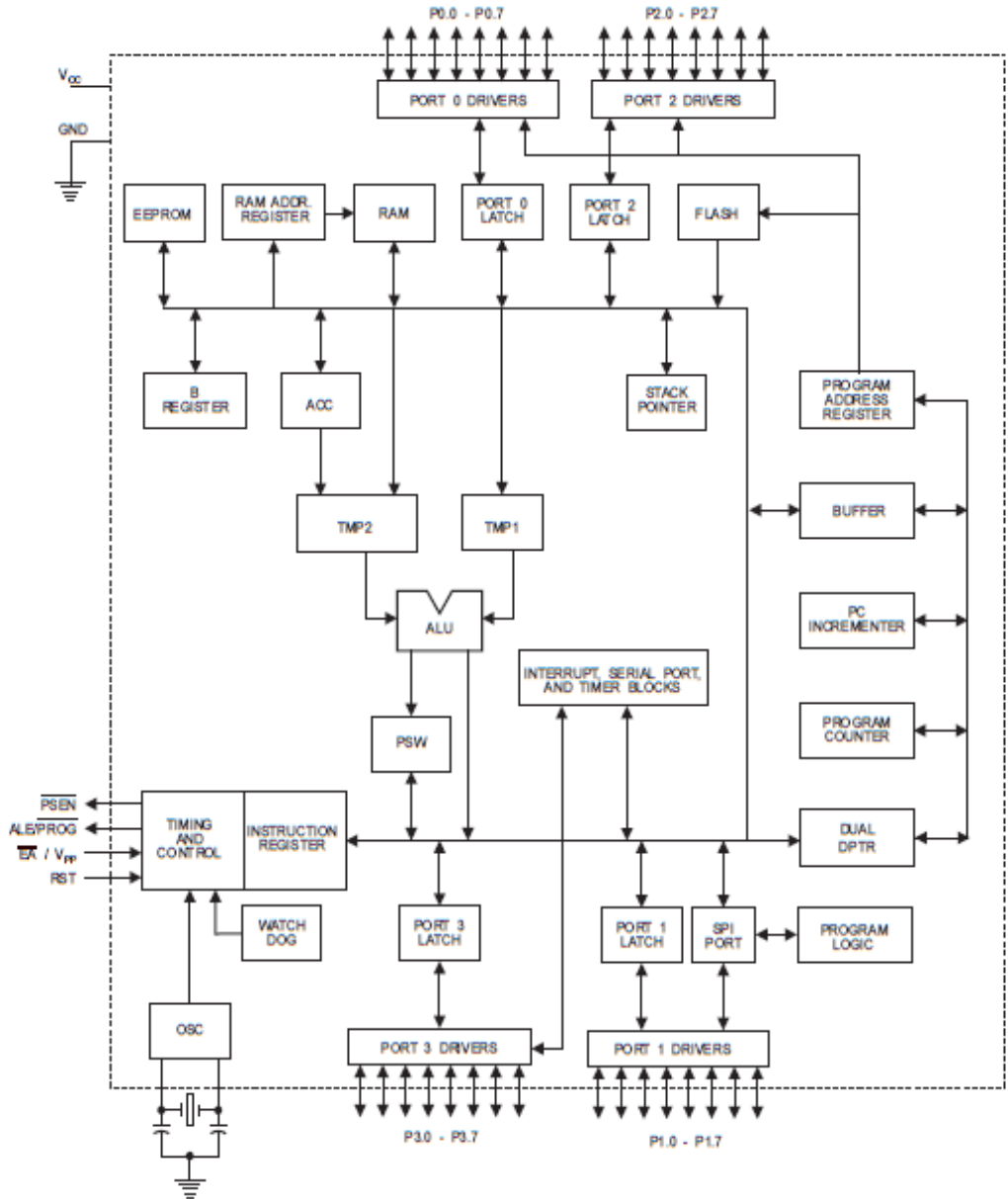
Port 0 also receives the code bytes during Flash programming and outputs the code bytes during program verification. External pull-ups are required during program verification.

Port 1

Port 1 is an 8-bit bi-directional I/O port with internal pull-ups. The Port 1 output buffers can sink/source four TTL inputs. When 1s are written to Port 1 pins, they are pulled high by the internal pull-ups and can be used as inputs. As inputs, Port 1 pins that are externally being pulled low will source current ( $I_L$ ) because of the internal pull-ups.

## 2 AT89S8252

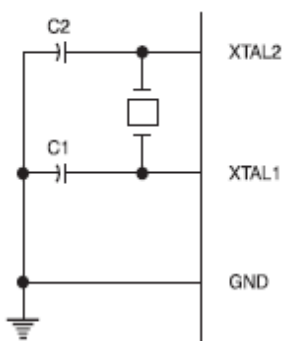
0401F-MICRO-11/03

**Block Diagram**

## Oscillator Characteristics

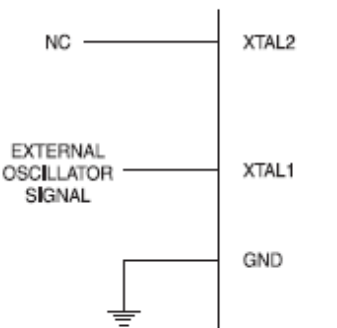
XTAL1 and XTAL2 are the input and output, respectively, of an inverting amplifier that can be configured for use as an on-chip oscillator, as shown in Figure 11. Either a quartz crystal or ceramic resonator may be used. To drive the device from an external clock source, XTAL2 should be left unconnected while XTAL1 is driven, as shown in Figure 12. There are no requirements on the duty cycle of the external clock signal, since the input to the internal clocking circuitry is through a divide-by-two flip-flop, but minimum and maximum voltage high and low time specifications must be observed.

Figure 11. Oscillator Connections



Note: C1, C2 =  $30\text{ pF} \pm 10\text{ pF}$  for Crystals  
=  $40\text{ pF} \pm 10\text{ pF}$  for Ceramic Resonators

Figure 12. External Clock Drive Configuration



### Absolute Maximum Ratings\*

Operating Temperature .....	-55°C to +125°C
Storage Temperature .....	-65°C to +150°C
Voltage on Any Pin with Respect to Ground .....	-1.0V to +7.0V
Maximum Operating Voltage .....	6.6V
DC Output Current.....	15.0 mA

\*NOTICE: Stresses beyond those listed under "Absolute Maximum Ratings" may cause permanent damage to the device. This is a stress rating only and functional operation of the device at these or any other conditions beyond those indicated in the operational sections of this specification is not implied. Exposure to absolute maximum rating conditions for extended periods may affect device reliability.

### DC Characteristics

The values shown in this table are valid for  $T_A = -40^\circ\text{C}$  to  $85^\circ\text{C}$  and  $V_{CC} = 5.0\text{V} \pm 20\%$ , unless otherwise noted.

Symbol	Parameter	Condition	Min	Max	Units
$V_{IL}$	Input Low-voltage	(Except EA)	-0.5	0.2 $V_{CC}$ - 0.1	V
$V_{IL1}$	Input Low-voltage (EA)		-0.5	0.2 $V_{CC}$ - 0.3	V
$V_{IH}$	Input High-voltage	(Except XTAL1, RST)	0.2 $V_{CC}$ + 0.9	$V_{CC}$ + 0.5	V
$V_{IHI}$	Input High-voltage	(XTAL1, RST)	0.7 $V_{CC}$	$V_{CC}$ + 0.5	V
$V_{OL}$	Output Low-voltage (1) (Ports 1,2,3)	$I_{OL} = 1.6\text{ mA}$		0.5	V
$V_{OL1}$	Output Low-voltage (1) (Port 0, ALE, PSEN)	$I_{OL} = 3.2\text{ mA}$		0.5	V
$V_{OH}$	Output High-voltage (Ports 1,2,3, ALE, PSEN)	$I_{OH} = -60\text{ }\mu\text{A}, V_{CC} = 5\text{V} \pm 10\%$	2.4		V
		$I_{OH} = -25\text{ }\mu\text{A}$	0.75 $V_{CC}$		V
		$I_{OH} = -10\text{ }\mu\text{A}$	0.9 $V_{CC}$		V
$V_{OHI}$	Output High-voltage (Port 0 in External Bus Mode)	$I_{OH} = -800\text{ }\mu\text{A}, V_{CC} = 5\text{V} \pm 10\%$	2.4		V
		$I_{OH} = -300\text{ }\mu\text{A}$	0.75 $V_{CC}$		V
		$I_{OH} = -80\text{ }\mu\text{A}$	0.9 $V_{CC}$		V
$I_L$	Logical 0 Input Current (Ports 1,2,3)	$V_{IN} = 0.45\text{V}$		-50	$\mu\text{A}$
$I_{TL}$	Logical 1 to 0 Transition Current (Ports 1,2,3)	$V_{IN} = 2\text{V}, V_{CC} = 5\text{V} \pm 10\%$		-650	$\mu\text{A}$
$I_U$	Input Leakage Current (Port 0, EA)	$0.45 < V_{IN} < V_{CC}$		$\pm 10$	$\mu\text{A}$
RRST	Reset Pull-down Resistor		50	300	k $\Omega$
$C_D$	Pin Capacitance	Test Freq. = 1 MHz, $T_A = 25^\circ\text{C}$		10	pF
$I_{OC}$	Power Supply Current	Active Mode, 12 MHz		25	mA
		Idle Mode, 12 MHz		6.5	mA
		Power-down Mode (2)	$V_{CC} = 6\text{V}$	100	$\mu\text{A}$
			$V_{CC} = 3\text{V}$	40	$\mu\text{A}$

- Notes:
- Under steady state (non-transient) conditions,  $I_{OL}$  must be externally limited as follows:  
Maximum  $I_{OL}$  per port pin: 10 mA  
Maximum  $I_{OL}$  per 8-bit port: Port 0: 26 mA; Ports 1, 2, 3: 15 mA  
Maximum total  $I_{OL}$  for all output pins: 71 mA  
If  $I_{OL}$  exceeds the test condition,  $V_{OL}$  may exceed the related specification. Pins are not guaranteed to sink current greater than the listed test conditions.
  - Minimum  $V_{CC}$  for Power-down is 2V



# SPECIFICATION Model: LMB162A

## 1. BASIC SPECIFICATIONS

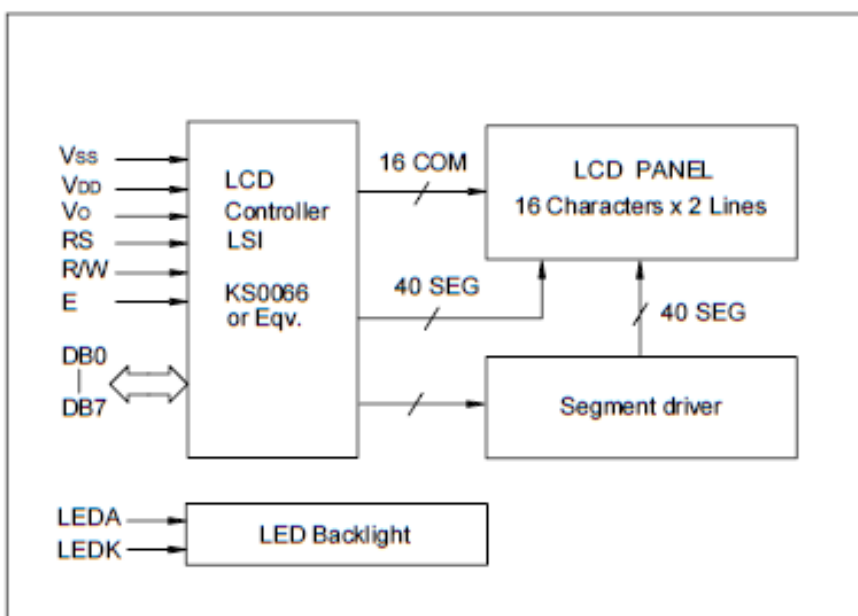
### 1.1 Display Specifications

LCD Mode	:	STN—Positive—Transflective
Display Color	:	Dark Blue
Background Color	:	Yellow-Green
Driving Duty	:	1/16 Duty
Viewing Direction	:	6:00
Backlight	:	LED

### 1.2 Mechanical Specifications

Outline Dimension	:	80.0(W) X 36.0(H) X 14.0(T) mm
Viewing Area	:	64.6(W) X 16.0(H) mm
Number of Characters	:	16 Characters X 2 Lines
Character Size	:	2.95 X 5.55 mm
Dot Size	:	0.55 X 0.65 mm
Weight	:	

### 1.3 Block Diagram



## 1.4 Terminal Functions

Pin No.	Symbol	Level	Function
1	VSS	-	Ground
2	VDD	-	Power Supply for Logic (+5V)
3	VO	-	Power Supply for LCD
4	RS	H/L	Register Selection H: Display Data L: Instruction Code
5	R/W	H/L	Read/Write Selection H: Read Operation L: Write Operation
6	E	H, H→L	Enable Signal. Read data when E is "H", write data at the falling edge of E.
7	DB0	H/L	In 8-bit mode, used as low order bi-directional data bus. In 4-bit mode, open these terminals.
8	DB1	H/L	
9	DB2	H/L	
10	DB3	H/L	
11	DB4	H/L	In 8-bit mode, used as high order bi-directional data bus. In 4-bit mode, used as both high and low order data bus.
12	DB5	H/L	
13	DB6	H/L	
14	DB7	H/L	
15	LEDA	--	LED Power Supply (+5V)
16	LEDK	--	LED Power Supply (0v)

## 2. ABSOLUTE MAXIMUM RATINGS

Item	Symbol	Min.	Max.	Unit
Supply Voltage(Logic)	VDD-VSS	-0.3	7.0	V
Supply Voltage(LCD)	VDD-VO	-0.3	13.0	V
Input Voltage	VI	-0.3	VDD+0.3	V
Operating Temp.	T <sub>opr</sub>	-20	70	°C
Storage Temp.	T <sub>stg</sub>	-30	80	°C



### 3. ELECTRICAL CHARACTERISTICS

#### 3.1 DC Characteristics

(VDD=5.0V±10%, Ta=25°C)

Item	Symbol	Condition	Min.	Typ.	Max.	UNIT
Supply Voltage (Logic)	VDD		4.5	5.0	5.5	V
Supply Voltage (LCD Drive)	VDD-VO		—	5.0	—	V
Input High Voltage	VIH		2.2	—	VDD	V
Input Low Voltage	VIL		-0.3	—	0.6	V
Output High Voltage	VOH	IOH=-0.2mA	2.4	—	VDD	V
Output Low Voltage	VOL	IOL=1.2mA	0	—	0.4	V
Supply Current (Logic)	IDD	VDD=5.0V	—	1.5	3.0	mA

#### 3.2 Interface Timing Chart

(VDD=5.0V±10%, Ta=25°C)

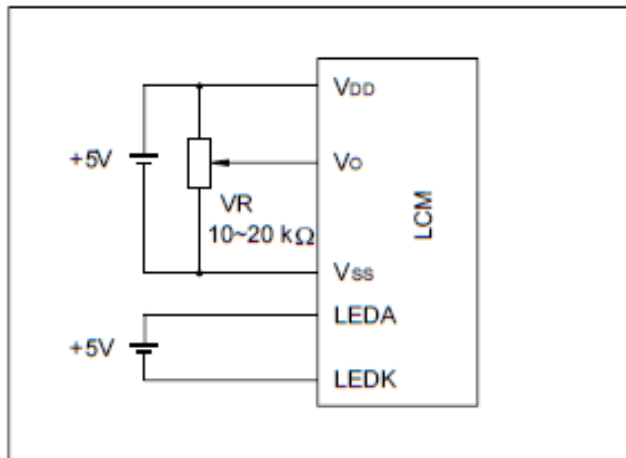
Mode	Characteristic	Symbol	Min.	Typ.	Max.	Unit
Write Mode Refer to fig.1	E Cycle Time	tc	500	—	—	ns
	E Rise/Fall Time	tr, tf	—	—	20	
	E Pulse Width (High,Low)	tw	230	—	—	
	R/W and RS Setup Time	tsu1	40	—	—	
	R/W and RS Hold Time	tH1	10	—	—	
	Data Setup Time	tsu2	80	—	—	
	Data Hold Time	tH2	10	—	—	
Read Mode Refer to fig.2	E Cycle Time	tc	500	—	—	ns
	E Rise/Fall Time	tr, tf	—	—	20	
	E Pulse Width (High,Low)	tw	230	—	—	
	R/W and RS Setup Time	tsu	40	—	—	
	R/W and RS Hold Time	tH	10	—	—	
	Data Output Delay Time	td	—	—	120	
	Data Hold Time	tdH	5	—	—	



### 3.3 LED Backlight Characteristics ( $T_a=25^\circ\text{C}$ )

Item	Symbol	Condition	Min.	Typ.	Max.	UNIT
Forward Voltage	V <sub>f</sub>		3.9	4.1	4.3	V
Forward Current	I <sub>f</sub>	V <sub>f</sub> =4.1V	—	110	—	mA
Peak Wave Length	$\lambda_p$	I <sub>f</sub> =110mA	—	568	—	nm
Luminance	L <sub>v</sub>	I <sub>f</sub> =110mA	—	100	—	cd/m <sup>2</sup>

### 3.4 Power Supply





## +5V-Powered, Multichannel RS-232 Drivers/Receivers

### General Description

The MAX220-MAX249 family of line drivers/receivers is intended for all EIA/TIA-232E and V.28/V.24 communications interfaces, particularly applications where  $\pm 12\text{V}$  is not available.

These parts are especially useful in battery-powered systems, since their low-power shutdown mode reduces power dissipation to less than  $5\mu\text{W}$ . The MAX225, MAX233, MAX235, and MAX245/MAX246/MAX247 use no external components and are recommended for applications where printed circuit board space is critical.

### Applications

- Portable Computers
- Low-Power Modems
- Interface Translation
- Battery-Powered RS-232 Systems
- Multidrop RS-232 Networks

AutoShutdown and UCSP are trademarks of Maxim Integrated Products, Inc.

### Next-Generation Device Features

- ♦ For Low-Voltage, Integrated ESD Applications  
MAX3222E/MAX3232E/MAX3237E/MAX3241E/  
MAX3246E: +3.0V to +5.5V, Low-Power, Up to  
1Mbps, True RS-232 Transceivers Using Four  
0.1 $\mu\text{F}$  External Capacitors (MAX3246E Available  
in a UCSP™ Package)
- ♦ For Low-Cost Applications  
MAX221E:  $\pm 15\text{kV}$  ESD-Protected, +5V, 1 $\mu\text{A}$ ,  
Single RS-232 Transceiver with AutoShutdown™

### Ordering Information

PART	TEMP RANGE	PIN-PACKAGE
MAX220CPE+	0°C to +70°C	16 Plastic DIP
MAX220CSE+	0°C to +70°C	16 Narrow SO
MAX220CWE+	0°C to +70°C	16 Wide SO
MAX220C/D	0°C to +70°C	Dice*
MAX220EPE+	-40°C to +85°C	16 Plastic DIP
MAX220ESE+	-40°C to +85°C	16 Narrow SO
MAX220BWE+	-40°C to +85°C	16 Wide SO
MAX220EJE	-40°C to +85°C	16 CERDIP
MAX220MJE	-55°C to +125°C	16 CERDIP

\*Denotes a lead(Pb)-free/RoHS-compliant package.

\*Contact factory for dice specifications.

Ordering Information continued at end of data sheet.

### Selection Table

Part Number	Power Supply (V)	No. of RS-232 Drivers/Rx	No. of Ext. Caps	Nominal Cap. Value ( $\mu\text{F}$ )	SHDN & Three-State	Rx Active in SHDN	Data Rate (kbps)	Features
MAX220	+5	2/2	4	0.047/0.33	No	—	120	Ultra-low-power, industry-standard pinout
MAX222	+5	2/2	4	0.1	Yes	—	200	Low-power shutdown
MAX223 (MAX213)	+5	4/5	4	1.0 (0.1)	Yes	✓	120	MAX241 and receivers active in shutdown
MAX225	+5	5/5	0	—	Yes	✓	120	Available in SO
MAX230 (MAX200)	+5	5/0	4	1.0 (0.1)	Yes	—	120	5 drivers with shutdown
MAX231 (MAX201)	+5 and +7.5 to +13.2	2/2	2	1.0 (0.1)	No	—	120	Standard +5V/+12V or battery supplies; same functions as MAX232
MAX232 (MAX202)	+5	2/2	4	1.0 (0.1)	No	—	120 (64)	Industry standard
MAX239A	+5	2/2	4	0.1	No	—	200	Higher slew rate, small caps
MAX233 (MAX203)	+5	2/2	0	—	No	—	120	No external caps
MAX239A	+5	2/2	0	—	No	—	200	No external caps, high slew rate
MAX234 (MAX204)	+5	4/0	4	1.0 (0.1)	No	—	120	Replaces 1488
MAX235 (MAX205)	+5	5/5	0	—	Yes	—	120	No external caps
MAX236 (MAX206)	+5	4/3	4	1.0 (0.1)	Yes	—	120	Shutdown, three state
MAX237 (MAX207)	+5	5/3	4	1.0 (0.1)	No	—	120	Complements IBM PC serial port
MAX238 (MAX208)	+5	4/4	4	1.0 (0.1)	No	—	120	Replaces 1488 and 1489
MAX239 (MAX209)	+5 and +7.5 to +13.2	3/5	2	1.0 (0.1)	No	—	120	Standard +5V/+12V or battery supplies; single-package solution for IBM PC serial port
MAX240	+5	5/5	4	1.0	Yes	—	120	DIP or flatpack package
MAX241 (MAX211)	+5	4/5	4	1.0 (0.1)	Yes	—	120	Complete IBM PC serial port
MAX242	+5	2/2	4	0.1	Yes	✓	200	Separate shutdown enableable
MAX243	+5	2/2	4	0.1	No	—	200	Open-line detection simplifies cabling
MAX244	+5	8/10	4	1.0	No	—	120	High slew rate
MAX245	+5	8/10	0	—	Yes	✓	120	High slew rate, inc. caps, two shutdown modes
MAX246	+5	8/10	0	—	Yes	✓	120	High slew rate, int. caps, three shutdown modes
MAX247	+5	8/9	0	—	Yes	✓	120	High slew rate, int. caps, nine operating modes
MAX248	+5	8/8	4	1.0	Yes	✓	120	High slew rate, selective half-chip enables
MAX249	+5	8/10	4	1.0	Yes	✓	120	Available in quad flatpack package

**MAXIM**

Maxim Integrated Products 1

For pricing, delivery, and ordering information, please contact Maxim Direct at 1-888-629-4642,  
or visit Maxim's website at [www.maxim-ic.com](http://www.maxim-ic.com).

MAX220-MAX249

**MAX220-MAX249****+5V-Powered, Multichannel RS-232 Drivers/Receivers****ABSOLUTE MAXIMUM RATINGS—MAX220/222/232A/233A/242/243**

(Voltages referenced to GND.)

VCC	-0.3V to +6V
V+ (Note 1)	(VCC - 0.3V) to +14V
V- (Note 1)	+0.3V to -14V
Input Voltages	
TIN	-0.3V to (VCC - 0.3V)
RIN (Except MAX220)	±30V
RIN (MAX220)	±25V
TOUT (Except MAX220) (Note 2)	±15V
TOUT (MAX220)	±13.2V
Output Voltages	
TOUT	±15V
ROUT	-0.3V to (VCC + 0.3V)
Driver/Receiver Output Short Circuited to GND	
Continuous Continuous Power Dissipation ( $T_A = +70^\circ\text{C}$ )	
16-Pin Plastic DIP (derate 10.53mW/ $^\circ\text{C}$ above $+70^\circ\text{C}$ )	.842mW
16-Pin Plastic DIP (derate 11.11mW/ $^\circ\text{C}$ above $+70^\circ\text{C}$ )	.889mW
20-Pin Plastic DIP (derate 8.00mW/ $^\circ\text{C}$ above $+70^\circ\text{C}$ )	.440mW

16-Pin Narrow SO (derate 8.70mW/ $^\circ\text{C}$  above  $+70^\circ\text{C}$ ) ... .696mW16-Pin Wide SO (derate 9.52mW/ $^\circ\text{C}$  above  $+70^\circ\text{C}$ ) .... .762mW18-Pin Wide SO (derate 9.52mW/ $^\circ\text{C}$  above  $+70^\circ\text{C}$ ) .... .762mW20-Pin Wide SO (derate 10.00mW/ $^\circ\text{C}$  above  $+70^\circ\text{C}$ ) ... .800mW20-Pin SSOP (derate 8.00mW/ $^\circ\text{C}$  above  $+70^\circ\text{C}$ ) ..... .640mW16-Pin CERDIP (derate 10.00mW/ $^\circ\text{C}$  above  $+70^\circ\text{C}$ ) ... .800mW18-Pin CERDIP (derate 10.53mW/ $^\circ\text{C}$  above  $+70^\circ\text{C}$ ) ... .842mW

Operating Temperature Ranges

MAX2<sub>2</sub>\_AC\_ MAX2<sub>2</sub>\_C\_ ... 0°C to  $+70^\circ\text{C}$ MAX2<sub>2</sub>\_AE\_ MAX2<sub>2</sub>\_E\_ ... -40°C to  $+85^\circ\text{C}$ MAX2<sub>2</sub>\_AM\_ MAX2<sub>2</sub>\_M\_ ... -55°C to  $+125^\circ\text{C}$ Storage Temperature Range ... -65°C to  $+160^\circ\text{C}$ Lead Temperature (soldering, 10s) ...  $+300^\circ\text{C}$ 

Soldering Temperature (reflow)

20 PDIP (P20M+1) ...  $+225^\circ\text{C}$ All other lead(Pb)-free packages ...  $+260^\circ\text{C}$ All other packages containing lead(Pb) ...  $+240^\circ\text{C}$ **Note 1:** For the MAX220, V+ and V- can have a maximum magnitude of 7V, but their absolute difference cannot exceed 13V.**Note 2:** Input voltage measured with TOUT in high-impedance state, V<sub>SHDN</sub> or VCC = 0V.

Stress as beyond those listed under "Absolute Maximum Ratings" may cause permanent damage to the device. These are stress ratings only, and functional operation of the device at these or any other conditions beyond those indicated in the operational sections of the specifications is not implied. Exposure to absolute maximum rating conditions for extended periods may affect device reliability.

**ELECTRICAL CHARACTERISTICS—MAX220/222/232A/233A/242/243**(VCC =  $+5V \pm 10\%$ , C1-C4 =  $0.1\mu\text{F}$ , MAX220, C1 =  $0.047\mu\text{F}$ , C2-C4 =  $0.33\mu\text{F}$ , TA = TMIN to TMAX, unless otherwise noted.) (Note 3)

PARAMETER	CONDITIONS	MIN	TYP	MAX	UNITS
<b>RS-232 TRANSMITTERS</b>					
Output Voltage Swing	All transmitter outputs loaded with $3\text{k}\Omega$ to GND	$\pm 5$	$\pm 8$		V
Input Logic-Low Voltage			1.4	0.8	V
Input Logic-High Voltage	All devices except MAX220	2	1.4		V
	MAX220: VCC = $+5.0\text{V}$	2.4			
Logic Pullup/Input Current	All except MAX220, normal operation	5	40		$\mu\text{A}$
	V <sub>SHDN</sub> = 0V, MAX222/MAX242, shutdown, MAX220	$\pm 0.01$	$\pm 1$		
Output Leakage Current	VCC = $+5.5\text{V}$ , V <sub>SHDN</sub> = 0V, V <sub>OUT</sub> = $\pm 15\text{V}$ , MAX222/MAX242	$\pm 0.01$	$\pm 10$		$\mu\text{A}$
	VCC = V <sub>SHDN</sub> = 0V	$\pm 0.01$	$\pm 10$		
	V <sub>OUT</sub> = $\pm 15\text{V}$		$\pm 25$		
Data Rate		200	116		kbps
Transmitter Output Resistance	VCC = V+ = V- = 0V, V <sub>OUT</sub> = $\pm 2\text{V}$	300	10M		$\Omega$
Output Short-Circuit Current	V <sub>OUT</sub> = 0V	$\pm 7$	$\pm 22$		mA
	MAX220			$\pm 60$	
<b>RS-232 RECEIVERS</b>					
RS-232 Input Voltage Operating Range			$\pm 30$		V
	MAX220		$\pm 25$		
RS-232 Input Threshold Low	VCC = $+5\text{V}$	All except MAX243 R2IN	0.8	1.3	V
		MAX243 R2IN (Note 4)	-3		
RS-232 Input Threshold High	VCC = $+5\text{V}$	All except MAX243 R2IN	1.8	2.4	V
		MAX243 R2IN (Note 4)	-0.5	-0.1	



## +5V-Powered, Multichannel RS-232 Drivers/Receivers

### ELECTRICAL CHARACTERISTICS—MAX220/222/232A/233A/242/243 (continued)

( $V_{CC} = +5V \pm 10\%$ ,  $C1-C4 = 0.1\mu F$ , MAX220,  $C1 = 0.047\mu F$ ,  $C2-C4 = 0.33\mu F$ ,  $T_A = T_{MIN}$  to  $T_{MAX}$ , unless otherwise noted.) (Note 3)

PARAMETER	CONDITIONS	MIN	TYP	MAX	UNITS
RS-232 Input Hysteresis	All except MAX220/MAX243, $V_{CC} = +5V$ , no hysteresis in shutdown	0.2	0.5	1.0	V
	MAX220		0.3		
	MAX243		1		
RS-232 Input Resistance	$T_A = +25^\circ C$ (MAX220)	3	5	7	$\Omega$
		3	5	7	
TTL/CMOS Output Voltage Low	$I_{OUT} = 3.2mA$		0.2	0.4	V
	$I_{OUT} = 1.6mA$ (MAX220)			0.4	
TTL/CMOS Output Voltage High	$I_{OUT} = -1.0mA$	3.5	$V_{CC} - 0.2$		V
TTL/CMOS Output Short-Circuit Current	Sourcing $V_{OUT} = V_{GND}$	-2	-10		mA
	Sinking $V_{OUT} = V_{CC}$	10	30		
TTL/CMOS Output Leakage Current	$V_{SHDN} = V_{CC}$ or $V_{EN} = V_{CC}$ ( $V_{SHDN} = 0V$ for MAX222), $0V \leq V_{OUT} \leq V_{CC}$		$\pm 0.05$	$\pm 10$	$\mu A$
EN Input Threshold Low	MAX242		1.4	0.8	V
EN Input Threshold High	MAX242	2.0	1.4		V
Supply Voltage Range		4.5	5.5		V
V <sub>CC</sub> Supply Current ( $V_{SHDN} = V_{CC}$ ), Figures 5, 6, 11, 19	No load	MAX220	0.5	2	mA
		MAX222/MAX232A/MAX233A/ MAX242/MAX243	4	10	
	3k $\Omega$ load both inputs	MAX220	12		
		MAX222/MAX232A/MAX233A/ MAX242/MAX243	15		
Shutdown Supply Current	MAX222/ MAX242	$T_A = +25^\circ C$	0.1	10	$\mu A$
		$T_A = 0^\circ C$ to $+70^\circ C$	2	50	
		$T_A = -40^\circ C$ to $+85^\circ C$	2	50	
		$T_A = -55^\circ C$ to $+125^\circ C$	35	100	
SHDN Input Leakage Current	MAX222/MAX242			$\pm 1$	$\mu A$
SHDN Threshold Low	MAX222/MAX242		1.4	0.8	V
SHDN Threshold High	MAX222/MAX242	2.0	1.4		V
Transition Slew Rate	$C_L = 50pF$ to $2500pF$ , $R_L = 3k\Omega$ to $7k\Omega$ , $V_{CC} = +5V$ , $T_A = +25^\circ C$ , measured from $+3V$ to $-3V$ or $-3V$ to $+3V$	MAX222/MAX232A/ MAX233/MAX242/MAX243	6	12	$V/\mu s$
		MAX220	1.5	3	
Transmitter Propagation Delay TLL to RS-232 (Normal Operation)	$t_{PHLT}$ , Figure 1	MAX222/MAX232A/ MAX233/MAX242/MAX243	1.3	3.5	$\mu s$
		MAX220	4	10	
	$t_{PLHT}$ , Figure 1	MAX222/MAX232A/ MAX233/MAX242/MAX243	1.5	3.5	
		MAX220	5	10	

MAXIM

3

## +5V-Powered, Multichannel RS-232 Drivers/Receivers

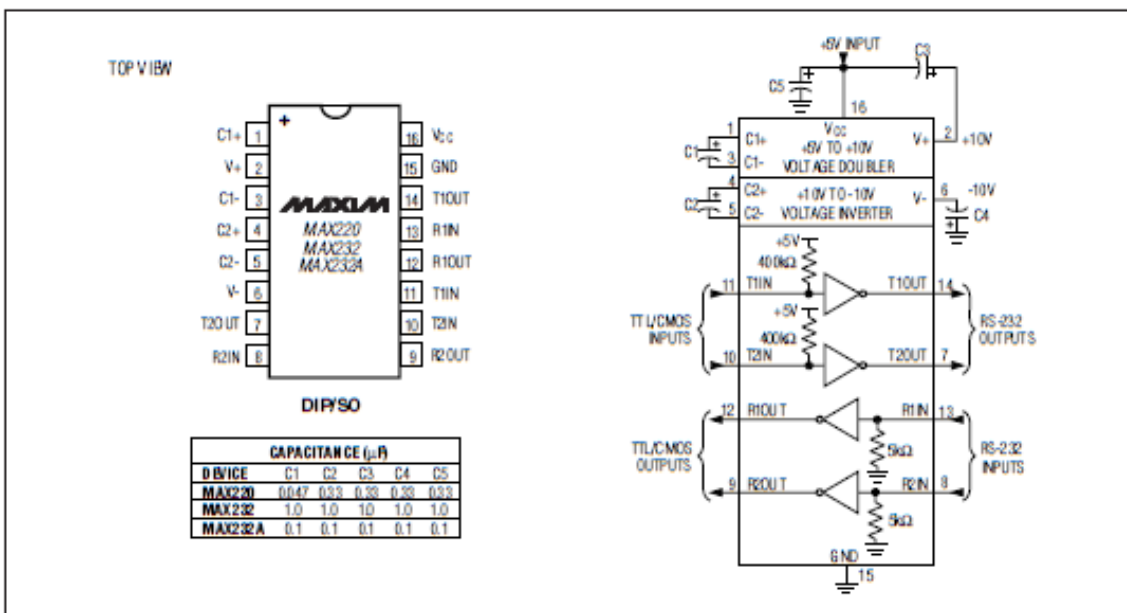


Figure 5. MAX220/MAX232/MAX232A Pin Configuration and Typical Operating Circuit

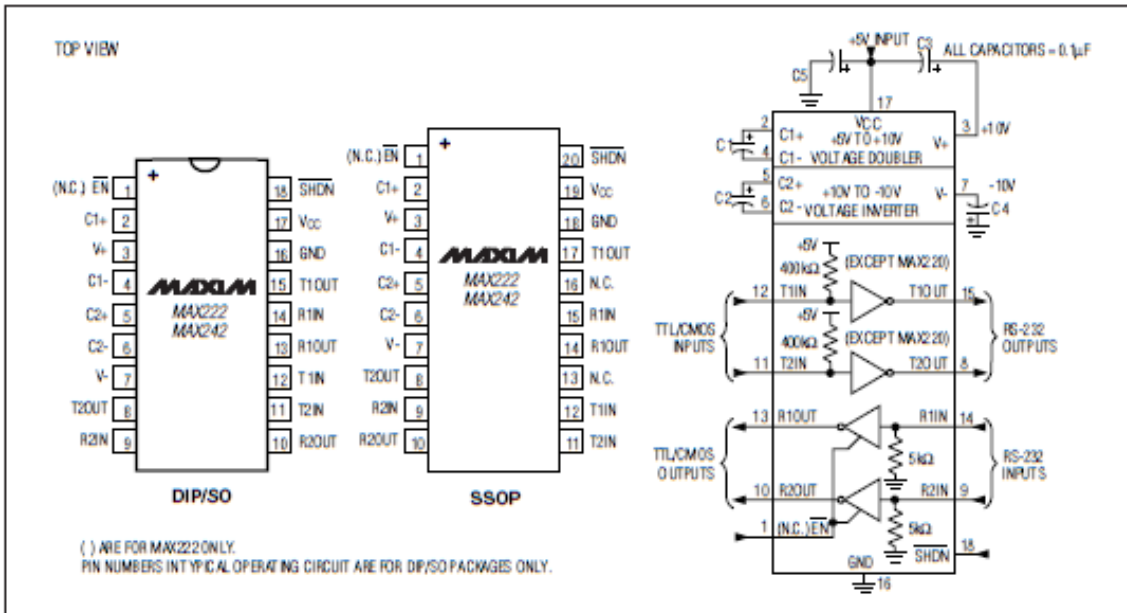


Figure 6. MAX222/MAX242 Pin Configurations and Typical Operating Circuit



Devantech 3 X 4 Matrix Keypad  
R257-3X4-KEYPAD  
\$9.50

3 by 4 Matrix Keypad.

This keypad provides a physical/visual way to get numeric data to your control system. Output pins are 1-7, where pin 1 corresponds to the \* key.

Specifications

Keypad	Output Pins
1	2-3
2	1-2
3	2-5
4	3-7
5	1-7
6	5-7
7	3-6
8	1-6
9	5-6
0	1-4

Last Modified 2011-12-13. Information subject to change without notice.  
For current information type "R257" into the find box at [www.acroname.com](http://www.acroname.com)  
Copyright 1994-2012, Acroname Inc.

Acroname Inc.  
4822 Sterling Drive  
Boulder, CO 80301  
USA

voice: 720.564.0373  
fax: 720.564.0376  
[sales@acroname.com](mailto:sales@acroname.com)





WM\_PRJ\_M13\_UGD\_001 - 002  
5th April 2005

### 3.2.1.2 Power supply connector

The power supply connector is a 4-pin Micro FIT connector for:  
 External DC Power Supply connection,  
 GPIOs connection (2 General Purpose Input/Output signals available).



Figure 7: Power supply connector

Pin #	Signal	I/O	I/O type	Description	Comment
1	V+BATTERY	I	Power supply	Battery voltage input: <ul style="list-style-type: none"> <li>• 5.5 V Min.</li> <li>• 13.2 V Typ.</li> <li>• 32 V Max.</li> </ul>	High current
2	GND		Power supply	Ground	
3	GPIO4	I/O	CMOS/2X	General Purpose Input/output	
4	GPIO5	I/O	CMOS/2X	General Purpose Input/output	

**WARNING:** Both pin 3 and pin 4 are used by GPIO interface. It is strictly prohibited to connect them to any power supply at the risk of damage to the Modem.

### 3.2.1.3 Sub HD 15-pin connector

The Sub D high density 15-pin connector is used for:  
 RS232 serial link connection,  
 Audio lines (microphone and speaker) connection,  
 BOOT and RESET signal connection.

wavecom® 2004

All rights reserved.  
wavecom Confidential & Proprietary Information

This document is the sole and exclusive property of WAVECOM. Not to be distributed or divulged without prior written agreement.

Page: 19 / 58

**3.2.1.2 Power supply connector**

The power supply connector is a 4-pin Micro FIT connector for:

- External DC Power Supply connection,
- GPIOs connection (2 General Purpose Input/Output signals available).



Figure 7: Power supply connector

Pin #	Signal	I/O	I/O type	Description	Comment
1	V+BATTERY	I	Power supply	Battery voltage input: <ul style="list-style-type: none"> <li>- 5.5 V Min..</li> <li>- 13.2 V Typ.</li> <li>- 32 V Max.</li> </ul>	High current
2	GND		Power supply	Ground	
3	GPIO4	I/O	CMOS/2X	General Purpose Input/output	
4	GPIO5	I/O	CMOS/2X	General Purpose Input/output	

**WARNING:** Both pin 3 and pin 4 are used by GPIO interface. It is strictly prohibited to connect them to any power supply at the risk of damage to the Modem.

**3.2.1.3 Sub HD 15-pin connector**

The Sub D high density 15-pin connector is used for:

- RS232 serial link connection,
- Audio lines (microphone and speaker) connection,
- BOOT and RESET signal connection.



Figure 8: Sub HD 15-pin connector

Pin #	Signal (CCITT / EIA)	I/O	I/O type	Description	Comment
1	CDCD/CT109	O	STANDARD RS232	RS232 Data Carrier Detect	
2	CTXD/CT103	I	STANDARD RS232	RS232 Transmit serial data	
3	BOOT	I	CMOS	Boot	Active low. Pull down through 1kΩ for Flash downloading
4	CMIC2P	I	Analog	Microphone positive line	
5	CMIC2N	I	Analog	Microphone negative line	
6	CRXD/CT104	O	STANDARD RS232	RS232 Receive serial data	
7	CDSR/CT107	O	STANDARD RS232	RS232 Data Set Ready	
8	CDTR/CT108-2	I	STANDARD RS232	RS232 Data Terminal Ready	
9	GND	-	GND	Ground	
10	CSPK2P	O	Analog	Speaker positive line	

Pin #	Signal (CCITT / EIA)	I/O	I/O type	Description	Comment
11	CCTS/CT106	O	STANDARD RS232	RS232 Clear To Send	
12	CRTS/CT105	I	STANDARD RS232	RS232 Request To Send	
13	CRI/CT125	O	STANDARD RS232	RS232 Ring Indicator	
14	RESET	I/O	Schmitt	Modem reset	Active low
15	CSPK2N	O	Analog	Speaker negative line	

### 3.2.2 Power supply cable

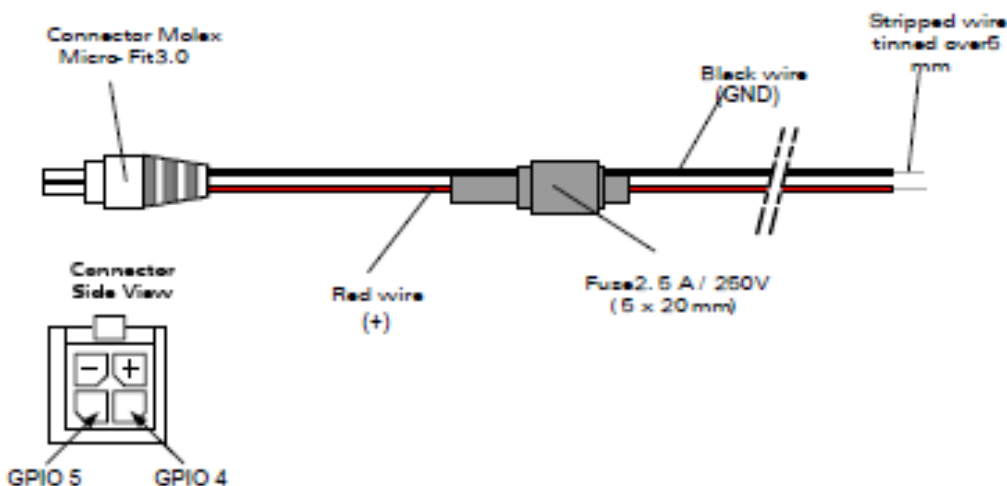


Figure 9: Power supply cable

Component	Characteristics
Micro-Fit connector 4-pin	Part number: MOLEX 43025-0400
Cable	Cable length: ~1.5 m
Wire	Core: tinned copper 24 x 0.2 mm
	Section: 0.75 mm <sup>2</sup>

## 4 Basic features and services

Basic features of the modem and available services are summarized in the table below.

Features	GSM	DCS
Standard	900 MHz. E-GSM compliant. Output power: class 4 (2W). Fully compliant with ETSI GSM phase 2 + small MS.	1800 MHz Output power: class 1 (1W). Fully compliant with ETSI GSM phase 2 + small MS.
GPRS	Class 10. PBCCH support. Coding schemes: CS1 to CS4. Compliant with SMG31bis. Embedded TCP/IP stack (optional).	
Interfaces	RS232 (V.24/V.28) Serial interface supporting: <ul style="list-style-type: none"><li>▪ Baud rate (bits/s): 300, 600, 1200, 2400, 4800, 9600, 19200, 38400, 57600, 115200,</li><li>▪ Autobauding (bits/s): 2400, 4800, 9600, 19200, 38400, 57600.</li></ul> 2 General Purpose Input/Output gates (GPIOs) available. 3 V SIM interface. AT command set based on V.25ter and GSM 07.05 & 07.07. OpenAT interface for embedded application.	
SMS	Text & PDU. Point to point (MT/MO). Cell broadcast.	
Data	Data circuit asynchronous. Transparent and Non Transparent modes. Up to 14.400 bits/s. MNP Class 2 error correction. V42.bis data compression.	
Fax	Automatic fax group 3 (class 1 and Class 2).	

## 7 Functional description

### 7.1 Architecture

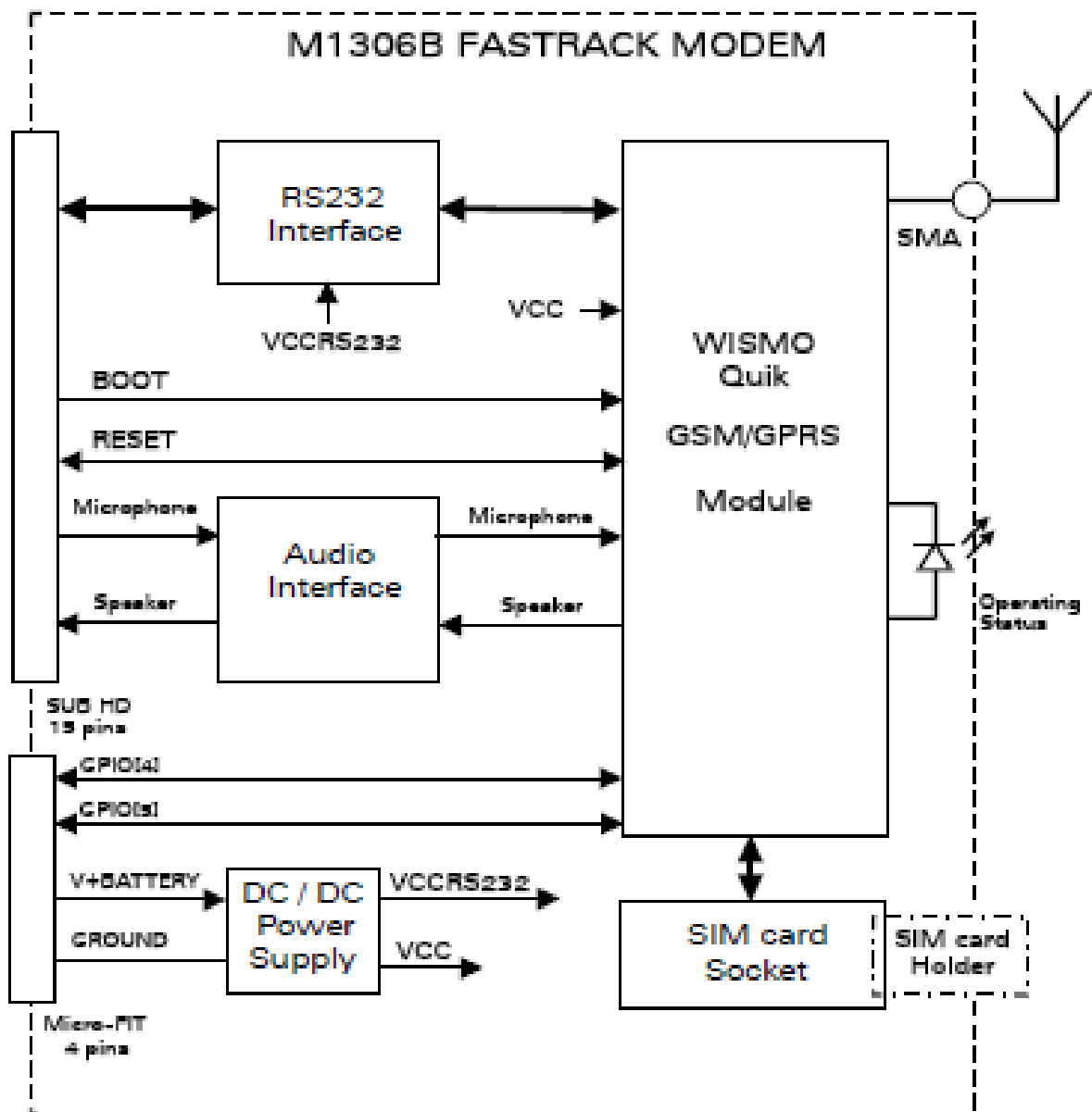


Figure 13: Functional architecture

